

Trabajo Fin de Máster Máster Universitario en Ingeniería Aeronáutica

Desarrollo de software de interfaz gráfica para la predicción de vida a fatiga multiaxial

Autor: David García Serrano

Tutor: Carlos Navarro Pintado

**Dpto. Ingeniería Mecánica y Fabricación
Escuela Técnica Superior de Ingeniería
Universidad de Sevilla**

Sevilla, 2021



Trabajo Fin de Máster
Máster Universitario en Ingeniería Aeronáutica

Desarrollo de software de interfaz gráfica para la predicción de vida a fatiga multiaxial

Autor:

David García Serrano

Tutor:

Carlos Navarro Pintado

Catedrático de Ingeniería Mecánica

Dpto. Ingeniería Mecánica y Fabricación
Escuela Técnica Superior de Ingeniería
Universidad de Sevilla

Sevilla, 2021

Trabajo Fin de Máster: Desarrollo de software de interfaz gráfica
para la predicción de vida a fatiga multiaxial

Autor: David García Serrano
Tutor: Carlos Navarro Pintado

El tribunal nombrado para juzgar el trabajo arriba indicado, compuesto por los siguientes profesores:

Presidente:

Vocal/es:

Secretario:

acuerdan otorgarle la calificación de:

El Secretario del Tribunal

Fecha:

Agradecimientos

Sin duda alguna, son muchas las personas a las que quiero dedicar parte o la totalidad de este trabajo por su ayuda tanto en la realización del mismo como en el transcurso de todos mis estudios.

En primer lugar, quisiera agradecer al Catedrático de Ingeniería Mecánica D. Carlos Navarro Pintado su ayuda en la realización del mismo, tanto a la hora de guiarme en su desarrollo, como para cederme recursos y bibliografía para poder enriquecer más el contenido del trabajo.

Sobre todo tengo que mencionar en estos agradecimientos a mi familia y amigos, quienes han sido un soporte y un apoyo anímico durante toda mi vida académica, tanto durante el grado como durante el máster.

"Per Aspera Ad Astra"

David García Serrano

Coria, Extremadura, 2021

Resumen

La fatiga juega un papel muy importante dentro de los fenómenos relacionados con el desgaste de los materiales usados en muchos sectores industriales. Especialmente tiene una importante relevancia dentro del sector aeronáutico, la cual ha sido una de las mayores causantes de problemas estructurales cuando dicho fenómeno no ha sido tenido en cuenta en los cálculos para el diseño de las aeronaves. Como definición básica, podemos decir que este fenómeno se produce cuando una estructura un material se ve sometido a cargas fluctuantes en el tiempo, ya sean determinadas o aleatorias. Dichas cargas pueden producir microgrietas, que con el paso del tiempo podrían desencadenar los condicionantes necesarios para una propagación más rápida de la grieta, pudiéndose producir un fallo catastrófico dentro de la estructura.

La estructura interna de los materiales metálicos, que son los que se utilizan en mayor medida para el diseño estructural de una aeronave, está conformada por gránulos diferentes. Por tanto, dos piezas producidas del mismo modo, el mismo acabado y el mismo material pueden llegar al fallo de fatiga en diferentes instantes, haciendo la predicción de este fenómeno aún más difícil. El fallo por fatiga no puede predecirse de manera exacta aunque puede aproximarse de manera estadística. Aunque los resultados de predicción para diferentes piezas sean dispersos, es indispensable desarrollar modelos de predicción que puedan calcular el momento en el que se va a producir el fallo. Esta predicción aproximada del punto de fatiga podría suponer una mejora en el diseño y en la seguridad de los componentes aeronáuticos.

Para la realización de este trabajo se ha utilizado un lenguaje de programación denominado Python. Este lenguaje es uno de los más fáciles de aprender dentro de los lenguajes de programación. Este trabajo es una continuación del trabajo realizado por Alejandro Quirós Rodríguez [14], quien desarrolló diferentes scripts para la estimación de la vida a fatiga del componente, diferenciando entre las diferentes fases por las que pasa la vida de la grieta.

Mi trabajo ha consistido en la mejora del código, intentándolo hacer más simple de comprender para cualquier desarrollador que se enfrente a él en un futuro. El punto más importante de este trabajo ha sido, aparte de lo anterior, la implementación de un software con interfaz gráfica de usuario para el cálculo de la fatiga multiaxial, de forma que cualquier persona sin conocimientos de programación en Python pudiera calcular de forma rápida y sencilla los datos de estimación de la vida a fatiga.

Abstract

Fatigue plays a very important role in the phenomena related to wear and tear of materials used in many industrial sectors. In particular, it has significant relevance within the aeronautical sector, which has been one of the biggest causes of structural problems when this phenomenon has not been taken into account in the calculations for aircraft design.

As a basic definition, we can say that this phenomenon occurs when a structure a material is subjected to fluctuating loads over time, whether determined or random. Such loads can produce micro-cracks, which over time could trigger the conditions necessary for faster crack propagation, and catastrophic failure may occur within the structure.

The internal structure of metallic materials, which are the ones most commonly used for the structural design of an aircraft, consists of different granules. Therefore, two pieces produced in the same way, the same finish and the same material can reach fatigue failure at different times, making the prediction of this phenomenon even more difficult. Fatigue failure cannot be accurately predicted, although it can be statistically approximated. Although the prediction results for different parts are dispersed, it is essential to develop prediction models that can calculate when the failure will occur. This approximate fatigue point prediction could lead to an improvement in the design and safety of aeronautical components.

A programming language called Python has been used to perform this work. This language is one of the easiest to learn within programming languages. This work is a continuation of the work done by Alejandro Quirós Rodríguez[14], who developed different scripts for The estimation of life to fatigue of the component, differentiating between the different phases through which the life of the crack passes.

My job has been to improve the code, trying to make it easier for any developer to face it in the future. The most important point of this work has been, apart from the above, the implementation of a software with graphical user interface for the calculation of multi-axial fatigue, so that anyone without programming knowledge in Python could quickly and easily calculate life estimation data to fatigue.

Índice

<i>Resumen</i>	III
<i>Abstract</i>	V
<i>Índice de Figuras</i>	IX
<i>Índice de Tablas</i>	XI
<i>Índice de Códigos</i>	XI
<i>Notación</i>	XV
1 Introducción	1
1.1 Python	2
1.2 Tkinter	3
2 Modelo de predicción de vida a fatiga	5
2.1 Fase de iniciación	5
2.1.1 Criterio de Fatemi-Socie	6
2.1.2 Criterio de Smith-Watson-Topper	6
2.2 Fase de propagación	7
2.2.1 Factor de intensidad de tensiones	8
2.2.2 Modelo de propagación	9
2.3 Cálculo de la vida a fatiga	10
2.3.1 Rotación de la matriz de tensiones	10
2.3.2 Cálculo de los parámetros	11
2.4 Propiedades de los materiales	13
3 Interfaz Gráfica de Usuario (GUI)	15
3.1 Inicio	16
3.1.1 Nuevo	16
3.1.2 Seleccionar nueva carpeta	17
3.1.3 Seleccionar carpeta existente	17
3.1.4 Abrir datos experimentales	18
3.1.5 Abrir resultados de iniciación	18
3.1.6 Salir	18
3.2 Pestaña de Materiales	20
3.3 Pestaña de Iniciación	23
3.4 Pestaña de Datos	27
3.5 Pestaña de Cálculo	31

3.6	Pestaña de Gráficas	35
4	Conclusiones	41
Apéndice A	Códigos utilizados para el desarrollo del programa	43
A.1	Código de implementación de la aplicación GUI	45
A.2	Código de implementación de la fase de iniciación	69
A.3	Código de implementación de la fase de propagación	74
A.4	Código de implementación del cálculo de vida	78
A.5	Código de implementación de la estadística	88
Apéndice B	Manual de instalación del programa	93
	<i>Bibliografía</i>	95

Índice de Figuras

1.1	Ensayo de Fretting.[11]	1
2.1	Curvas de iniciación $FS - N_i$ [14]	7
2.2	Curvas de iniciación $SWT - N_i$ [14]	8
2.3	Esquema de una grieta tridimensional[8]	9
2.4	Diagrama de Kitagawa-Takahashi[15]	10
2.5	Ejemplo de curva de vida a fatiga[14]	12
3.1	Ventana emergente de información al inicio	16
3.2	Menú de opciones	16
3.3	Ventana de diálogo para abrir una carpeta nueva.	17
3.4	Subcarpetas creadas tras la selección de una nueva carpeta	17
3.5	Mensaje de error de carga de datos	18
3.6	Ventana Abrir archivo de iniciación	19
3.7	Error al cargar el archivo de iniciación	19
3.8	Mensaje al salir	19
3.9	Captura de la pestaña Materiales sin confirmar los campos	20
3.10	Captura de la pestaña tras confirmar los datos del material	21
3.11	Lista de materiales guardados	21
3.12	Captura del archivo materiales.xlsx	22
3.13	Captura de la pestaña Iniciación a primera vista	23
3.14	Captura del cuadro de Variables para el cálculo de la iniciación	23
3.15	Ejemplo de curvas de iniciación	25
3.16	Ejemplo de tabla de datos numéricos de la iniciación	25
3.17	Mensaje de advertencia de que las curvas de iniciación han sido realizadas	26
3.18	Mensaje de error al no especificar el material	26
3.19	Mensaje de error de archivo dañado	27
3.20	Captura de la pestaña Datos antes de cargar datos	27
3.21	Lista de archivos de datos	28
3.22	Tabla de datos numéricos de tensiones y deformaciones	28
3.23	Captura del cuadro Gráficas	29
3.24	Lista de propiedades de los datos	29
3.25	Mensaje de error de carga de datos	30
3.26	Captura de la pestaña Cálculo sin ejecutar	31
3.27	Lista de nombre de los datos	31
3.28	Excel de resultados	32

3.29	Cuadro de Gráfica de propagación de la grieta para unos datos específicos	32
3.30	Cuadro de Resultados tras el cálculo de unos datos específicos	33
3.31	Cuadro de Gráfica de ciclos totales tras el cálculo de unos datos específicos	33
3.32	Mensaje de advertencia al ejecutar todos los cálculos	34
3.33	Ejemplo de curvas $a-N_f$ con todos los datos de la lista[14]	35
3.34	Mensaje de error de que no se ha especificado el archivo de iniciación	35
3.35	Mensaje de error en la carga de datos	36
3.36	Captura de la pestaña Gráficas antes de realizar ninguna acción	36
3.37	Captura de la ventana para abrir resultados experimentales	37
3.38	Captura de la ventana para abrir resultados estimados	37
3.39	Cuadro de carga de datos tras seleccionar los archivos	37
3.40	Cuadro de la Gráfica de comparación	38
3.41	Cuadro de gráfica de longitud de iniciación y vida estimada	39
3.42	Cuadro de gráfica de porcentaje de vida de iniciación y vida estimada	39
3.43	Mensaje de error en la carga de archivos experimentales y estimados	40
A.1	Esquema de códigos del programa	43

Índice de Tablas

2.1	Tabla de propiedades de los materiales	13
3.1	Tabla descriptiva de los datos de tensiones y deformaciones	30

Índice de Códigos

A.1	Código de implementación del software de interfaz gráfica	45
A.2	Código de implementación la fase de iniciación	69
A.3	Código de implementación de fase de propagación	74
A.4	Código de implementación del cálculo de vida	78
A.5	Código de implementación de la estadística	88

Notación

N	Fuerza normal
Q	Fuerza tangencial
σ	Tensión
GUI	Guide User Interface
R	Coefficiente de asimetría de carga, Matriz de rotación
FS,FS	Parámetro de Fatemi-Socie
$\Delta\gamma_{max}$	Incremento máximo de deformaciones tangenciales
k	Relación entre límite elástico y el límite a fatiga
σ_{max}	Tensión máxima
σ_y	Límite elástico
σ'_f	Límite de fatiga
SWT,SWT	Parámetro de Smith-Watson-Topper
$\Delta\varepsilon$	Incremento de deformaciones
E	Módulo de Young
N_t	Número de ciclos totales
b	Exponente de resistencia a fatiga
a	Longitud de grieta
m_1, m_2	Parámetros de los pesos
$w(s)$	Función de pesos propuesta por Bueckner
W	Anchura del espécimen
K_I	Factor de intensidad de tensiones de modo I
Φ	Factor de corrección del factor de tensiones
a/c	Relación entre la profundidad de la grieta y su radio
C	Coefficiente de la ley de crecimiento
ΔK	Incremento del factor de intensidad de tensiones
n	Exponente de la ley de crecimiento
$\Delta K_{th\infty}$	Umbral de crecimiento
f	Parámetro de aproximación al diagrama de Kitagawa-Takahashi
a_0	Parámetro de El Haddad
l_0	Distancia a la primera barrera microestructural
N_i	Número de ciclos de la fase de iniciación
N_p	Número de ciclos de la fase propagación
γ_{xy}^c	Deformación tangencial durante la fase compresión
γ_{xy}^t	Deformación tangencial durante la fase tracción
ε_x^c	Deformación normal durante la fase de compresión

ε_x^t	Deformación normal durante la fase de tracción
G	Módulo de cortadura
ν	Coefficiente de Poisson

1 Introducción

La fatiga es conocida por ser la principal causa de muchos fallos mecánicos. A pesar de este hecho los mecanismos producen la fatiga Están aún sin comprender. Esto es en parte debido a los complejas formas geométricas y/o a las complejas cargas de los componentes y estructuras ingenieriles que provocan estados cíclicos de tensión y de formación multiaxial en vez de uniaxial. Estructuras tales como turbinas de gas, plantas nucleares, estructuras aeronáuticas, vehículos terrestres... son ejemplos de este fenómeno.[7]

La fatiga por Fretting es un tipo de fatiga especial, que se produce cuando una pieza sometida a tracción y compresión está siendo sometida a su vez por cargas de contacto que generan una fricción y un esfuerzo mayor que limita aún más la vida a fatiga. Las cargas de contacto en cuestión podrían comportarse de una forma análoga a un concentrador de tensiones, lo que produce la aparición de microgrietas en la superficie de contacto. Durante este fenómeno las piezas se ven sometidas a dos cargas nuevas N y Q además de la carga σ fluctuante que provoca la fatiga tal y como se muestra en figura 1.1.[11]

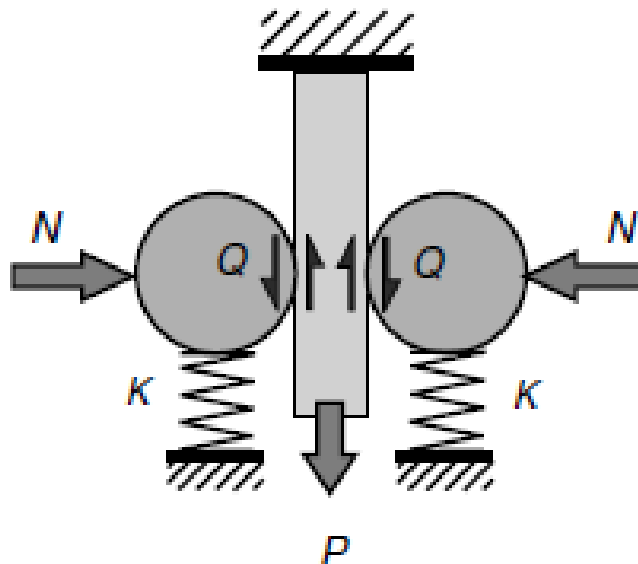


Figura 1.1 Ensayo de Fretting.[11].

Para cargas uniaxiales es más fácil estudiar la iniciación de las grietas durante la primera fase, puesto que se puede hacer uso de la curva S-N, que puede obtenerse de forma experimental. Dicha

curva relaciona las tensiones con el número de ciclos que se producen durante estados de carga uniaxiales. Por otra parte, la fatiga por *fretting* presenta un estado de tensiones multiaxial. Junto a este estado de tensiones también hay que tener en cuenta el fuerte gradiente que se produce cerca de la superficie del material; por lo que los métodos para la predicción de la vida fatiga en estado uniaxial no sirven para estas condiciones de carga. Existe una fase intermedia, denominada fase de propagación en la cual la grieta crece siguiendo la mecánica de la fractura a través de la Ley de Paris.

Los modelos de predicción debida a fatiga pueden suponer que toda la vida se produce dentro de la fase de iniciación, que toda la vida se produce dentro de la fase de propagación, o bien que existe un porcentaje de vida que se produce en una fase o en otra. En función de las diferentes fases podemos realizar unas suposiciones u otras. Por ejemplo, aquellos modelos en los que la fase de iniciación de la grieta es mayor que la fase de propagación podemos suponer que los modelos basados en la iniciación funcionan de una forma correcta. Sin embargo, este último modelo no tendría en cuenta aquellos fenómenos que se producen fuera de las zonas donde se están evaluando las tensiones y las deformaciones del material.

Por otra parte, a diferencia de los modelos basados en la iniciación, los modelos fundamentados en la propagación tienen la gran dificultad de tener que estimar la longitud a partir de la cual la grieta empieza a propagar. Dicha magnitud es función del tipo de ensayo o de la geometría, por lo que sería necesario la utilización de algún parámetro que permita definir esta longitud de iniciación de una forma idónea para los cálculos.

Por último, existen los modelos que combinan en mayor o menor medida tanto la iniciación como la propagación. El principal inconveniente de estos modelos, al igual que los basados en la propagación es la selección de una longitud de grieta a partir de la cual pasamos de la fase de iniciación a la fase propagación. Esta longitud de grieta es conocida como longitud de iniciación. Otros modelos más sencillos establecen una longitud fija, en función de un criterio determinado para simplificar los cálculos. En nuestro modelo en particular hemos utilizado una implementación que combina la fase de iniciación y la fase de propagación, sin tener en cuenta, en principio, la longitud de iniciación de la grieta.

El alcance de este trabajo es la implementación en lenguaje Python de un software de interfaz gráfica de usuario con el que poder predecir la vida a fatiga multiaxial y obtener resultados visuales de una forma fácil y rápida sin tener un conocimiento técnico de programación en este lenguaje. Los scripts utilizados por mi compañero Alejandro Quirós Rodríguez[14] han servido de referencia para la mejora de los diferentes códigos de implementación para el cálculo de la vida a fatiga multiaxial.

1.1 Python

Python es uno de los lenguajes de programación más sencillos de aprender. Es considerado un lenguaje de alto nivel, es decir la sintaxis del lenguaje es muy similar a la sintaxis del lenguaje natural. Este lenguaje esta administrado por Python Software Foundation© aunque tiene una licencia de código abierto con la que cualquier desarrollador puede acceder a él.

Python fue creado a finales de los ochenta, pero no ha sido hasta la década de los 2010 cuando ha sido utilizado en mayor medida, sobre todo para la estadística, más concretamente en la rama del data science[13].

Para el desarrollo de un proyecto normalmente se requieren más de un módulo diferente. Podemos definir módulo como una librería donde se encuentran diferentes funciones y variables específicas

que no se encuentran de forma nativa en Python y que son utilizadas para una función concreta dentro del programa que se está desarrollando. Para el software que hemos desarrollado se han utilizado varios módulos. Algunos de los que podemos destacar son los siguientes:

- NumPy: Es un módulo que permite el cálculo con vectores y matrices. Para usuarios habituales del lenguaje Matlab su uso es muy similar [1].
- SciPy: Es un módulo que importa funciones para la optimización de funciones, para el cálculo de extremos relativos [5].
- Pandas: Es un módulo especializado en la visualización de grandes cantidades de datos [2].
- Sklearn: Es un módulo que importa funciones para trabajos estadísticos como es el cálculo de regresión y otras operaciones de aprendizaje automático[4].
- Matplotlib: Es un módulo que se utiliza para la visualización de datos de forma gráfica [6].
- Re: Es un módulo utilizado para detectar expresiones regulares y buscar dentro de cadenas de caracteres patrones repetidos [3].

1.2 Tkinter

El principal módulo utilizado en este proyecto es Tkinter. Este módulo se utiliza para crear ventanas con GUI (Guide User Interface) con Python. Dentro de este módulo existen diferentes widgets que pueden utilizarse para interactuar con el usuario al igual que cualquier programa de escritorio de un ordenador. El desarrollo de este software no hubiera sido posible sin la ayuda de diferentes manuales para programación GUI, pues esta programación no se desarrolla dentro de una carrera de ingeniería aeronáutica[10].

2 Modelo de predicción de vida a fatiga

En este capítulo vamos a exponer el modelo teórico que se encuentra detrás de los cálculos de predicción de vida a fatiga que se han implementado dentro del programa desarrollado. Este modelo está basado en uno propuesto por C. Navarro[12] en el año 2005. Dicho modelo se basa en la diferenciación de dos fases dentro del proceso de fatiga, las cuales son la fase de iniciación y la fase de propagación. Según C. Navarro la vida total a fatiga para el caso del fretting sería la resultante de la suma de estas dos fases. La fase de iniciación es el proceso durante el cual el material que está viéndose sometido a una carga alternativa va produciendo una grieta apenas apreciable hasta que alcanza una cierta longitud denominada longitud de iniciación. Por otra parte, la fase de propagación es la que se produce después de la fase de iniciación y es cuando la grieta se propaga de una forma más rápida y descontrolada hasta que finalmente el material falla.

El proceso para calcular el número de ciclos necesarios para iniciar la grieta se lleva a cabo mediante la generación de un vector de valores discretos de longitudes de iniciación y a partir de la fase de propagación se calculan los ciclos necesarios para llevar el material a rotura. El resultado de este cálculo son las curvas de iniciación del material. Estas curvas son únicas para cada material y sólo dependen de las propiedades del material.

Las curvas de iniciación son utilizadas para determinar la vida de iniciación teniendo en cuenta el estado de tensiones y deformaciones al que está siendo sometido el material.

Una vez generados los resultados de iniciación para todas las longitudes de grieta se obtiene una tabla con la que se puede implementar una curva con la vida total, la vida de la iniciación y la vida a propagación. Con esta curva, es fácil obtener la vida a fatiga, pues el mínimo de esta curva representa el número máximo de ciclos que puede soportar dicho material para unas condiciones específicas.

Como se puede deducir, se trata de un proceso con multitud de cálculos, por lo que la carga computacional es importante. En las secciones posteriores se explican el proceso de cálculo en la fase de iniciación 2.1 y la fase propagación 2.2.

2.1 Fase de iniciación

Como ya hemos descrito anteriormente de una forma breve, la fase de iniciación se produce cuando material sometido a una carga alternante produce un debilitamiento de la estructura interna y externa del material que puede desencadenar en la iniciación de una grieta. El material a priori, puede estar en perfecto estado pero la propia naturaleza de las cargas alternantes es la que desencadena

defectos que pueden producir un concentrador de tensiones en una determinada zona. Aunque un concentrador de tensiones facilita la fase de iniciación, esta fase puede iniciarse incluso si no existen concentradores de tensiones apreciables en el material, es decir en una superficie perfectamente lisa. En nuestro caso concreto, los esfuerzos multiaxiales lo que producen son cargas tangenciales y normales a la superficie que aceleran el proceso de fatiga del material.

Hay que tener en cuenta que no existe un criterio único para la estimación de la iniciación. En nuestro caso hemos optado por los criterios propuestos por Fatemi-Socie[7] y Smith-Watson-Topper[17] los cuales serán descritos en las secciones 2.1.1 y 2.1.2.

A partir de estos parámetros, se obtienen diferentes curvas en función del parámetro de iniciación elegido. Estas curvas relacionan el parámetro elegido con la vida total en el caso de tensión uniaxial y ciclo de carga simétrico ($R = -1$). Para el cálculo de la longitud de iniciación de la grieta simplemente hay que restar la vida total anterior a los ciclos necesarios para propagación de la grieta desde dicha longitud de iniciación hasta el fallo por rotura. Las curvas de iniciación son obtenidas para el caso uniaxial donde la tensión uniforme. Como ya hemos mencionado anteriormente, las curvas de iniciación únicamente dependen de las propiedades del material y no del estado del mismo en los experimentos. Por tanto, un determinado material tendrá unas curvas de iniciación específicas.

2.1.1 Criterio de Fatemi-Socie

El primer criterio que vamos a describir es el propuesto por Fatemi y Socie. Dicho criterio hace uso del incremento de deformaciones tangenciales dentro del plano donde dichas deformaciones son máximas ($\Delta\gamma_{max}$) y de la tensión normal máxima (σ_{max}) que es perpendicular al plano donde se produce esas deformaciones tangenciales. En la ecuación 2.1 se define el parámetro de Fatemi-Socie.

$$FS = \frac{\Delta\gamma_{max}}{2} \left(1 + k \frac{\sigma_{max}}{\sigma_y} \right) \quad (2.1)$$

Donde k es la relación entre el límite elástico (σ_y) y el límite a fatiga (σ'_f) de forma que $k = \sigma_y / \sigma'_f$. Esta expresión es válida para el caso multiaxial. Para el caso uniaxial para ciclos simétricos y haciendo uso del cálculo elástico de tensiones es necesario modificar la expresión anterior y hacer uso de la siguiente, tal y como se muestra en la ecuación 2.2.

$$FS = (1 + \nu) \frac{\sigma'_f}{E} (2N_t)^b + \frac{k}{2} (1 + \nu) \frac{\sigma_f^2}{E\sigma_y} (2N_t)^{2b} \quad (2.2)$$

Donde ν es el coeficiente de Poisson, E es el módulo de Young, b es el denominado exponente de resistencia a fatiga, N_t es el número de ciclos hasta la rotura. Aplicando la expresión 2.2 podemos obtener la curva $FS - N_t$ representada en la figura 2.1. Se puede apreciar como para altos números de ciclos apenas existen diferencias apreciables entre unas longitudes de iniciación y otras. Lo contrario ocurre si hablamos de bajo número de ciclos, donde la longitud de iniciación sí influye significativamente en la vida a fatiga.

2.1.2 Criterio de Smith-Watson-Topper

Otro criterio para la iniciación de la grieta es el propuesto por Smith et al. Dicho criterio tiene en cuenta el incremento que se produce en la deformación ($\Delta\epsilon$) y la tensión normal máxima (σ_{max}) que se alcanza en el material. Este parámetro se calcula para la orientación en la que el producto

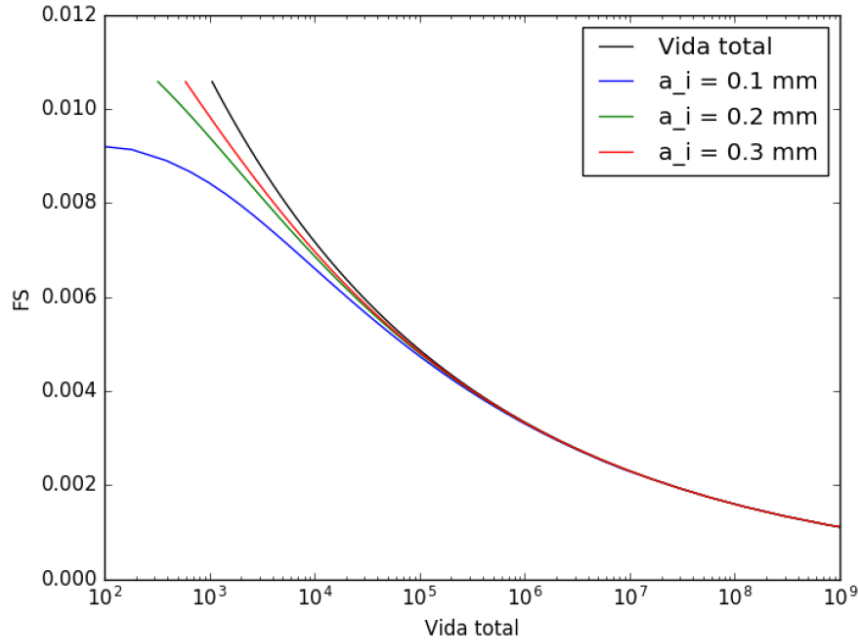


Figura 2.1 Curvas de iniciación $FS - N_i$ [14].

entre ambos valores es máximo y por tanto, dicho parámetro también lo es.

$$SWT = \left(\sigma_{max} \frac{\Delta \epsilon}{2} \right) \quad (2.3)$$

La expresión 2.3 representa el caso multiaxial. Para el caso de fatiga uniaxial con ciclos simétricos y teniendo en cuenta la hipótesis de que el cálculo de tensiones es elástico, podemos hacer uso de la expresión 2.4.

$$SWT = \frac{\sigma_f^2}{E} (2N_i)^{2b} \quad (2.4)$$

De forma análoga, podemos obtener la curva que representa la variación de el parámetro SWT con respecto a los ciclos totales N_i en la figura 2.2.

El comportamiento de la gráfica es similar a lo que ocurre con el criterio de Fatemi-Socie, donde para ciclos altos no existen apenas diferencias apreciables para distintos longitudes de iniciación y para ciclos bajos, estas diferencias son más apreciables.

Todos estos cálculos vienen implementados en el script correspondiente a la fase de propagación que están en el apéndice A.2 al final de este documento.

2.2 Fase de propagación

La siguiente fase en el crecimiento de una grieta es la fase de propagación. En esta fase la grieta normalmente se propaga más rápidamente de lo que lo hace durante la fase de iniciación. Para los cálculos que se realizan en esta fase se hace uso de la teoría propuesta en la mecánica de la fractura. Puesto que a priori, no conocemos la longitud inicial, esta se define con anterioridad. Una

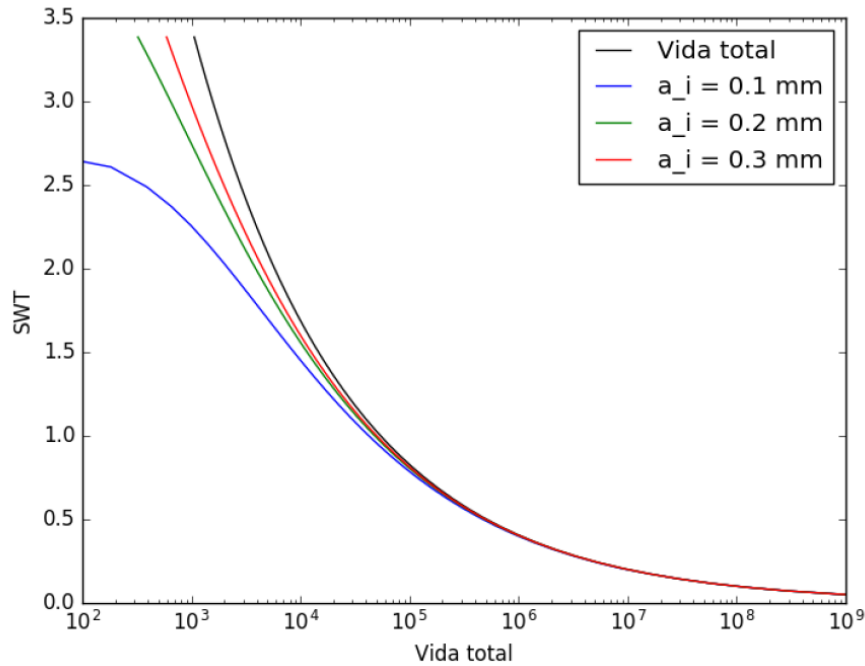


Figura 2.2 Curvas de iniciación $SWT - N_i$ [14].

buena aproximación para hacer los cálculos más sencillos es suponer que la grieta crece en línea recta. Esta suposición, si bien no es cierta para toda la vida, sí lo es en la mayor parte de esta. Otra hipótesis importante es suponer que el factor de intensidad de tensiones 2.2.1 es principalmente en modo I y despreciar el modo II. A continuación se describen todas las expresiones utilizadas para el cálculo de esta fase.

2.2.1 Factor de intensidad de tensiones

Dentro de la mecánica de la fractura resulta fundamental la obtención del llamado factor de intensidad de tensiones. Este factor determina la tensión que se produce en las cercanías de un concentrador de tensiones con respecto a la tensión nominal. Para el cálculo de este factor se hace uso de una función de peso propuesta por Bueckner[16] que es función de la profundidad de la grieta.

$$w(s) = \frac{1}{\sqrt{s}} \left(1 + m_1 \cdot \left(\frac{s}{a} \right) + m_2 \cdot \left(\frac{s}{a} \right)^2 \right) \quad (2.5)$$

En la expresión 2.5, a representa la longitud de la grieta, s es la variable que representa la posición hasta dicha longitud de la grieta y m_1 y m_2 son dos parámetros obtenidos de forma empírica y que dependen de a y de W , el ancho del espécimen.

$$m_1 = 0.6147 + 17.1844 \left(\frac{a}{W} \right)^2 + 8.7822 \left(\frac{a}{W} \right)^6 \quad (2.6)$$

$$m_2 = 0.2502 + 3.2889 \left(\frac{a}{W} \right)^2 + 70.0444 \left(\frac{a}{W} \right)^6 \quad (2.7)$$

Teniendo los parámetros para definir la función de pesos podemos calcular factor de intensidad de tensiones correspondiente al modo I haciendo uso de la siguiente expresión.

$$K_I = \sqrt{\frac{2}{\pi}} \int_0^a w(s) \cdot \sigma_x(s) ds \quad (2.8)$$

Donde $\sigma_x(s)$ representa la tensión normal al plano de la grieta en función de la posición. La expresión 2.8 es válida para grietas bidimensionales o planas. Por tanto es necesario corregir el factor de intensidad de tensiones para grietas tridimensionales o elípticas, que son las que se producen cuando se ven sometidas a *fretting*. Para esta corrección se hace uso del factor Φ determinado por Irwin[9] en 1962.

$$\Phi = \int_0^{\pi/2} \sqrt{1 - \left(1 - \left(\frac{a}{c}\right)^2\right) \sin^2 \phi} d\phi \quad (2.9)$$

Como se puede observar en la expresión 2.9 el factor Φ depende de la relación a/c , es decir de la relación de aspecto. Si asumimos que la grieta puede considerarse elíptica, a es la profundidad de penetración en el material y c es la longitud del semieje de la elipse que se observa en la superficie. Se puede ver mejor esta geometría en la figura 2.3. El factor de intensidad de tensiones se corrige para una grieta elíptica, dividiéndolo por el factor ϕ .

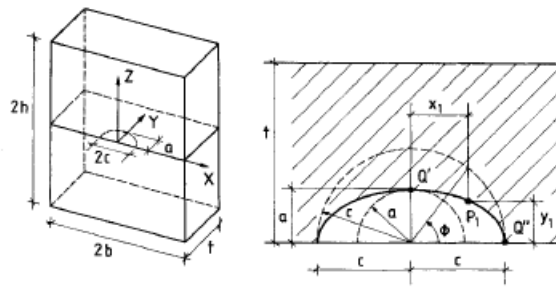


Figura 2.3 Esquema de una grieta tridimensional[8].

2.2.2 Modelo de propagación

Dentro de la mecánica de la fractura es necesario definir el modelo que determina la propagación de la grieta. Existen diferentes modelos para el crecimiento de grieta, uno de los más conocidos es el basado en la Ley de Paris, cuya expresión es la siguiente:

$$\frac{da}{dN} = C \Delta K^n \quad (2.10)$$

Como se observa, se trata de una ecuación diferencial donde ΔK , incremento del factor de intensidad, es función de a . En la ecuación anterior n es el exponente de la ley de crecimiento. Sin embargo la expresión 2.10 es muy simplificada y sólo es aplicable a condiciones muy ideales. A partir de esta ley se ha desarrollado otra expresión donde se tienen en cuenta el estado estructural del material[12].

$$\frac{da}{dN} = C \left(\Delta K^n - \left(\Delta K_{th\infty} \left(\frac{a^f}{a^f + a_0^f - l_0^f} \right)^{1/2f} \right)^n \right) \quad (2.11)$$

Donde $\Delta K_{th\infty}$ es el denominado umbral de crecimiento, f es un parámetro de aproximación al diagrama de Kitagawa-Takahashi, a_0 es el parámetro de El Haddad¹ y l_0 es la distancia a la primera barrera microestructural. En la figura 2.4 se puede observar el diagrama de Kitagawa-Takahashi y como se define el parámetro de El Haddad.

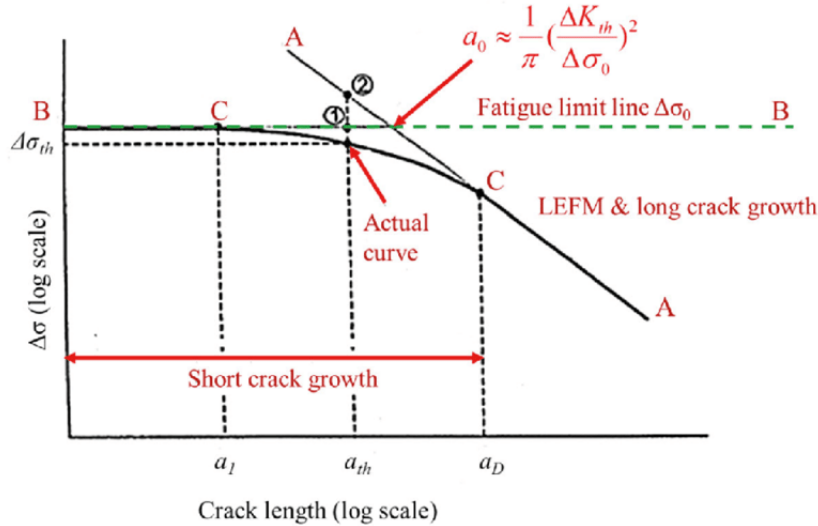


Figura 2.4 Diagrama de Kitagawa-Takahashi[15].

Todos los cálculos que se describen en esta sección se implementan en el código descrito en el anexo A.3, que contiene los cálculos para la fase de propagación.

2.3 Cálculo de la vida a fatiga

Una vez vistas las diferentes fases del crecimiento de una grieta, nos queda sumar ambas contribuciones para obtener los ciclos totales. Se obtiene una curva de ciclos totales en la cual el mínimo representa el número máximo de ciclos que el material es capaz de aguantar en esas determinadas condiciones.

$$N_t = N_i + N_p \quad (2.12)$$

Donde N_t , N_i y N_p son los ciclos totales, de iniciación y de propagación respectivamente. Antes de obtener la curva de vida a fatiga es necesario hacer una serie de cálculos previos:

2.3.1 Rotación de la matriz de tensiones

Para obtener los resultados en los ejes idóneos es necesario hacer transformaciones geométricas para rotar la matriz de tensiones. Normalmente los datos vienen dados en un vector de tensiones como este:

$$(\sigma_x, \sigma_y, \sigma_z, \sigma_{xy}, \sigma_{xz}, \sigma_{yz})$$

Este vector se debe representar como una matriz de tensiones, como la siguiente:

¹ Es una distancia ficticia que es utilizada para poder igualar el comportamiento de una grieta pequeña y una grieta grande.

$$\begin{pmatrix} \sigma_x & \sigma_{xy} & \sigma_{xz} \\ \sigma_{xy} & \sigma_y & \sigma_{yz} \\ \sigma_{xz} & \sigma_{yz} & \sigma_z \end{pmatrix}$$

De forma análoga ocurre con las deformaciones, las cuales deben transformarse en una matriz para poder operar con ellas.

Las matrices de rotación en los respectivos ejes son las siguientes:

$$R_x = \begin{pmatrix} 1 & 0 & 0 \\ 0 & \cos(\alpha_x) & -\sin(\alpha_x) \\ 0 & \sin(\alpha_x) & \cos(\alpha_x) \end{pmatrix}$$

$$R_y = \begin{pmatrix} \cos(\alpha_y) & 0 & -\sin(\alpha_y) \\ 0 & 1 & 0 \\ \sin(\alpha_y) & 0 & \cos(\alpha_y) \end{pmatrix}$$

$$R_z = \begin{pmatrix} \cos(\alpha_z) & -\sin(\alpha_z) & 0 \\ \sin(\alpha_z) & \cos(\alpha_z) & 0 \\ 0 & 0 & 1 \end{pmatrix}$$

La matriz de rotación en los tres ejes se obtiene por el producto matricial de las matrices de rotación en cada eje:

$$R = R_x \times R_y \times R_z = \begin{pmatrix} C\alpha_y C\alpha_z & -S\alpha_z C\alpha_y & S\alpha_y \\ -S\alpha_x S\alpha_y C\alpha_z + S\alpha_z C\alpha_x & S\alpha_x S\alpha_y S\alpha_z + C\alpha_x C\alpha_z & -S\alpha_x C\alpha_y \\ S\alpha_x S\alpha_z + S\alpha_y C\alpha_x C\alpha_z & S\alpha_x C\alpha_z - S\alpha_y S\alpha_z C\alpha_x & C\alpha_x C\alpha_y \end{pmatrix} \quad (2.13)$$

Donde C representa el coseno, S el seno y α_i el ángulo de rotación con respecto a un eje i .

Para rotar una matriz dados unos ángulos α simplemente hay que aplicar la siguiente expresión:

$$M' = R^T \times M \times R \quad (2.14)$$

2.3.2 Cálculo de los parámetros

Para el cálculo de los parámetros de Fatemi-Socie 2.1.1 y Smith-Watson-Topper 2.1.2 es necesario hacer uso de las matrices de rotación 2.3.1 para transformar las matrices de tensiones y deformaciones. El proceso de obtención de los parámetros no es tan sencillo como aplicar las diferentes expresiones. Es necesario calcular los ángulos α que maximizan el parámetro en cuestión.

Por una parte, para el parámetro de Fatemi-Socie es necesario obtener la máxima amplitud de deformaciones tangenciales. Esto es $\Delta\gamma = \gamma_{xy}^t - \gamma_{xy}^c$, es decir la diferencia entre la deformación tangencial en la tracción y en la compresión.

Posteriormente, es necesario rotar la matriz de tensiones con los ángulos obtenidos al maximizar la diferencia en deformaciones tangenciales. El valor que nos interesa de esta matriz es la tensión normal correspondiente a $\sigma_{33} = \sigma_{max}$. Haciendo uso de la ecuación 2.1 podemos obtener el parámetro de Fatemi-Socie.

En el caso de la obtención del parámetro de Smith-Watson-Topper es necesario maximizar la cantidad $\sigma_{max} \cdot (\epsilon_x^t - \epsilon_x^c)/2$ de la ecuación 2.3, donde σ_x corresponde a la tensión que se produce en el eje longitudinal de la grieta. Al igual que ocurre con el parámetro de Fatemi-Socie es necesario rotar el tensor de tensiones y deformaciones para determinar el valor máximo de este parámetro que

se utilizará en posteriores cálculos.

Se puede ver un ejemplo de la curva de vida a fatiga en la figura 2.5, donde el punto rojo representa el número de ciclos máximos que puede soportar el material de forma teórica.

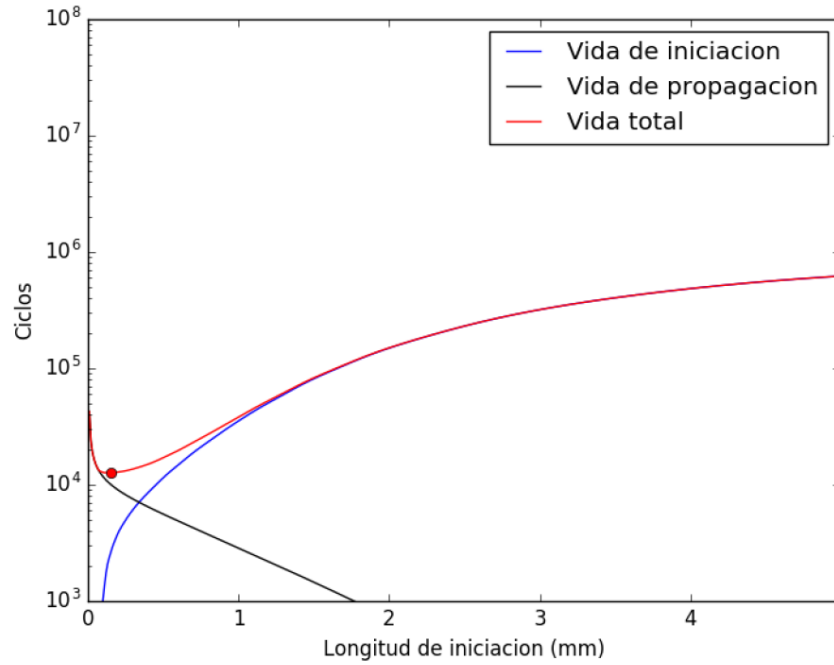


Figura 2.5 Ejemplo de curva de vida a fatiga[14].

Todos los cálculos explicados en esta sección se encuentran implementados en el código descrito en el anexo A.4 donde se calcula la vida a fatiga.

2.4 Propiedades de los materiales

En esta sección se describen las propiedades que caracterizan un material para determinar su vida a fatiga. Éstas son enumeradas en la tabla 2.1:

Tabla 2.1 Tabla de propiedades de los materiales.

Coeficiente de la ley de crecimiento	C
Exponente de la ley de crecimiento	n
Parámetro en aproximación al diagrama Kitagawa-Takahashi	f
Umbral de crecimiento	$\Delta K_{th\infty}$
Tenacidad a fractura	K_{IC}
Módulo de Young	E
Límite elástico	σ_y
Coeficiente de Poisson	ν
Exponente de resistencia a fatiga	b
Coeficiente de resistencia a fatiga	σ'_f
Límite de fatiga	$\Delta\sigma'_{fl}$
Módulo de cortadura	G
Parámetro de El Haddad	a_0
Distancia de la superficie a la primera barrera microestructural	l_0

Algunas de las propiedades enumeradas en la tabla anterior se puede obtener de forma empírica. Existen dos propiedades que derivan de otras propiedades. Éstas son el parámetro de El Haddad a_0 y el módulo de cortadura G . Ambos se calculan respectivamente de la siguiente forma:

$$a_0 = \frac{1}{\pi} \left(\frac{\Delta K_{th\infty}}{\sigma'_{fl}} \right) \quad (2.15)$$

$$G = \frac{E}{2(1+\nu)} \quad (2.16)$$

3 Interfaz Gráfica de Usuario (GUI)

Una vez que conocemos todas las expresiones necesarias para llevar a cabo el cálculo de la predicción de vida a fatiga que hemos visto en detalle en el capítulo 2 estamos en disposición de diseñar un software de interfaz gráfica de usuario (GUI), de forma que el usuario pueda realizar estos cálculos sin necesidad de conocer la programación ni la teoría del problema.

Como ya hemos mencionado anteriormente, la aplicación de escritorio se ha implementado con el módulo de Python llamado Tkinter 1.2, el cual contiene las funciones y métodos necesarios para crear los widgets que interactúen con el usuario. Una aplicación creada con este módulo tiene el mismo aspecto que cualquier aplicación de escritorio de cualquier ordenador convencional. Es necesario comentar que el software ha sido diseñado dentro de un sistema operativo Windows® y por lo tanto es posible que el programa no funcione correctamente en cualquier otro sistema operativo.

El programa se ha dividido en cinco pestañas diferente con las que usuario puede realizar diferentes funciones. Estas pestañas serán desarrolladas en profundidad en secciones independientes, donde se explicará el funcionamiento y los posibles errores que se producen dentro de cada pestaña. Éstas son las siguientes:

- **Materiales:** En esta pestaña se especifican las propiedades del materiales que será utilizado durante los cálculos. Se desarrolla en mayor profundidad en la sección 3.2.
- **Iniciación:** En esta pestaña se realizan el cálculo de las curvas de iniciación para un material específico y unos parámetros específicos. Se desarrolla en mayor profundidad en la sección 3.3.
- **Datos:** En esta pestaña se cargan y se visualizan los datos de tensiones y deformación que se utilizarán para el cálculo de la vida a fatiga. Se desarrolla en mayor profundidad en la sección 3.4.
- **Cálculo:** En esta pestaña se realiza el cálculo de la vida a fatiga para unos datos de tensiones y deformaciones específicos. Se desarrolla en mayor profundidad en la sección 3.5.
- **Gráficas:** En esta sección se visualizan los resultados obtenidos y se comparan con los obtenidos experimentalmente. Se desarrolla en mayor profundidad en sección 3.6.

El código utilizado para el desarrollo de este programa se encuentra descrito en el anexo A.1, al final de este documento.

3.1 Inicio

Antes de describir las diferentes pestañas del programa es necesario exponer algunos aspectos generales del programa.

El primero de ellos es informar al usuario que utiliza el programa por primera vez que se trata de un software que se encuentra en fase de desarrollo y que por tanto pueden existir fallos de ejecución. Además de lo anterior también se le indica que puede acudir al presente documento para informarse de su funcionamiento. Esta información se le transmite al usuario mediante una ventana emergente que aparece al inicio del programa y pulsando en el menú "Acerca de" situado en la parte superior del programa. En la figura 3.1 se observa una captura de esta ventana al inicio del programa.

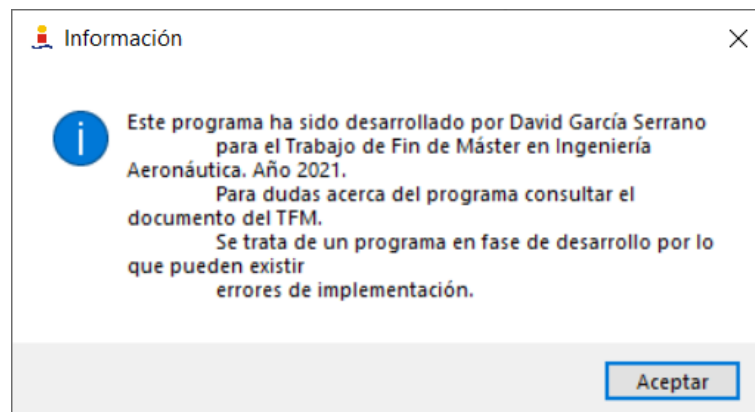


Figura 3.1 Ventana emergente de información al inicio.

Otro aspecto importante dentro del programa, es que existe un menú en la parte superior del programa que tiene diferentes opciones, tal y como se puede ver en la figura 3.2. A continuación se describen las diferentes opciones dentro del menú **Archivo** en diferentes subsecciones:

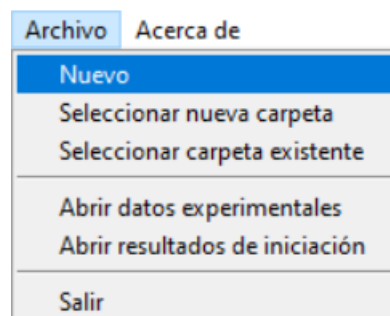


Figura 3.2 Menú de opciones.

3.1.1 Nuevo

Esta opción permite al usuario reiniciar el programa borrando todos los datos almacenados anteriormente. El usuario debe asegurarse de que ha guardado los resultados que quiere antes de presionar esta opción. Cuando se reinicia el programa, por defecto la carpeta de ejecución es donde se encuentra instalado el programa.

3.1.2 Seleccionar nueva carpeta

Esta opción abre una ventana de diálogo preguntando al usuario para seleccionar una determinada carpeta nueva donde realizar los correspondientes cálculos. La ventana de diálogo que le aparece al usuario es como la que se muestra en la figura 3.3.

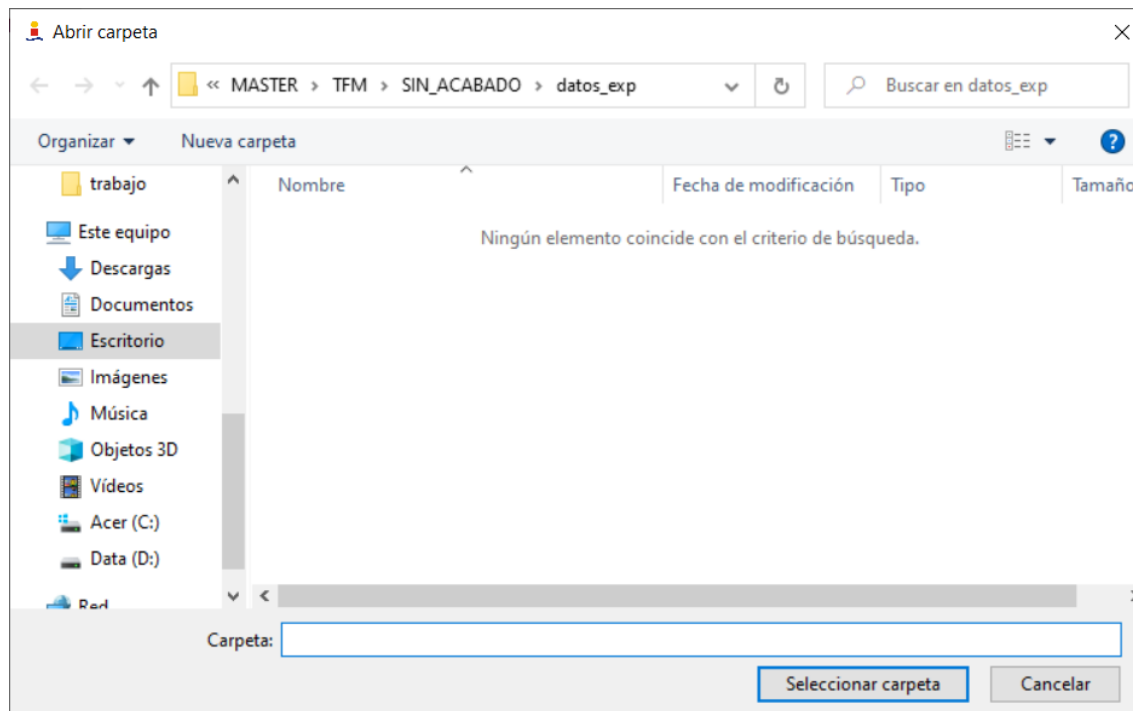


Figura 3.3 Ventana de diálogo para abrir una carpeta nueva..

Al abrir esta carpeta se crearan las diferentes subcarpetas necesarias para la ejecución del programa y para guardar los datos y gráficas obtenidas durante su ejecución. Esta opción es recomendable cuando pretendemos cambiar de material o de parámetros para que no se sobrescriban los resultados anteriores. Estas carpetas se muestran en la figura 3.4.

- curvas_inic
- grafs
- resultados
- resultados_generales

Figura 3.4 Subcarpetas creadas tras la selección de una nueva carpeta.

3.1.3 Seleccionar carpeta existente

Esta opción del menú permite al usuario abrir una carpeta existente con las subcarpetas necesarias para la ejecución y almacenamiento de los datos y resultados. Estas carpetas son las que se muestran en la figura 3.4. Estas carpetas pueden contener cálculos previos, por lo que es idónea para continuar con los cálculos de un mismo material y con unos mismos parámetros sin empezar de nuevo con los cálculos. La ventana de diálogo que le aparece al usuario es como la que se muestra en la figura 3.3.

3.1.4 Abrir datos experimentales

Esta opción del menú permite al usuario abrir la ubicación de los datos de tensiones y deformaciones necesarios para el cálculo de la estimación de la vida a fatiga. Estos datos deben estar dentro de esta carpeta en un formato *.dat* para que puedan ser procesados por el programa. La ventana de diálogo que le aparece al usuario tras ejecutar esta opción es la que se muestra en la figura 3.3. Si los archivos no fueran válidos o se cancelara la apertura de la carpeta se desplegará un mensaje de error indicando que no se han cargado los archivos de datos. El mensaje de error es el que se muestra en la figura 3.5.

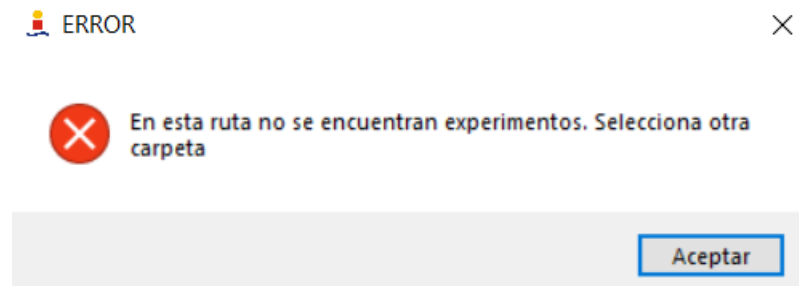


Figura 3.5 Mensaje de error de carga de datos.

Se pueden abrir los datos en esta opción o bien dentro de la pestaña **Datos** 3.4 en el botón **Cargar Datos**.

3.1.5 Abrir resultados de iniciación

Esta opción permite al usuario seleccionar un archivo de iniciación que haya sido realizado con anterioridad de forma independiente a este programa. Esta opción sustituye el archivo de iniciación que ejecutaría el programa por uno seleccionado por el usuario. La ventana que se despliega tras ejecutar esta opción es como la que se muestra en la figura 3.6. El programa sólo será capaz de leer archivos *.dat* por lo que la ventana de diálogo automáticamente filtrará los archivos por este tipo.

Si en el momento de la carga de los datos de iniciación el usuario decide cancelar la carga o ha seleccionado un archivo que no es válido para la realización de los cálculos de vida a fatiga el programa mostrará un error como el que se muestra en la figura 3.7.

3.1.6 Salir

La última opción del menú es la de salir del programa. Tras pulsar esta opción aparece un mensaje preguntando al usuario si quiere salir del programa. Este mensaje es como el que aparece en la figura 3.8.

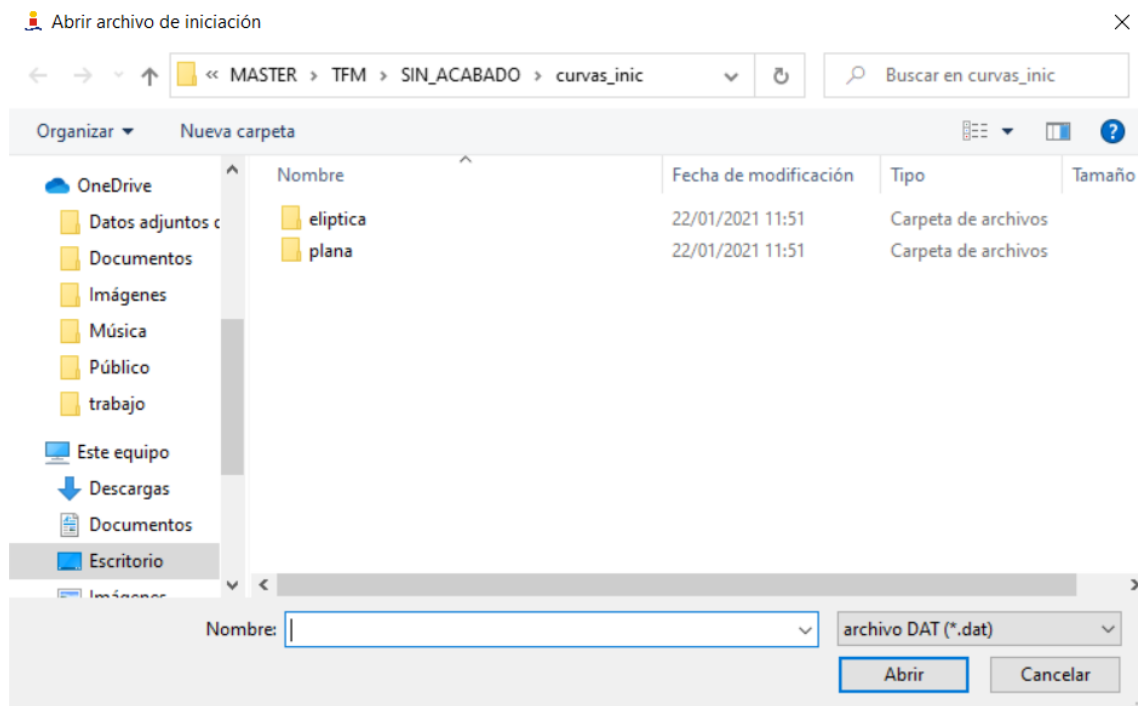


Figura 3.6 Ventana Abrir archivo de iniciación.

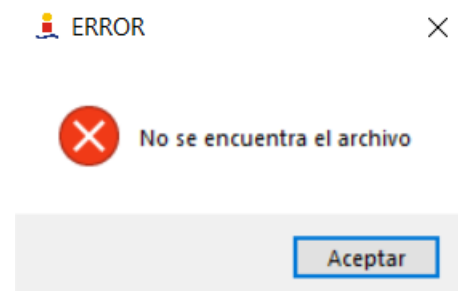


Figura 3.7 Error al cargar el archivo de iniciación.

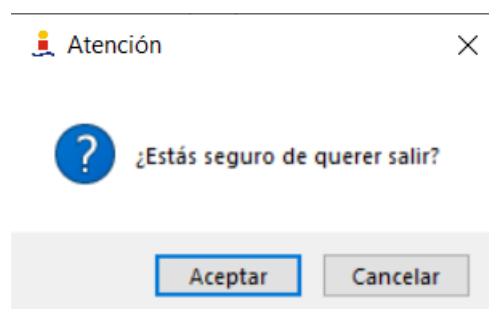


Figura 3.8 Mensaje al salir.

Si el usuario pulsa la opción *Aceptar* el programa se cerrará. En caso de pulsar la opción *Cancelar*, éste volverá al programa.

3.2 Pestaña de Materiales

La primera pestaña que vamos a desarrollar es la pestaña **Material**. En esta pestaña se establecen las propiedades necesarias para el cálculo de la vida a fatiga. Las propiedades en cuestión son las que se han visto en la sección 2.4 donde se indican cuales son éstas.

Esta pestaña es la primera que el usuario se encuentra al abrir el programa. En la figura 3.9 se muestra una captura de esta pestaña sin introducir ejecutar ninguno de los botones que aparecen en la parte inferior.

Material | Iniciación | Datos | Cálculo | Gráficas

Propiedades

C()	8.83e-11
n()	3.322
f()	2.5
I_0(m)	2.5e-5
K_th(MPa m ^{0.5})	2.2
sigma_f(MPa)	169.0
a_0(m)	
K_IC(MPa m ^{0.5})	29.0
sigma_y(MPa)	503.0
sigma_f(MPa)	1610.0
E(MPa)	71000.0
nu()	0.33
b()	-0.1553
G(MPa)	

Borrar todo Confirmar

Borrar Material Guardar Material

Aluminio

Resumen

Datos que se van a utilizar para la realización de los cálculos:

C:
n:
f:
I_0:
K_th:
sigma_f:
a_0:
K_IC:
sigma_y:
sigma_f:
E:
nu:
b:
G:

Figura 3.9 Captura de la pestaña Materiales sin confirmar los campos.

Como se observa en la figura 3.9, podemos ver dos cuadros llamados **Propiedades** y **Resumen**. El primero de ellos está formado por 14 campos de introducción de datos correspondientes a las propiedades. El segundo indica al usuario cuáles son los datos de las propiedades del material que se van a usar para los cálculos posteriores.

En el cuadro **Propiedades** se puede ver como dos campos se encuentran sombreados. Estos campos corresponden al parámetro de El Haddad (a_0) y al parámetro del módulo de cortadura (G). Se encuentran sombreados debido a que dependen de otras propiedades y por tanto no pueden introducirse de forma manual por parte del usuario. Una vez rellenados todos los demás campos de forma correcta estos dos campos serán rellenados automáticamente mediante las expresiones indicadas en la sección 2.4 tras pulsar el botón **Confirmar**. Si los datos introducidos en los campos son correctos, éstos se indicarán en el cuadro **Resumen** tal y como se muestra en la figura 3.10. En el caso de que el valor de una determinada propiedad no sea válida, el programa borrará el campo

en cuestión y el usuario tendrá que introducir de nuevo un valor válido.

The screenshot shows a software window with a menu bar (Material, Iniciación, Datos, Cálculo, Gráficas) and two main panels. The left panel, titled 'Propiedades', contains input fields for various material properties: C(), n(), f(), l_0(m), K_th(MPa m^0.5), sigma_fl(MPa), a_0(m), K_IC(MPa m^0.5), sigma_y(MPa), sigma_f(MPa), E(MPa), nu(), b(), and G(MPa). Below these fields are buttons for 'Borrar todo', 'Confirmar', 'Borrar Material', and 'Guardar Material', along with a dropdown menu currently showing 'Aluminio'. The right panel, titled 'Resumen', displays a table of the data to be used for calculations, with units indicated for several parameters.

C:	8.830e-11	
n:	3.322e+00	
f:	2.500e+00	
l_0:	2.500e-05	m
K_th:	2.200e+00	MPa m^0.5
sigma_fl:	1.690e+02	MPa
a_0:	5.394e-05	m
K_IC:	2.900e+01	MPa m^0.5
sigma_y:	5.030e+02	MPa
sigma_f:	1.610e+03	MPa
E:	7.100e+04	MPa
nu:	3.300e-01	
b:	-1.553e-01	
G:	2.669e+04	MPa

Figura 3.10 Captura de la pestaña tras confirmar los datos del material.

El usuario tiene la opción de borrar el contenido de todos los campos y de la memoria del programa pulsando el botón **Borrar todo** haciendo que se reinicien los valores.

Por otra parte, también es posible seleccionar un material cuyas propiedades han sido guardadas y rellenar todos los campos de las propiedades de forma automática. Estos materiales guardados están dentro de la lista situada en la parte inferior. Tras seleccionar el material, el usuario simplemente tendrá que confirmar las propiedades del material sino quiere hacer ninguna modificación.

This screenshot shows a close-up of the material selection dropdown menu. It contains four buttons: 'Borrar todo', 'Confirmar', 'Borrar Material', and 'Guardar Material'. Below the buttons is a dropdown list with 'Titanio' selected and highlighted in blue. Other visible options in the list are 'Aluminio' and 'Acero'.

Figura 3.11 Lista de materiales guardados.

Como se observa en la figura 3.11 existen otros dos botones. Por una parte, el botón **Guardar Material** permite guardar las propiedades introducidas en los campos y asignarlas un nombre de

un material. Éste será añadido al final de la lista para que pueda ser seleccionado en un futuro. Por otra parte, el botón **Borrar Material** elimina un material seleccionado de la lista.

Para realizar las operaciones de guardar o eliminar un determinado material el programa carga un archivo interno llamado *materiales.xlsx* cada vez que se inicia en el cual se encuentran almacenados los datos de los materiales. Este archivo tiene un aspecto como el que se muestra en la figura 3.12.

	A	B	C	D	E	F	G	H	I	J	K	L	M	N
1		Material	C	n	f	I_0	K_th	sigma_fl	K_IC	sigma_y	sigma_f	E	nu	b
2	0	Aluminio	8.83E-11	3.322	2.5	0.000025	2.2	169	29	503	1610	71000	0.33	-0.1553
3	1	Acero	8.83E-11	3.322	2.5	0.000025	2.2	169	29	503	1610	72000	0.33	-0.1553
4	2	Titanio	8.81E-11	3.31	2.5	0.000025	2.2	186	42	503	1610	72000	0.33	-0.1553

Figura 3.12 Captura del archivo *materiales.xlsx*.

3.3 Pestaña de Iniciación

Una vez definidas las propiedades del material en la pestaña **Material** 3.2, estamos en disposición de obtener las curvas y los datos de iniciación para esas propiedades específicas del material. En la figura 3.13 se muestra una captura de esta pestaña a primera vista.

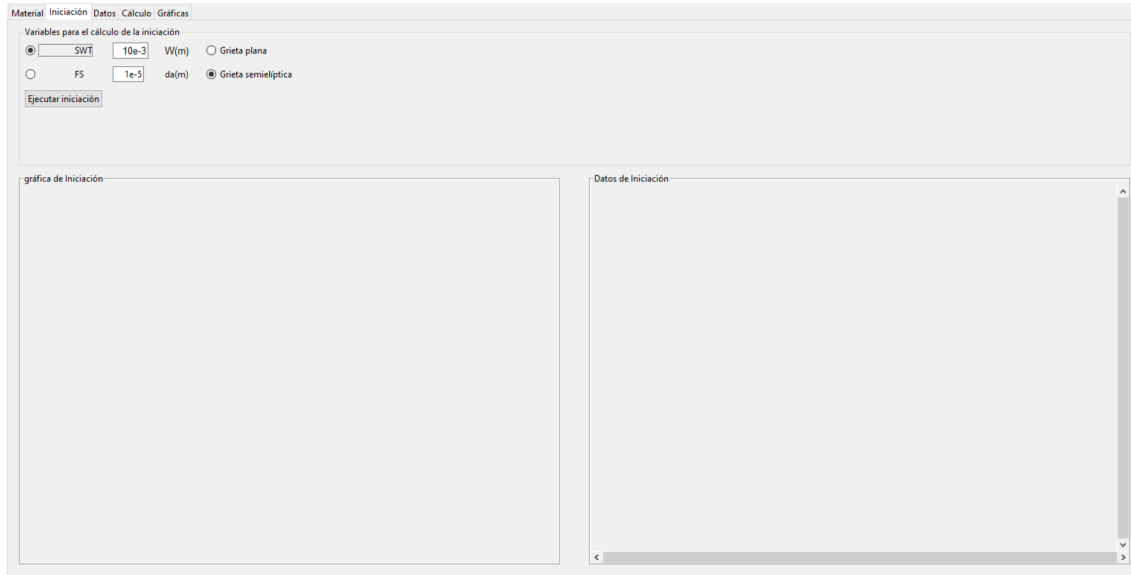


Figura 3.13 Captura de la pestaña Iniciación a primera vista.

Podemos observar en la figura 3.13 tres cuadros diferentes dentro de esta pestañas. En la parte superior, en el cuadro denominado **Variables para el cálculo de la iniciación**, se establecen las variables y parámetros específicos para el cálculo de las curvas de iniciación. En la parte inferior izquierda, en el cuadro denominado **Gráfica de iniciación** se representan todas las curvas de iniciación del material. Por último, en la parte inferior derecha, en el cuadro denominado **Datos de iniciación** se obtienen los datos numéricos del cálculo de las curvas de iniciación en una tabla de datos.

A continuación se describen con mayor detalle cada uno de éstos cuadros.

En la figura 3.14 se puede ver con mayor detalle el primer cuadro.

Dentro de este cuadro, el usuario deberá especificar diferentes parámetros para el cálculo de las

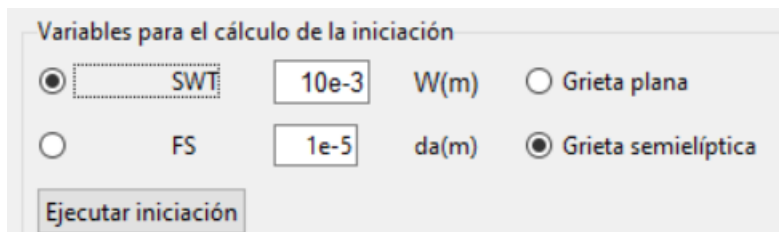


Figura 3.14 Captura del cuadro de Variables para el cálculo de la iniciación.

curvas de iniciación. Estos parámetros son: el criterio de iniciación, la anchura del espécimen y el tipo de propagación.

Primero, el usuario debe elegir entre los criterios **SWT** o **FS** correspondientes a los criterios de Smith-Watson-Topper 2.1.2 y Fatemi-Socie 2.1.1 respectivamente.

Segundo, debe especificar la anchura (**W**) en metros y el paso de grieta (**da**) en metros con el que se van a llevar a cabo el cálculo de las curvas de iniciación.

Por último, se debe definir el tipo de grieta 2.2, la cual puede ser **Grieta plana** o **Grieta semi-elíptica**.

Una vez definidos todos los parámetros, y comprobado que se quiere realizar las curvas dentro de la carpeta correcta, el usuario puede iniciar el cálculo de las curvas de iniciación presionando el botón **Ejecutar iniciación**. Si el cálculo no ha sido realizado anteriormente para los parámetros definidos, se obtendrán las curvas y los datos numéricos en los cuadros inferiores como se observa en las figuras 3.15 y 3.16.

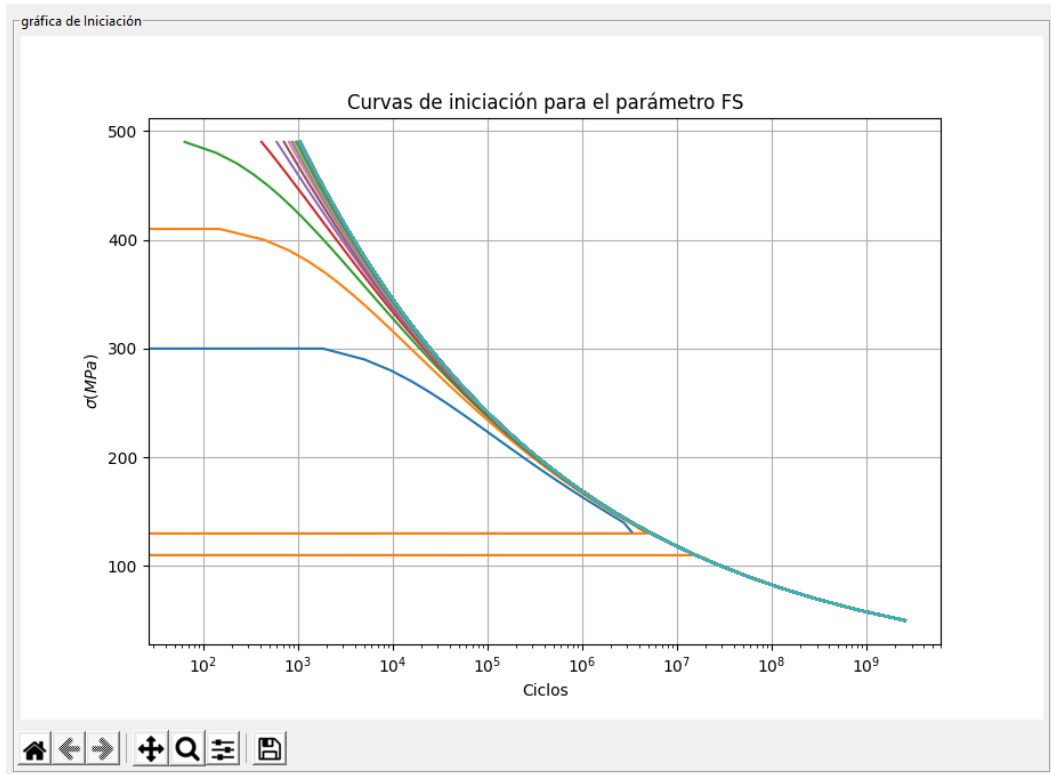


Figura 3.15 Ejemplo de curvas de iniciación.

Datos de Iniciación					
	0.000e+00	5.000e-05	1.149e-04	1.869e-04	2.600e-04
0.0009512	2560000000.0	2560000000.0	2560000000.0	2560000000.0	2560000000.0
0.001145	791400000.0	791400000.0	791400000.0	791400000.0	791400000.0
0.00134	293300000.0	293300000.0	293300000.0	293300000.0	293300000.0
0.001536	124100000.0	124100000.0	124100000.0	124100000.0	124100000.0
0.001733	58150000.0	58150000.0	58150000.0	58150000.0	58150000.0
0.001931	29510000.0	29510000.0	29510000.0	29510000.0	29510000.0
0.002131	15970000.0	15970000.0	15970000.0	15970000.0	15970000.0
0.002332	0.0	0.0	8946000.0	9027000.0	9027000.0
0.002534	3450000.0	4891000.0	5330000.0	5379000.0	5379000.0
0.002737	2756000.0	3171000.0	3295000.0	3328000.0	3328000.0
0.002941	1786000.0	2032000.0	2103000.0	2127000.0	2127000.0
0.003146	1164000.0	1332000.0	1380000.0	1398000.0	1398000.0
0.003353	769100.0	892700.0	928100.0	942100.0	942100.0
0.00356	515400.0	610400.0	637500.0	648700.0	648700.0
0.003769	349500.0	424900.0	446200.0	455300.0	455300.0
0.003979	239300.0	300400.0	317600.0	325100.0	325100.0
0.00419	164900.0	215300.0	229400.0	235800.0	235800.0
0.004403	114100.0	156200.0	168000.0	173300.0	173300.0
0.004616	78870.0	114500.0	124500.0	129000.0	129000.0
0.004831	54250.0	84690.0	93200.0	97140.0	97140.0
0.005047	36910.0	63140.0	70460.0	73880.0	73880.0
0.005264	24600.0	47380.0	53730.0	56720.0	56720.0
0.005482	15820.0	35740.0	41290.0	43910.0	43910.0
0.005701	9544.0	27060.0	31940.0	34250.0	34250.0
0.005922	5055.0	20550.0	24860.0	26910.0	26910.0
0.006143	1853.0	15620.0	19450.0	21270.0	21270.0
0.006366	0.0	11860.0	15280.0	16910.0	16910.0
0.00659	0.0	8991.0	12050.0	13520.0	13520.0
0.006815	0.0	6781.0	9534.0	10860.0	10860.0
0.007042	0.0	5075.0	7559.0	8754.0	8754.0

Figura 3.16 Ejemplo de tabla de datos numéricos de la iniciación.

El cálculo de las curvas de iniciación puede tardar del orden de minutos dependiendo del procesador del ordenador. Puesto que se requiere algo de tiempo, no es eficiente tener que calcular las curvas de iniciación cada vez que queremos hacer un cálculo posterior con los mismos parámetros. Por ello, en caso de que se hayan realizado los cálculos con los mismo parámetros se avisa al usuario que las curvas han sido realizadas con anterioridad. Este mensaje se muestra en la figura 3.17. En este caso sólo se cargarán los datos numéricos en la tabla de datos. La gráfica con las curvas se encuentra guardada en la carpeta *grafs* pero no se muestra en el cuadro.

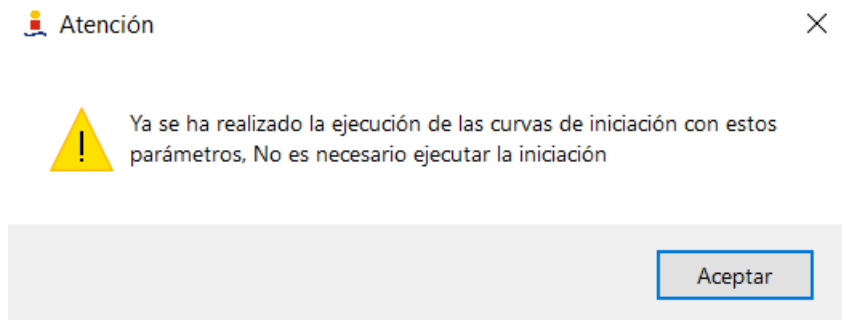


Figura 3.17 Mensaje de advertencia de que las curvas de iniciación han sido realizadas.

En caso de que el cálculo de las curvas de iniciación no se haya realizado con anterioridad y el usuario quiera ejecutarlo sin haber especificado las propiedades del material, esto producirá un mensaje de error como el que se muestra en la figura 3.18.

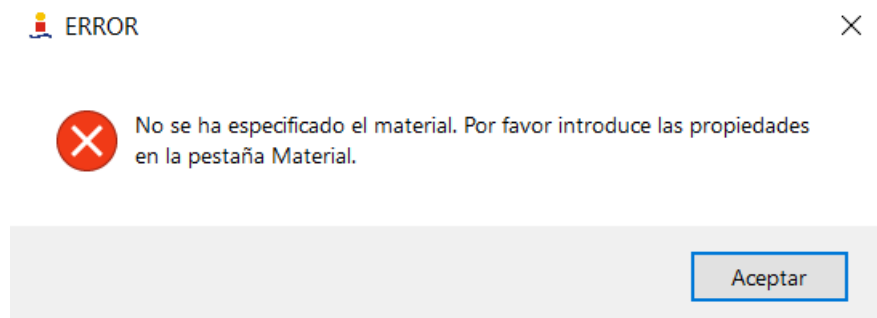


Figura 3.18 Mensaje de error al no especificar el material.

Otro posible error puede producirse si por alguna razón se genera el archivo que contiene los datos pero este no se completa. En este caso, el archivo existe pero el contenido del mismo está dañado. El usuario será informado mediante un mensaje de error como el que se muestra en la figura 3.19.

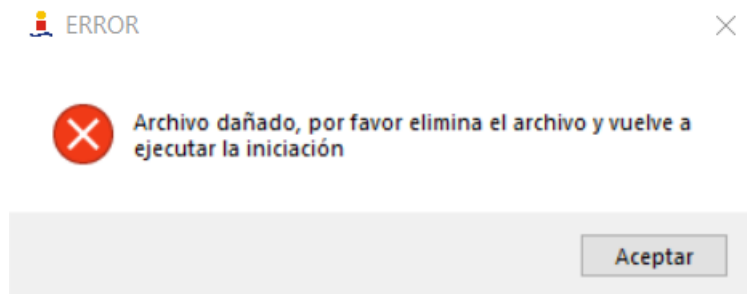


Figura 3.19 Mensaje de error de archivo dañado.

3.4 Pestaña de Datos

La siguiente pestaña que vamos a desarrollar es la pestaña de **Datos**. Esta pestaña se utiliza para cargar y visualizar los datos de tensiones y deformaciones que podrán usarse posteriormente para calcular la estimación de vida a fatiga que se realizará en la pestaña de **Cálculo** 3.5. En la figura 3.20 se muestra una captura de esta pestaña datos de tensiones y deformaciones cargados.

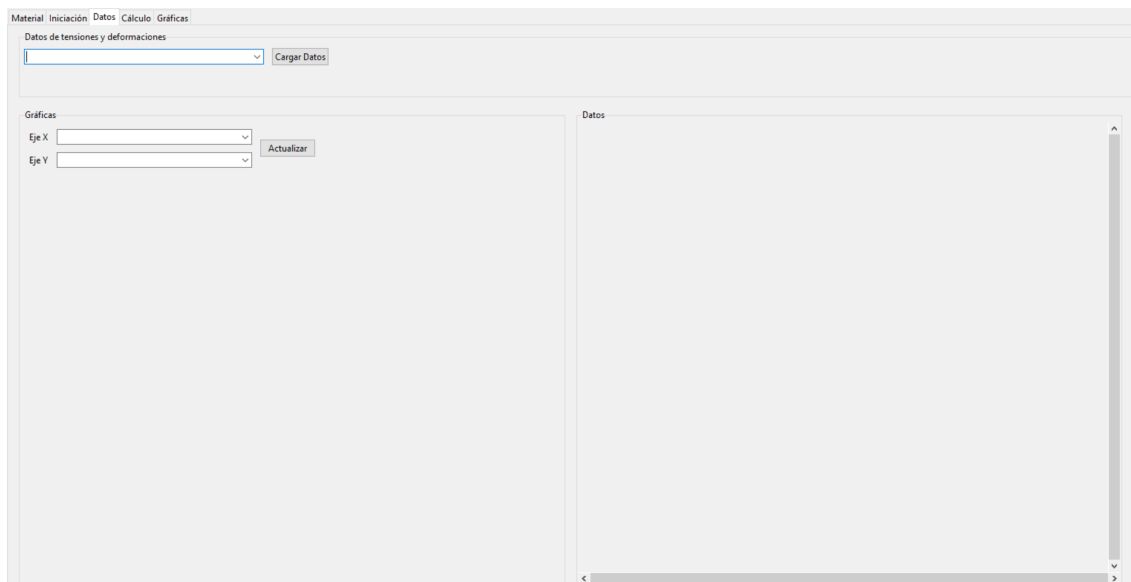


Figura 3.20 Captura de la pestaña Datos antes de cargar datos.

Esta pestaña está formada por tres cuadros diferentes, los cuales tienen funciones diferentes. El cuadro superior, llamado **Datos de tensiones y deformaciones** está compuesto por una lista y un botón. Esta lista, se encuentra vacía en principio. Para poder rellenar esta lista, el usuario debe pulsar el botón **Cargar Datos**. Esta acción también se puede realizar pulsando dentro del menú **Archivo** sobre la opción **Abrir datos experimentales**, abriendo una ventana de diálogo preguntando al usuario por la carpeta donde se encuentran los datos de tensiones y deformaciones. Esta ventana de diálogo es como la que se muestra en la figura 3.3.

Si la carpeta es válida, se realizará la carga de todos los datos en la lista, como se puede mostrar en la figura 3.21. Esta lista deberá contener los archivos de datos para el caso de compresión y para el caso de tracción. Los archivos que se encuentren dentro de la carpeta deberán llamarse comenzando por **TENSOR_COMPR** para el caso de compresión y por **TENSOR_TRAC** para el

caso de tracción. Además deberán estar en formato *.dat*.

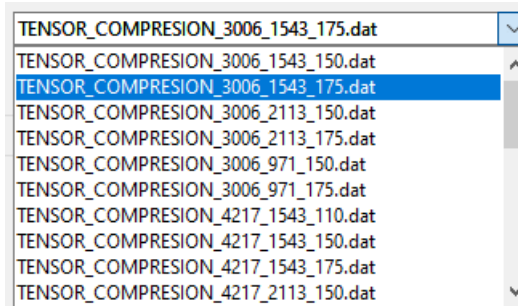


Figura 3.21 Lista de archivos de datos.

Una vez cargados los datos de tensiones y deformaciones de forma correcta, el cuadro inferior derecho, llamado **Datos** mostrará una tabla de datos numéricos del archivo seleccionado en la lista tal y como se puede ver en la figura 3.22.

A screenshot of a data table window titled "Datos". The table has five columns: "Y", "s_{xx}", "s_{yy}", and "s_z". The data is as follows:

Y	s _{xx}	s _{yy}	s _z
0.0	-432.021	-26.0427	-151.161
9.9999999999999996123e-06	-423.933	-31.6339	-150.337
1.99999999999999992246e-05	-415.848	-37.2144	-149.511
3.00000000000000002247e-05	-408.284	-40.8388	-148.211
3.999999999999999837e-05	-400.739	-44.457	-146.915
4.999999999999999449e-05	-394.992	-47.5091	-146.025
6.00000000000000004494e-05	-389.256	-50.5542	-145.137
6.9999999999999998674e-05	-384.239	-53.1863	-144.35
7.999999999999999674e-05	-379.233	-55.8115	-143.565
9.0000000000000000674e-05	-374.717	-58.1243	-142.838
9.9999999999999998899e-05	-370.211	-60.4302	-142.112
0.00010999999999999899	-366.059	-62.487	-141.42
0.00011999999999999511	-361.917	-64.5369	-140.73
0.00012999999999999123	-358.059	-66.3812	-140.065
0.00014000000000000123	-354.21	-68.2188	-139.401
0.00014999999999999736	-350.598	-69.8825	-138.758
0.00015999999999999348	-346.995	-71.5394	-138.116
0.00017000000000000348	-343.595	-73.0468	-137.492
0.00017999999999999996	-340.205	-74.5475	-136.868
0.00018999999999999573	-336.995	-75.9176	-136.261
0.00020000000000000573	-333.794	-77.2811	-135.655
0.00020999999999998797	-330.753	-78.5294	-135.063
0.0002199999999999797	-327.721	-79.7713	-134.472
0.0002299999999999941	-324.834	-80.9107	-133.896
0.00023999999999999022	-321.956	-82.0438	-133.32
0.0002500000000000002	-319.21	-83.0852	-132.757
0.00025999999999999635	-316.473	-84.1203	-132.196
0.00026999999999999247	-313.857	-85.073	-131.647

Figura 3.22 Tabla de datos numéricos de tensiones y deformaciones.

Por otra parte, en el cuadro inferior izquierdo, llamado **Gráficas**, aparecerá una gráfica como la que se muestra en la figura 3.23.

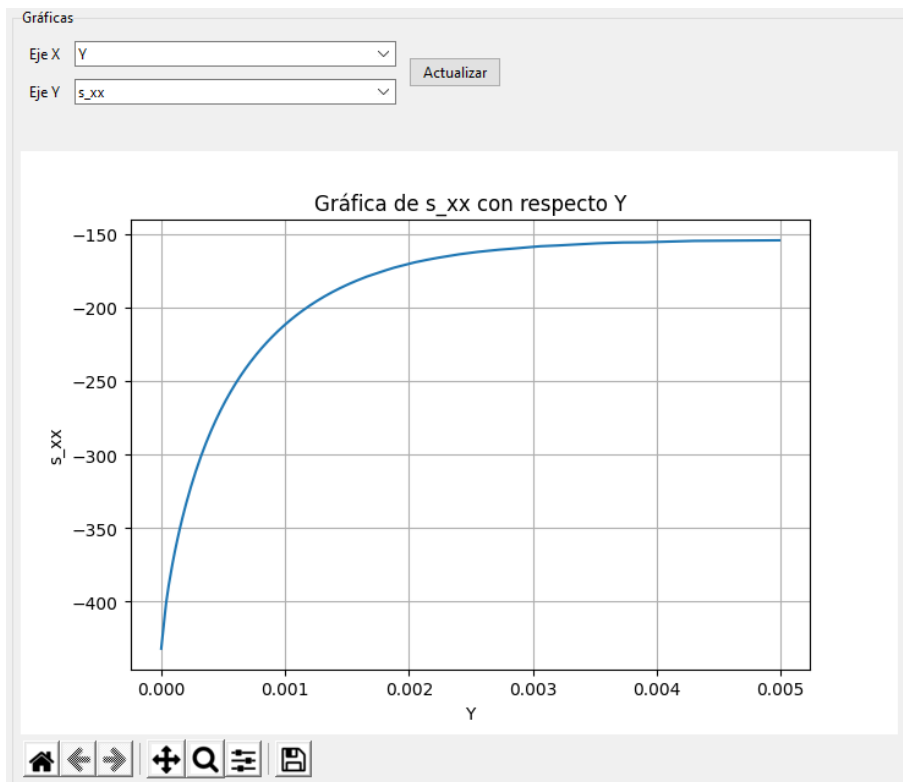


Figura 3.23 Captura del cuadro Gráficas.

Como se puede observar en la figura 3.23, en la parte superior de este cuadro existen dos listas con las que poder modificar los datos de los ejes y además un botón con el que actualizar la gráfica. Estas listas contienen las propiedades de los datos, como se puede ver en la figura 3.24. Estas listas coinciden con las columnas de la tabla de datos. Por defecto, al cargar los datos se seleccionan para **Eje X** la propiedad "Y", que es la profundidad de la grieta en metros y para **Eje Y** la propiedad "s_xx", que es la tensión principal del estado de fatiga. En resumen l

En la tabla 3.1 se hace una descripción de las propiedades que se encuentran en los datos de tensiones y deformaciones.

Cada vez que el usuario quiera cambiar de ejes para la gráfica, tendrá que seleccionar las propiedades en las listas y posteriormente pulsar en el botón **Actualizar**.

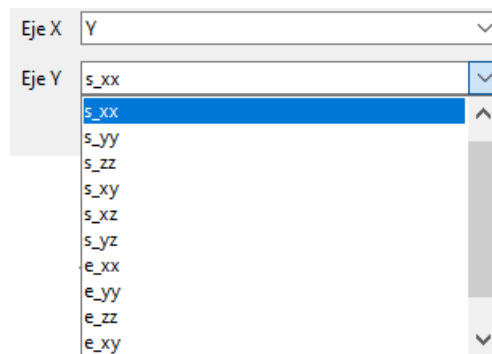
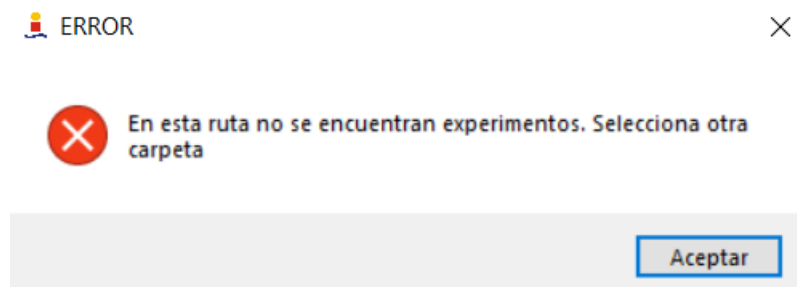


Figura 3.24 Lista de propiedades de los datos.

Tabla 3.1 Tabla descriptiva de las datos de tensiones y deformaciones.

Columna	Símbolo	Descripción
Y	y	Dimensión en la dirección de profundidad de la grieta (m)
s_xx	σ_{xx}	Tensión principal de fatiga (MPa)
s_yy	σ_{yy}	Tensión en la dirección de la profundidad de la grieta (MPa)
s_zz	σ_{zz}	Tensión en la dirección normal a σ_{xx} y σ_{yy} (MPa)
s_xy	σ_{xy}	Tensión tangencial en el plano xy (MPa)
s_xz	σ_{xz}	Tensión tangencial en el plano xz (MPa)
s_yz	σ_{yz}	Tensión tangencial en el plano yz (MPa)
e_xx	ϵ_{xx}	Deformación en la dirección de la tensión principal de fatiga
e_yy	ϵ_{yy}	Deformación en la dirección de profundidad de la grieta
e_zz	ϵ_{zz}	Deformación en la dirección normal al plano xy
e_xy	ϵ_{xy}	Deformación tangencial en el plano xy
e_xz	ϵ_{xz}	Deformación tangencial en el plano xz
e_yz	ϵ_{yz}	Deformación tangencial en la dirección yz

En caso de que el usuario haya seleccionado una carpeta no válida al cargar los datos de tensiones y deformaciones. El usuario será informado a través de un mensaje de error como el que se muestra en la figura 3.35.

**Figura 3.25** Mensaje de error de carga de datos.

3.5 Pestaña de Cálculo

Una vez introducidos todos los datos de tensiones y deformaciones en la pestaña **Datos** 3.4, estamos en disposición de calcular la estimación de vida a fatiga.

Esta pestaña está formada por cuatro cuadros que tendrán diferentes funciones. En la figura 3.26 se muestra una captura de esta pestaña.

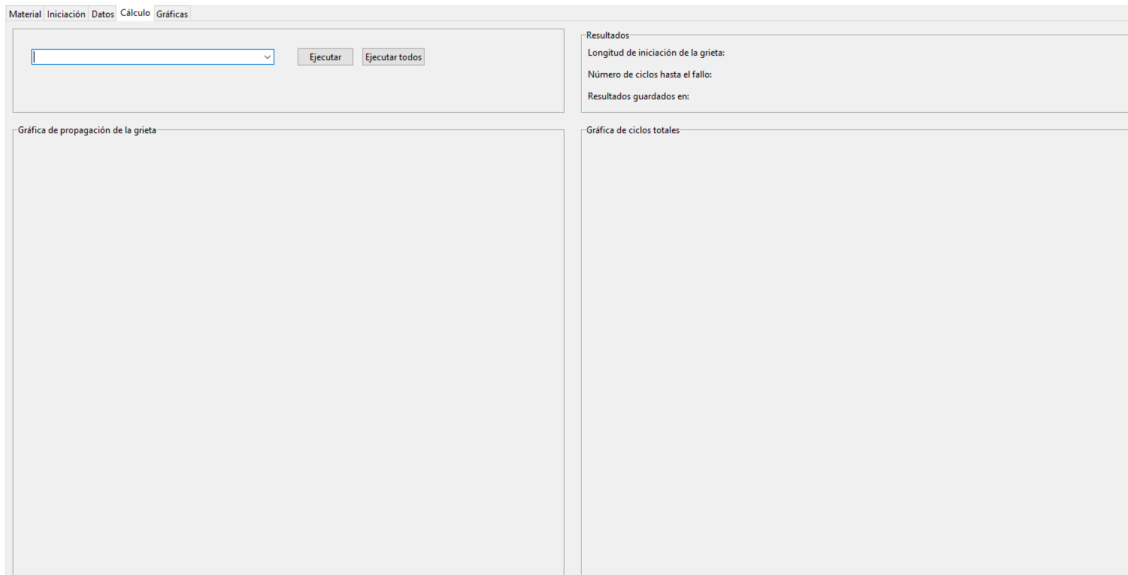


Figura 3.26 Captura de la pestaña Cálculo sin ejecutar.

El cuadro superior izquierdo está formado por una lista y dos botones. Esta lista contendrá el nombre de los datos de tensiones y deformaciones que añadimos anteriormente en la pestaña **Datos** si éstos han sido añadidos correctamente. La lista es rellenada automáticamente desde la pestaña **Datos** o desde el menú **Archivo**, pulsando en la opción **Abrir datos experimentales**. En caso contrario, esta lista estará vacía. En la figura 3.27 se muestra una captura de la lista con los nombres de los datos.

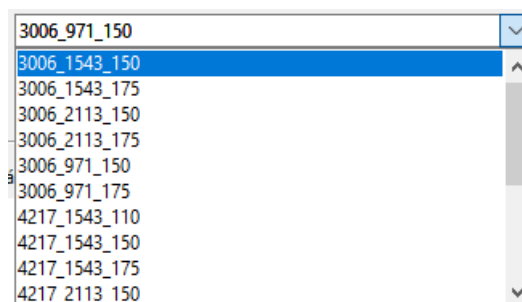


Figura 3.27 Lista de nombre de los datos.

Para realizar el cálculo de la estimación de vida a fatiga para unos datos específicos de la lista, el usuario debe presionar el botón **Ejecutar** situado en el mismo cuadro. El usuario debe tener en cuenta que el criterio de iniciación seleccionado en la pestaña **Iniciación** 3.3 y las propiedades del material seleccionadas en la pestaña **Material** 3.2 serán los utilizados para el cálculo. Los resultados y los parámetros de este cálculo serán añadidos al archivo llamado *resultados.xlsx* dentro de la carpeta *resultados_generales*, que tendrá una apariencia como la que se muestra en la figura 3.28.

El cálculo puede llevar varios minutos. Una vez realizado el cálculo, se producirán modificaciones en los demás cuadros.

	A	B	C	D	E	F	G	H
1	exp_id	param	N_t_min	N_i_min	N_p_min	N_i_perc	N_p_perc	a_inic(mm)
2	3006_1543_150	SWT	29882.1551	1402.001527	28480.15353	4.69176846358512%	95.30823153641	0.06
3	3006_1543_175	SWT	19428.1368	1207.035856	18221.10096	6.2128235317774%	93.78717646822	0.07
4	3006_971_150	SWT	47695.073	1127.954988	46567.118	2.364929787196029%	97.63507021280	0.05
5								
6								
7								
8								
9								

Figura 3.28 Excel de resultados.

Primero, el cuadro inferior izquierdo, denominado **Gráfica de propagación de la grieta** contendrá una figura que represente la propagación de la grieta en función del número de ciclos. Esta gráfica es la resultante de la suma de la contribución de los ciclos de iniciación y propagación a propagación total de la grieta. En la figura 3.29 se muestra una captura de este cuadro después del cálculo, donde se observa que hasta un cierto número de ciclos el crecimiento de la grieta estable, en este punto la grieta crece de forma más rápida hasta que se produce el fallo del material.

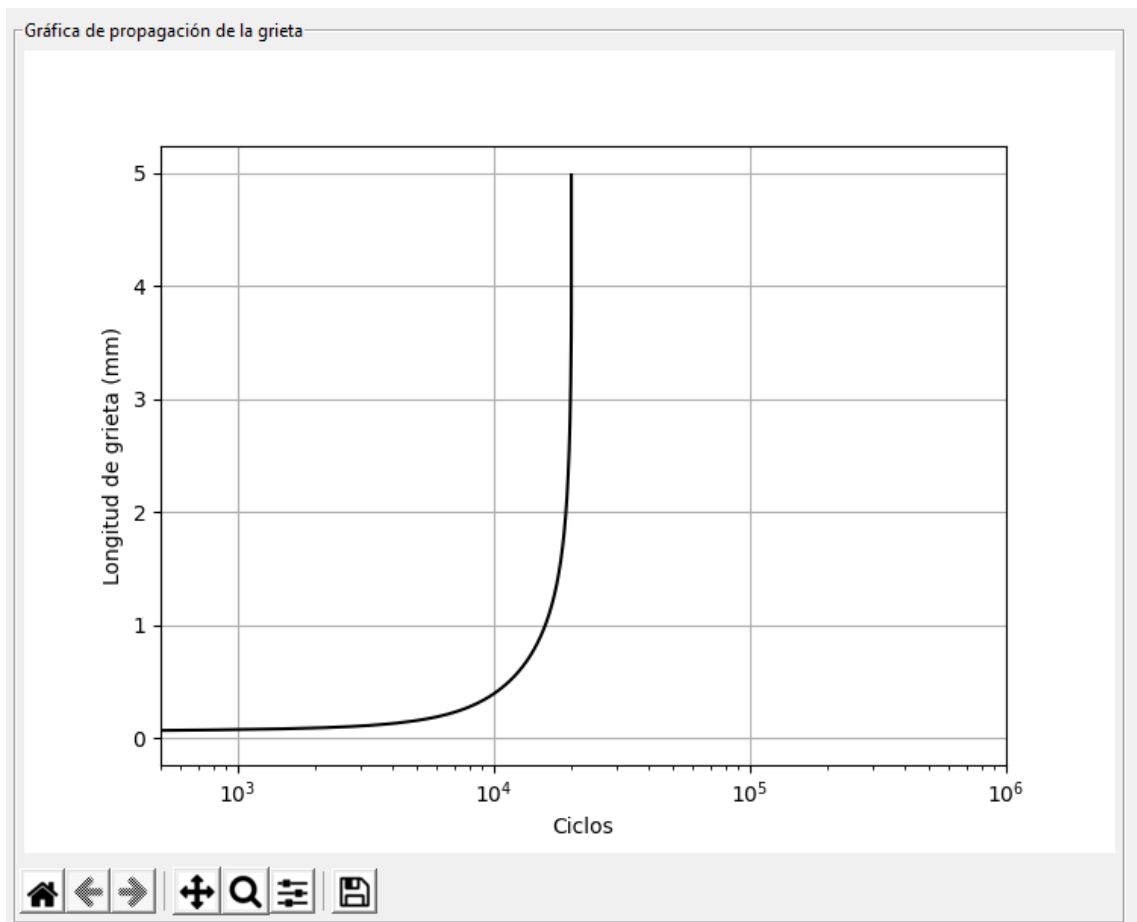


Figura 3.29 Cuadro de Gráfica de propagación de la grieta para unos datos específicos.

Segundo, el cuadro superior derecho, llamado **Resultados** contendrá los resultados del cálculo de forma numérica e indicará al usuario donde se guardaron los mismos. En la figura 3.30 se puede ver una captura de este cuadro tras la realización de los cálculos. Los resultados de la longitud de iniciación y el número de ciclos totales son añadidos al excel que se encuentra en la carpeta *resultados_generales* y que se denomina *resultados.xls*.



Figura 3.30 Cuadro de Resultados tras el cálculo de unos datos específicos.

Por último, el cuadro inferior derecho, denominado **Gráfica de ciclos totales**, contendrá los resultados gráficos de la estimación de vida a fatiga para unos determinados datos seleccionados en la lista. En la figura se muestra una captura de este cuadro tras la realización de los cálculos 3.31.

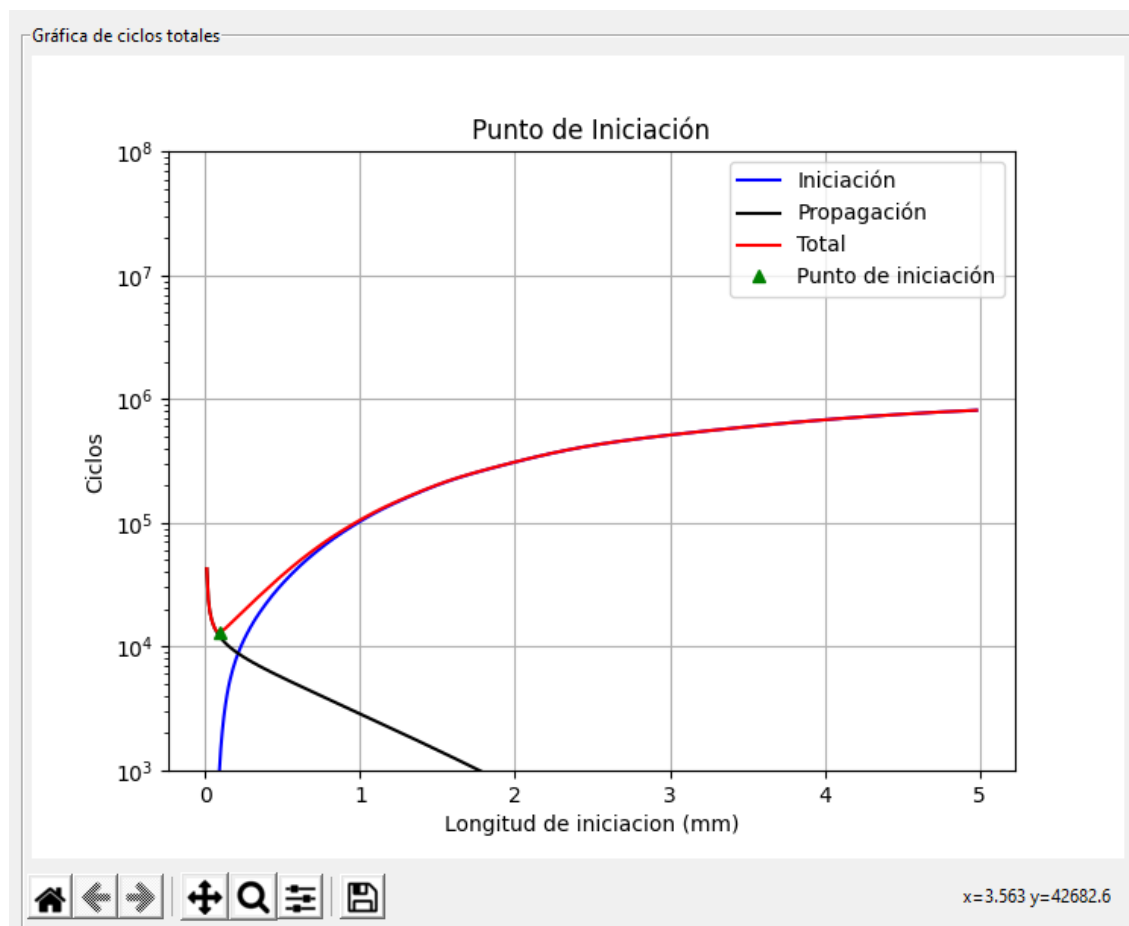


Figura 3.31 Cuadro de Gráfica de ciclos totales tras el cálculo de unos datos específicos.

Como ya hemos visto, el cuadro superior izquierdo tiene otro botón llamado **Ejecutar todos**. Este botón ejecuta el cálculo para todos los elementos de la lista de una vez para un criterio de

iniciación y un material específicos. Sin embargo, esta acción puede llevar horas en completarse si el número de elementos de la lista es elevado. Por ello, el usuario es advertido mediante un mensaje emergente advirtiéndolo del tiempo de ejecución que podría llevar la acción. El mensaje que aparecerá en pantalla, como el que se muestra en la figura 3.32, preguntará al usuario si está seguro de ejecutar los cálculos para todos los elementos.

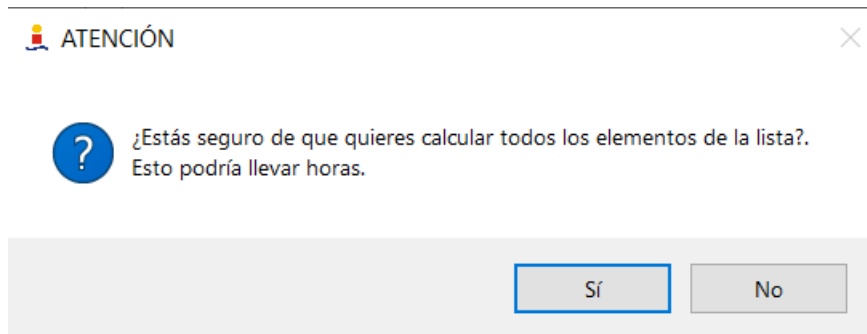


Figura 3.32 Mensaje de advertencia al ejecutar todos los cálculos.

Los resultados de ejecutar todos los cálculos son guardados automáticamente en las carpetas donde se encuentra el directorio principal. Para el caso de la gráfica de ciclos totales, las gráficas serán guardadas dentro de la carpeta `\resultados\grafs\CRITERIO` la carpeta y para el caso de los resultados numéricos, éstos serán guardados en la carpeta `\resultados\datos\CRITERIO` donde CRITERIO puede ser SWT para el criterio de Smith-Watson-Topper o FS para el criterio de Fatemi-Socie.

Tras pulsar este botón los resultados se pueden ir visualizando en las diferentes gráficas de la pestaña. En el caso de la **Gráfica de ciclos totales**, los resultados se van sustituyendo por los nuevos, de forma que sólo son visibles mientras se está el realizando un cálculo de un elemento de la lista. En cambio, en la **Gráfica de propagación de la grieta** los resultados se irán imprimiendo y podrán visualizarse todos a la vez. Un ejemplo de esta gráfica se muestra en figura 3.33.

Si el usuario ha introducido todos los datos y parámetros necesarios no se deberían producir errores en el cálculo de la estimación de vida a fatiga. En cambio se producirán errores si se dan diferentes circunstancias.

Por una parte, si el usuario ha olvidado especificar el material, éste será informado mediante un mensaje de error como el que se muestra en la figura 3.18 y el que cálculo no se podrá realizar hasta que no se especifique el material.

Por otra parte, si el usuario no ha cargado los resultados de las curvas de iniciación de la pestaña **Iniciación** o bien no ha comprobado que las curvas ya está realizadas con anterioridad, éste será informado con un mensaje de error como el que se muestra en la figura 3.34.

El último error que se puede producir, es que el usuario pulse el botón de **Ejecutar** sin haber cargado los datos de tensiones y deformaciones de correctamente. El usuario será advertido del error mediante un mensaje emergente como el que se muestra en la figura 3.35.

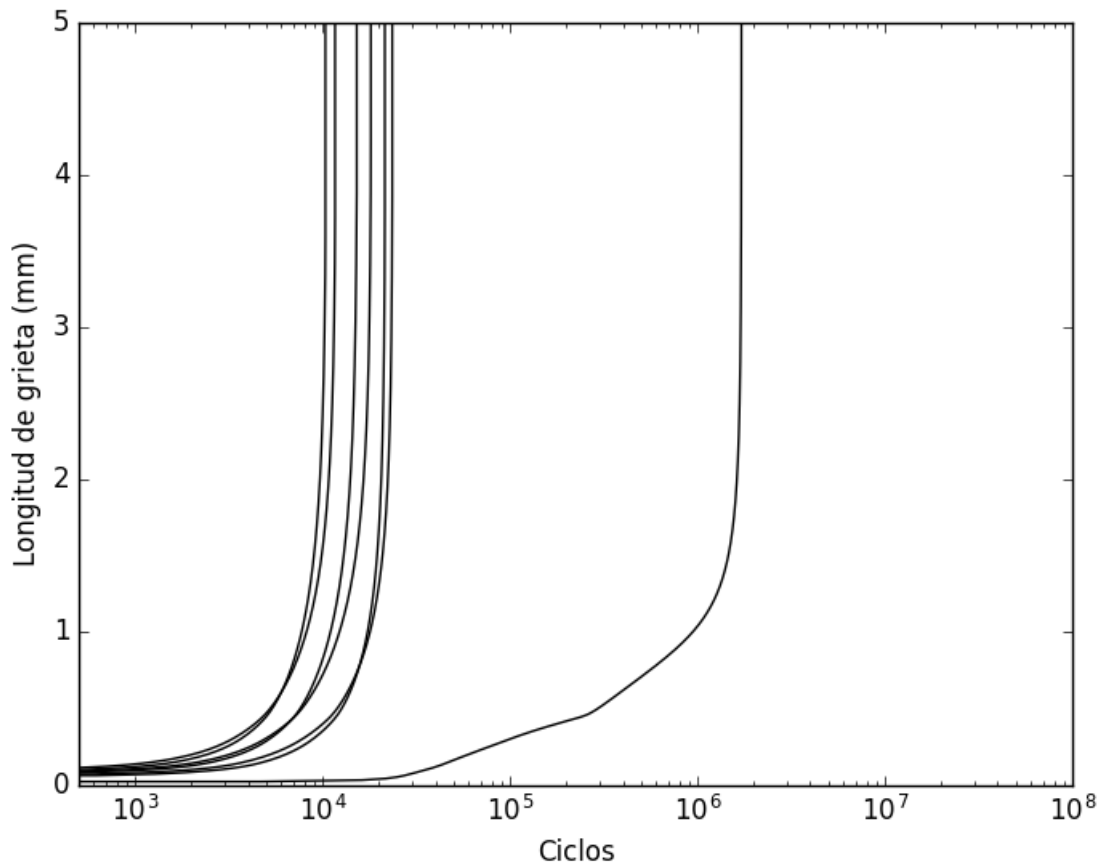


Figura 3.33 Ejemplo de curvas $a-N_f$ con todos los datos de la lista[14].

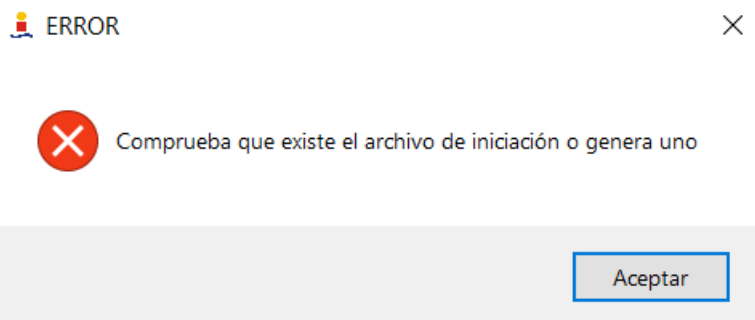


Figura 3.34 Mensaje de error de que no se ha especificado el archivo de iniciación.

3.6 Pestaña de Gráficas

En esta última pestaña, se podrán visualizar diferentes gráficas interesantes tras obtener los resultados del cálculo de estimación de vida a fatiga. Esta pestaña sólo tiene dependencia con la pestaña **Iniciación**, ya que el usuario debe seleccionar el criterio de fatiga multiaxial (FS o SWT). A primera vista, esta pestaña tiene una apariencia como la que se muestra en la figura 3.36.

Como se observa en la figura 3.36 esta pestaña está formada por cuatro cuadros diferentes que muestran diferente información.

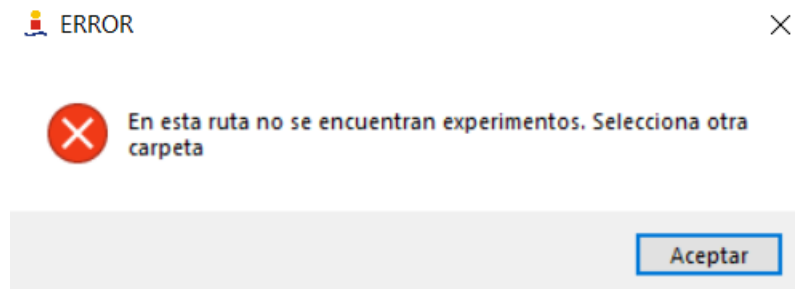


Figura 3.35 Mensaje de error en la carga de datos.

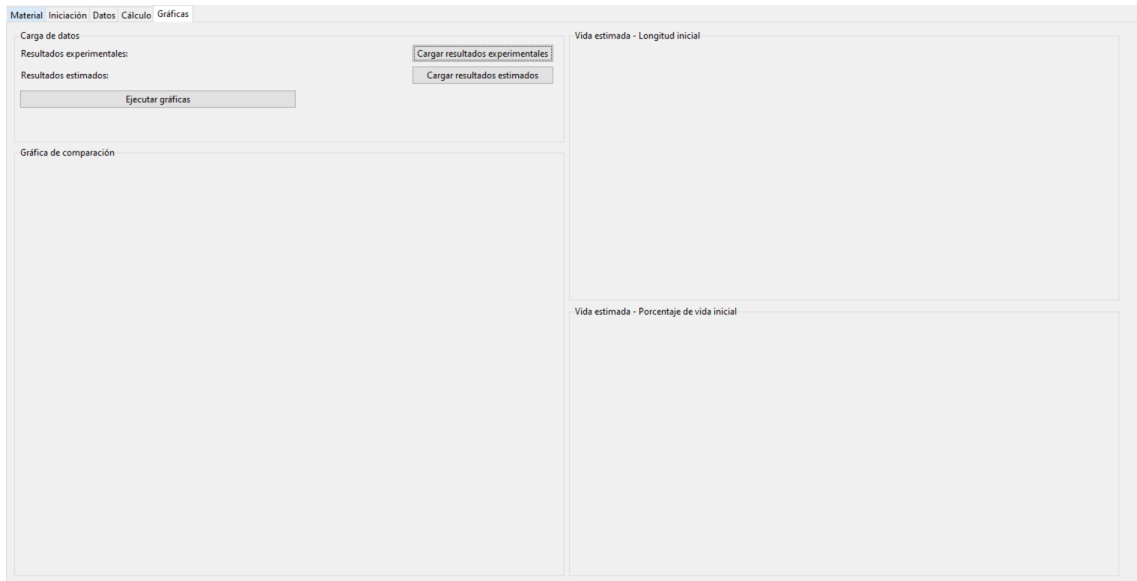


Figura 3.36 Captura de la pestaña Gráficas antes de realizar ninguna acción.

Por una parte, tenemos el cuadro superior izquierdo, denominado **Carga de datos**. Este cuadro se utiliza para pedir al usuario los datos experimentales y los estimados tras el cálculo. Los resultados experimentales se cargan pulsando en el botón **Cargar resultados experimentales** y los resultados estimados se cargan pulsando en el botón **Cargar resultados estimados**. El usuario tendrá que seleccionar los archivos en las ventanas de diálogo para los resultados experimentales y para los resultados estimados. Los archivos válidos para los resultados experimentales están en formato *.dat*, mientras que los resultados estimados pueden estar en los formatos *.dat* y *.xlsx*. En las figuras 3.37 y 3.38 se muestran una captura de ambas ventanas de diálogo.

El usuario puede comprobar que se han cargado los archivos seleccionados en el presente cuadro, ya que se indica las rutas donde se encuentran los correspondientes archivos seleccionados, como se muestra en figura 3.39.

Si los archivos que ha seleccionado el usuario son correctos, el usuario puede mostrar las gráficas de los demás cuadros pulsando en el botón **Ejecutar gráficas**. Tras pulsar este botón, los cuadros restantes se modificarán.

El cuadro de mayor tamaño, situado en la parte inferior izquierda y llamado **Gráfica de comparación**, contendrá una gráfica comparando los resultados experimentales con los resultados estimados. En el eje X se representa la vida estimada mientras que en el eje Y se representa la vida experimental. La recta roja representan los puntos de equivalencia entre la vida experimental y la

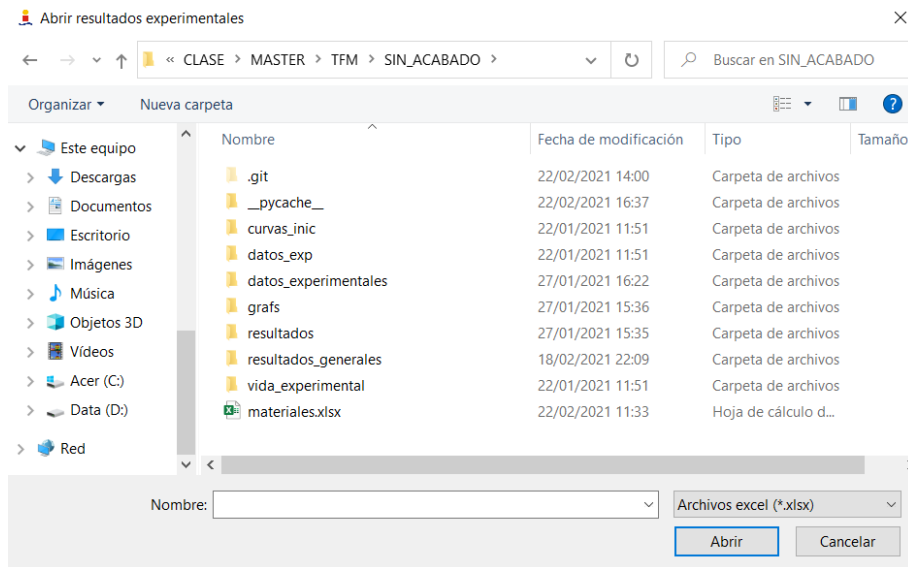


Figura 3.37 Captura de la ventana para abrir resultados experimentales.

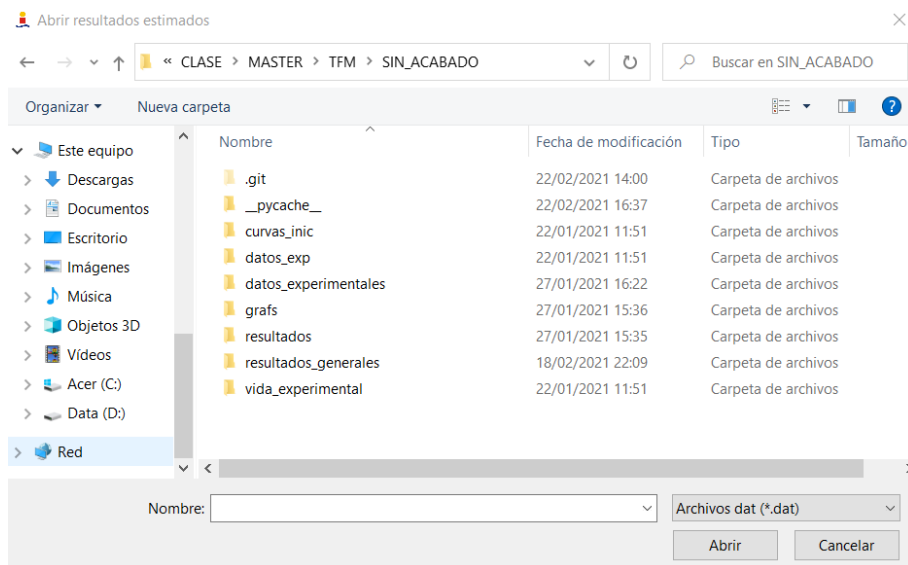


Figura 3.38 Captura de la ventana para abrir resultados estimados.

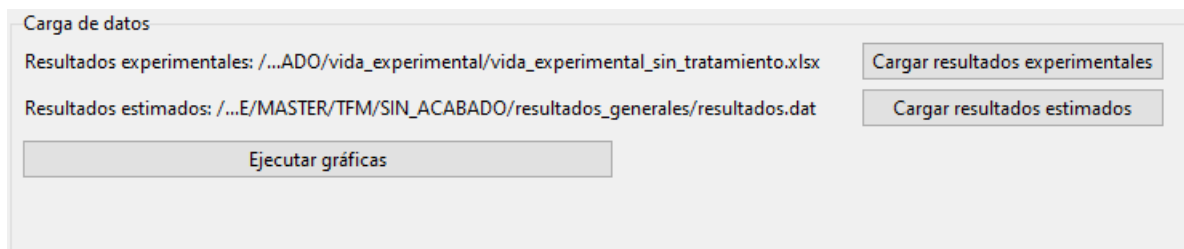


Figura 3.39 Cuadro de carga de datos tras seleccionar los archivos.

vida estimada, la recta verde representa la recta de regresión de los datos, y las rectas amarillas representa el doble y la mitad de la vida. Estas rectas nos permiten conocer si el modelo teórico de estimación de vida a fatiga es válido. En la figura 3.40, se muestra una captura de este cuadro para unos archivos seleccionados.

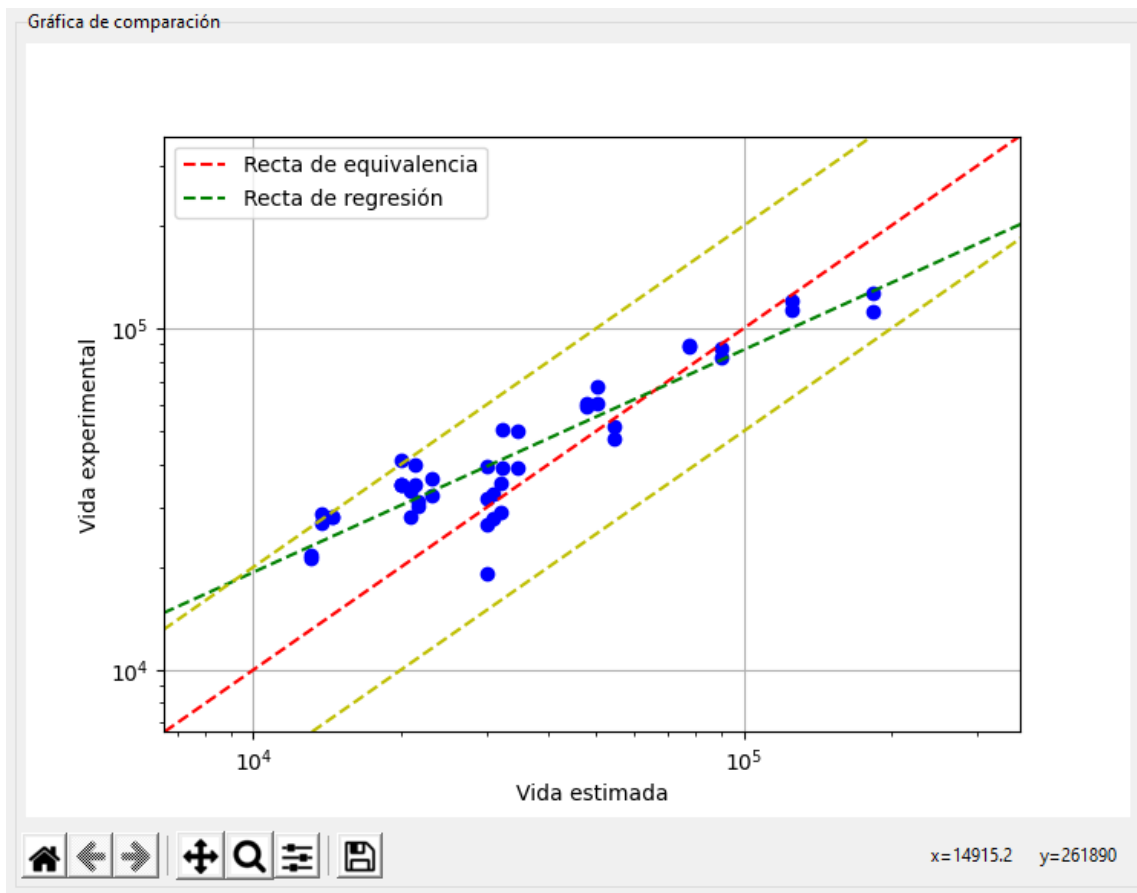


Figura 3.40 Cuadro de la Gráfica de comparación.

El cuadro situado en la parte superior derecha se denomina **Vida estimada- Longitud inicial**. En este cuadro se representa la gráfica que representa la longitud de grieta de iniciación con respecto a los ciclos. Este cuadro hace uso exclusivamente de los resultados estimados. En la figura 3.41 se muestra un ejemplo de esta gráfica con los resultados estimados seleccionados.

El cuadro situado en la parte inferior derecha se denomina **Vida estimada- Porcentaje de vida inicial**. En este cuadro se presenta la gráfica que relaciona el porcentaje que representa la fase de iniciación en la vida de la grieta con respecto a la vida estimada en ciclos. Al igual del cuadro anterior, este cuadro únicamente hace uso del archivo de resultados estimados. En la figura 3.41 se muestra un ejemplo de esta gráfica con los resultados estimados seleccionados.

En el caso de que los archivos no sean correctos, se producirán errores. Estos errores pueden deberse a dos razones fundamentalmente.

La primera de ellas es que el archivo no sea el correcto, ya sea por confusión o porque la extensión no sea la correcta.

La segunda razón es que los archivos que contienen los resultados experimentales no contengan la misma cantidad de elementos, por lo que no se pueden comparar.

La tercera razón, es que el formato de los datos almacenados no sea el correcto. El archivo de resultados estimados debe estar en el mismo formato que el se muestra en la figura 3.28.

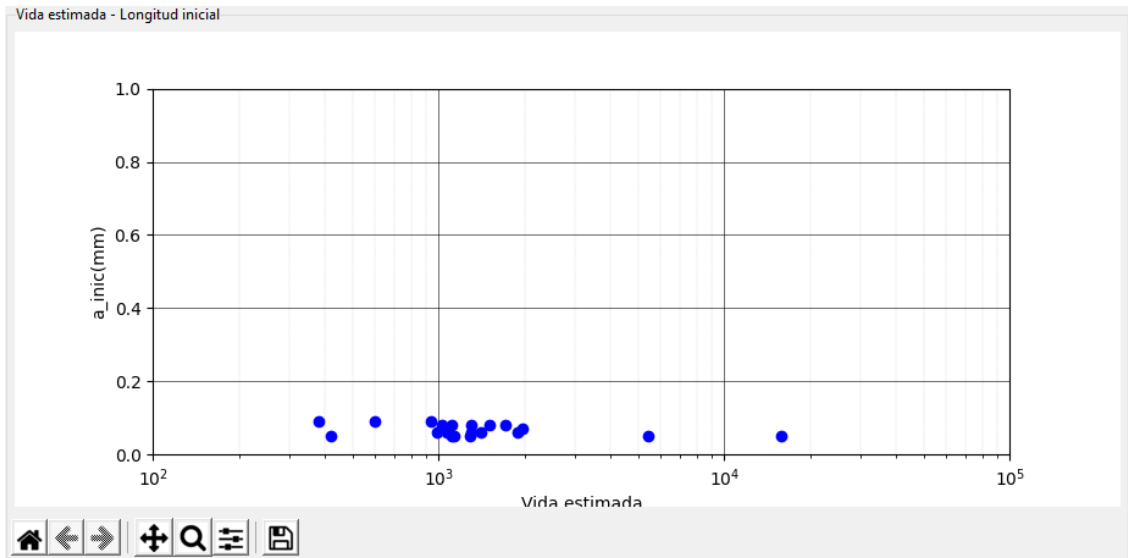


Figura 3.41 Cuadro de gráfica de longitud de iniciación y vida estimada.

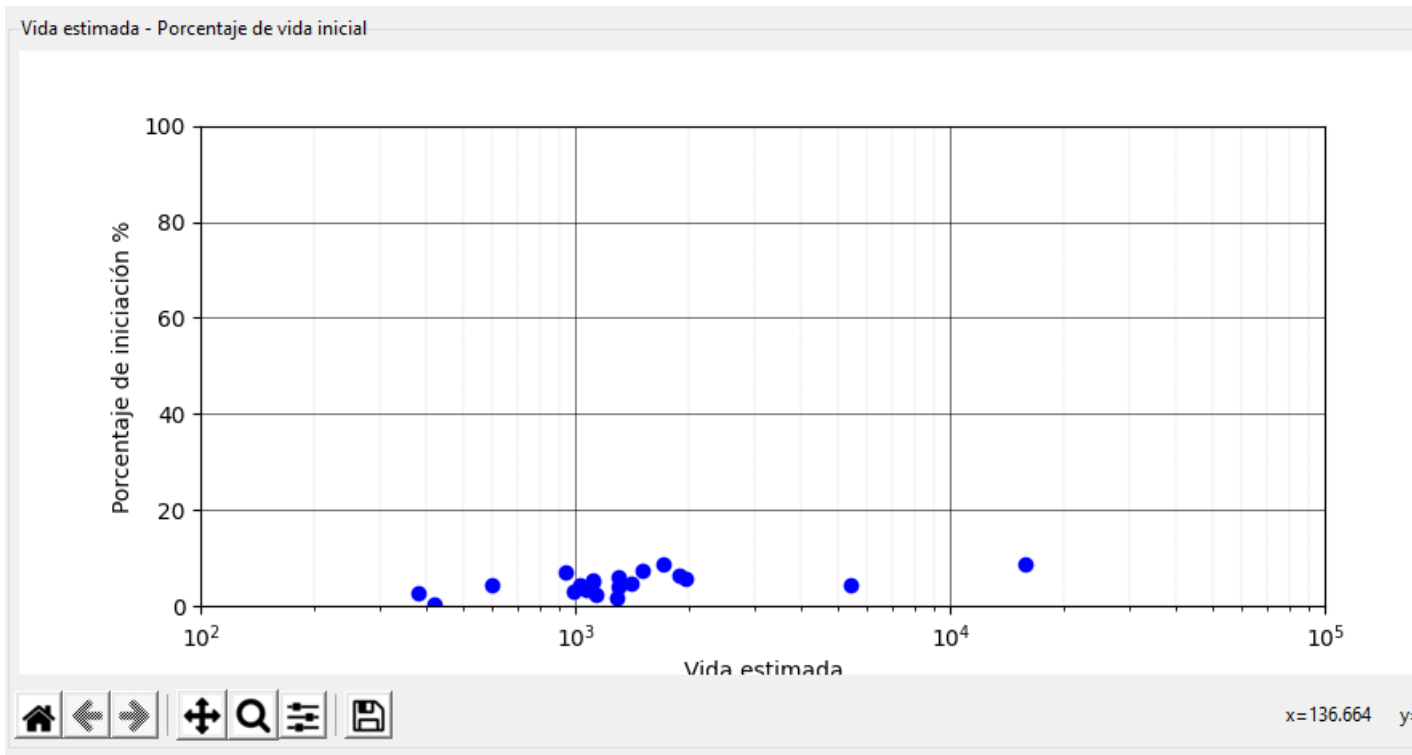


Figura 3.42 Cuadro de gráfica de porcentaje de vida de iniciación y vida estimada.

Estos errores se mostrarán en un mensaje emergente al usuario, como el que se muestra en la figura.

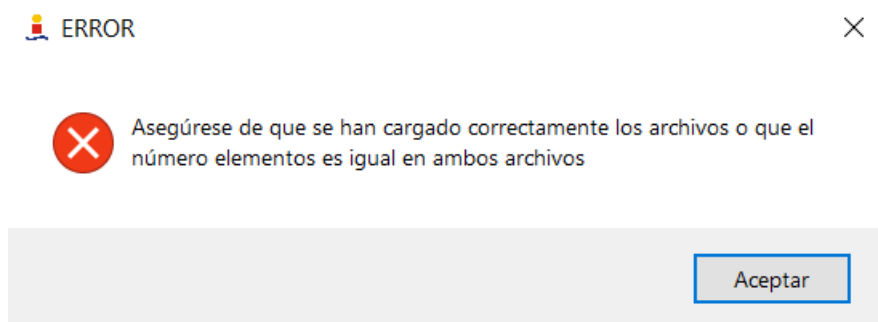


Figura 3.43 Mensaje de error en la carga de archivos experimentales y estimados.

4 Conclusiones

Se puede afirmar que el desarrollo de este software de interfaz gráfica de usuario se ha cumplido de forma satisfactoria. Teniendo en cuenta que el conocimiento sobre el desarrollo de software GUI en lenguaje Python era limitado al inicio del trabajo, se ha conseguido desarrollar un programa que ha cumplido con creces las expectativas que se tenían en el comienzo. Por tanto el trabajo ha supuesto un doble desafío personal. Por una parte, la necesidad de aprender y conocer los fundamentos teóricos de la fatiga y en concreto, la producida por esfuerzos multiaxiales. Por otra parte, la formación continua en el desarrollo de software de interfaz gráfica.

Como cualquier otro diseño de cualquier programa de ordenador, existen multitud de variantes e ideas con las que se pueden trabajar. Por tanto, cada desarrollador podría diseñar este mismo programa con una disposición y funciones diferentes pero cuyas funcionalidades fueran las mismas. Este programa, ha sido diseñado dentro de unas capacidades y conocimientos que yo poseía en el momento de su desarrollo. De esta forma, como trabajo futuro, podría modificarse, mejorarse e implementar nuevas funcionalidades que mejoren la experiencia de usuario. Este trabajo, podría ser un punto de inicio para un futuro trabajo de fin de grado o máster en el que se mejore, se traten los errores ocultos y se haga más profesional el software de forma que permita, incluso, su comercialización.

Desde el punto de vista personal, como he mencionado en el primer párrafo, la realización de este trabajo de fin de máster, ha supuesto para mí, el poder desarrollar mis habilidades en la programación en lenguaje Python, adquiridas de forma independiente al Máster de Ingeniería Aeronáutica. Además de lo anterior, también ha supuesto el aprendizaje de conceptos que no se ven con demasiada profundidad dentro de esta rama de la ingeniería como es la fatiga, presente en multitud de accidentes e incidentes aéreos.

Por último, quería destacar la necesidad de introducir en los estudios de ingeniería actuales asignaturas que fomenten y enseñen lenguajes de programación sea cual sea, no sólo en aquellos estudios relacionados con la informática. La necesidad de automatización de procesos y cálculos es bastante mayor hoy en día de lo que lo era hace unos años. Además el aprendizaje de un lenguaje de programación ayuda al alumno a comprender mejor los conceptos teóricos, ya que tiene que buscar la forma de crear un algoritmo que resuelva un problema en cuestión.

Apéndice A

Códigos utilizados para el desarrollo del programa

En este anexo se adjuntan todos los códigos escritos en lenguaje Python que han sido utilizados para el desarrollo del programa. En la figura A.1 se muestra un esquema en el que se ven las dependencias de unos códigos con otros y en qué pestañas se utilizan.

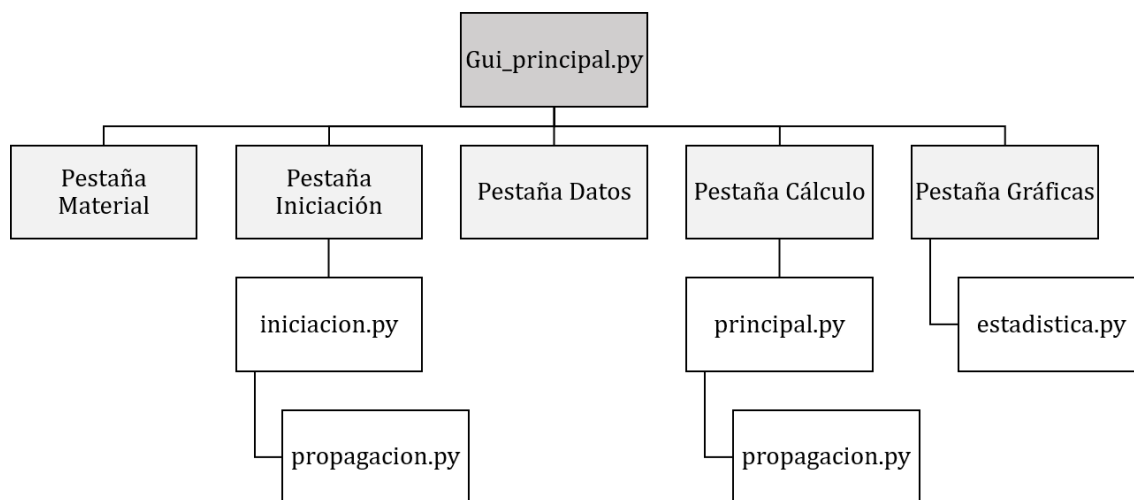


Figura A.1 Esquema de códigos del programa.

Como se observa en la figura A.1, las pestañas Material y Datos no dependen de ningún código ya que su función es únicamente la de suministrar los datos necesarios.

La pestaña Iniciación requiere hacer uso de las funciones del archivo *iniciacion.py* para obtener las curvas de iniciación, este archivo requiere de las funciones presentes en el archivo *propagacion.py* las cuales se utilizan para calcular la vida total hasta una cierta longitud de grieta.

La pestaña Cálculo requiere hacer uso de las funciones que se encuentran dentro del archivo *principal.py*, las cuales realizan el cálculo de la estimación de vida a fatiga teniendo en cuenta los datos de las curvas de iniciación generados previamente. Este archivo no requiere del archivo *iniciacion.py*, pero sí de las funciones dentro del archivo *propagacion.py*.

Por último, la pestaña Gráficas hace uso exclusivo de las funciones del archivo *estadistica.py* para realizar las diferentes figuras que se encuentran en esta pestaña.

A.1 Código de implementación de la aplicación GUI

Código A.1 Código de implementación del software de interfaz gráfica.

```

1  # -*- coding: utf-8 -*-
2  """
3  Created on :19/02/2021
4
5  @author: David García Serrano
6  """
7  ###Importacion de módulos
8  import os
9  import tkinter as tk
10 from tkinter import ttk
11 import numpy as np
12 from iniciacion import curvas_iniciacion
13 from principal import *
14 from estadistica import*
15 import matplotlib.pyplot as plt
16 from matplotlib.backends.backend_tkagg import FigureCanvasTkAgg,
    NavigationToolbar2Tk
17 import pandas as pd
18 import re
19
20 class programa(tk.Tk):
21     def __init__(self):
22         super().__init__()
23         ###Configuración de inicio
24         self.title("Cálculo de Fatiga")
25         self.state("zoomed")
26         self.geometry("800x600+10+10")
27         self.iconbitmap("icon.ico")
28         self.protocol("WM_DELETE_WINDOW", self.preguntar_salir)
29
30         ### variables
31
32         self.props = ["C","n","f","l_0","K_th","sigma_fl","a_0","K_IC","
            sigma_y","sigma_f","E","nu","b","G"]
33         self.units = ["", "", "", "m", "MPa m0.5", "MPa", "m", "MPa m0.5", "
            MPa", "MPa", "MPa", "", "", "MPa"]
34         self.dict_prop = {}#Diccionario con los valores del material
35         self.mat_values ={}
36         self.material = "" #Material elegido en el combobox de material
37         self.dict_units = dict(zip(self.props,self.units))
38
39         self.N_i=[] #vector con N_i
40         self.n_a=1 #número de longitudes de grieta
41         self.v_sigma=[] #vector de tensiones
42         self.par = "" #parámetro

```

```

43     self.W =0.0    #anchura
44     self.da =0.0  #paso de grieta
45     self.ini_file ="" #Ubicación de archivo de iniciación
46     self.df =pd.DataFrame() #Dataframe de iniciación
47     self.df_materiales =pd.DataFrame() #Dataframe de materiales
48
49     self.dir_exp ="" #Directorio de datos de tensiones y
        deformaciones
50     self.files_exp =[] #Lista de datos de tensiones y deformaciones
51     self.file_path ="" #ubicación de los datos
52
53     self.lista_exp =[] #Lista de experimentos sin especificar
        traccion o compresión
54     self.df_datos =pd.DataFrame()
55
56     self.ubi_dat_exp ="" #ubicación de los datos experimentales para
        pestaña gráficas
57     self.ubi_dat_est ="" #ubicación de los datos estimados para
        pestaña gráficas
58     self.ruta_principal = os.getcwd() #ruta de ejecución principal
59
60
61     for prop in self.props:
62         self.mat_values[prop] = tk.StringVar()
63
64     ### Menu
65     self.menu = tk.Menu(self)
66     self.file_menu = tk.Menu(self.menu, tearoff=0)
67     self.file_menu.add_command(label="Nuevo",command= self.
        abrir_nuevo)
68     self.file_menu.add_command(label="Seleccionar nueva carpeta",
        command= self.seleccionar__nueva_carpeta)
69     self.file_menu.add_command(label="Seleccionar carpeta existente",
        command= self.seleccionar_carpeta)
70     self.file_menu.add_separator()
71     self.file_menu.add_command(label="Abrir datos experimentales",
        command=self.carga_datos)
72     self.file_menu.add_command(label="Abrir resultados de iniciación
        ",command=self.abrir_resultados_iniciacion)
73     self.file_menu.add_separator()
74     self.file_menu.add_command(label="Salir", command=self.
        preguntar_salir)
75     self.menu.add_cascade(label="Archivo", menu=self.file_menu)
76     self.menu.add_command(label="Acerca de",command =self.
        mostrar_info)
77
78     self.config(menu=self.menu)
79
80     #Pestañas

```

```

81     self.pestanas = ["Material","Iniciación","Datos","Cálculo","Gráficas"]
82     self.tabControl = ttk.Notebook(self)
83     self.tabs = {}
84     for pestana in self.pestanas:
85         self.tabs[pestana] = ttk.Frame(self.tabControl)
86
87         self.tabControl.add(self.tabs[pestana], text =pestana)
88
89     self.tabControl.pack(expand=1,fill= "both")
90
91     #Label Frame de propiedades del material
92     props_lf = ttk.Labelframe(self.tabs["Material"],text = "
93         Propiedades")
94     props_lf.grid(column = 0,row =0,padx =20,pady=30)
95
96     # props_lf.place(width=180,height=500)
97     self.props_entries = {}
98     for prop in self.props:
99         self.props_entries[prop] = ttk.Entry(props_lf,textvariable =
100             self.mat_values[prop],width = 20,justify = "right",font
101             =("Arial",10))
102     props_labels = [ttk.Label(props_lf,text = f"{p}({self.dict_units
103         [p]})",font =("Arial",10)) for p in self.props]
104     self.props_entries["C"].focus_set()
105     self.props_entries["G"].config(state=tk.DISABLED)
106     self.props_entries["a_0"].config(state=tk.DISABLED)
107
108     for i,prop in enumerate(self.props):
109         self.props_entries[prop].grid(column = 1, row = i, padx = 5,
110             pady = 5,sticky=tk.W)
111         props_labels[i].grid(column = 0, row = i, padx = 8,pady = 5,
112             sticky= tk.W)
113
114     #Botones de las propiedades
115     self.boton_borrar = ttk.Button(props_lf,width = 20,text="Borrar
116         todo",command = self.borrar_campos)
117     self.boton_borrar.grid(column = 0,row =len(self.props),padx =5,
118         pady =5,sticky= tk.W)
119     self.boton_guardar= ttk.Button(props_lf,text="Confirmar",width
120         =20,command = lambda: self.guardar_campos(None))
121     self.boton_guardar.grid(column = 1,row =len(self.props),padx =5,
122         pady =5,sticky= tk.W)
123     self.tabs["Material"].bind("<Return>",self.guardar_campos)
124
125     #Guardar y borrar material
126     self.btn_guardar_material = ttk.Button(props_lf,width =20, text
127         = "Guardar Material", command = self.guardar_material)
128     self.btn_borrar_material = ttk.Button(props_lf,width =20, text =
129         "Borrar Material",command = self.borrar_material)

```

```

118     self.btn_guardar_material.grid(column =1, row = len(self.props)
119         +1, padx = 5, pady =5,sticky= tk.W)
120
121     #combobox
122     self.comb_val = []
123     self.cargar_materiales()
124
125     self.combo_mat = ttk.Combobox(props_lf,width = 30,value =self.
126         comb_val,font =("Arial",12,"bold"))
127     self.combo_mat.bind("<<ComboboxSelected>>",self.combosel)
128     self.combo_mat.grid(column = 0, row = len(self.props)+2,
129         colspan=2,padx = 5, pady = 8)
130
131     ### Label Frame del resumen
132     self.resum_lf =ttk.Labelframe(self.tabs["Material"],text = "
133         Resumen")
134     self.resum_lf.grid(column = 1,row =0,padx =20,pady=30,sticky=tk.
135         NW)
136
137     self.intro_resumen = ttk.Label(self.resum_lf, text = "Datos que
138         se van a utilizar para la realización de los cálculos:",font
139         = ("Arial",12))
140     self.intro_resumen.grid(column = 0, row =0,padx = 20)
141
142     self.resum_label ={}
143
144     for i,prop in enumerate(self.props):
145         self.resum_label[prop] = ttk.Label(self.resum_lf,text = prop+
146             ": ",font =("Arial",12,"bold"))
147         self.resum_label[prop].grid(column = 0,row =i+1, padx = 5,
148             pady = 5,sticky=tk.W)
149
150     ### Pestaña de Iniciación
151     self.vars_iniciacion_frame = ttk.Labelframe(self.tabs["Iniciació
152         n"],text ="Variables para el cálculo de la iniciación",width
153         =1200,height= 600)
154     self.vars_iniciacion_frame.place(relx= 0.01,rely =0.01,relwidth
155         =0.975,relheight=0.25)
156
157     self.var_param = tk.StringVar()
158     self.var_param.set("SWT")
159
160     self.ac_param = tk.StringVar()
161     self.ac_param.set("eliptica")
162
163     self.CB_param_SWT =ttk.Radiobutton(self.vars_iniciacion_frame,
164         text ="\tSWT",variable= self.var_param,value="SWT")

```

```
153 self.CB_param_SWT.grid(column = 0, row= 0 , columnspan= 2,pady =
    5, padx = 5,sticky = tk.W)
154 self.CB_param_FS =ttk.Radiobutton(self.vars_iniciacion_frame,
    text ="\tFS",variable = self.var_param,value="FS")
155 self.CB_param_FS.grid(column = 0, row= 1 , columnspan= 2,pady =
    5, padx = 5,sticky = tk.W)
156
157 self.W_entry = ttk.Entry(self.vars_iniciacion_frame,width = 6,
    justify=tk.RIGHT,font =("Arial",10))
158 self.W_entry.grid(column = 2, row =0, sticky= tk.W,padx=20,pady
    =5)
159 self.W_label = ttk.Label(self.vars_iniciacion_frame,text = "W(m)
    ",font =("Arial",10))
160 self.W_label.grid(column =3, row = 0, sticky= tk.W)
161 self.W_entry.insert(0,"10e-3")
162
163 self.da_entry = ttk.Entry(self.vars_iniciacion_frame,width = 6,
    justify=tk.RIGHT)
164 self.da_entry.grid(column = 2, row =1, sticky= tk.W,padx=20,pady
    =5)
165 self.da_label = ttk.Label(self.vars_iniciacion_frame,text = "da(
    m)")
166 self.da_label.grid(column =3, row = 1, sticky= tk.W)
167 self.da_entry.insert(0,"1e-5")
168
169 self.rb_plana = ttk.Radiobutton(self.vars_iniciacion_frame,text
    ="Grieta plana",variable =self.ac_param, value ="plana")
170 self.rb_plana.grid(column = 4, row = 0, columnspan =2, padx =20,
    pady =5,sticky = tk.W)
171 self.rb_eliptica = ttk.Radiobutton(self.vars_iniciacion_frame,
    text ="Grieta semielíptica",variable =self.ac_param, value ="
    eliptica")
172 self.rb_eliptica.grid(column = 4, row = 1, columnspan =2, padx
    =20, pady =5,sticky = tk.W)
173
174 #boton de probar
175 self.ini_btn = ttk.Button(self.vars_iniciacion_frame,text = "
    Ejecutar iniciación",command =self.ejecutar_curvas)
176 self.ini_btn.grid(column = 0,row=2 ,columnspan=6 ,sticky=tk.W,
    padx = 5, pady = 5)
177
178 #TreeFrame
179 self.tree_frame = tk.LabelFrame(self.tabs["Iniciación"],text = "
    Datos de Iniciación")
180 self.tree_frame.place(relx =0.51,rely =0.27,relwidth=0.475,
    relheight=0.7)
181
182 self.tree_scrollbarx = ttk.Scrollbar(self.tree_frame,orient =tk.
    HORIZONTAL)
```

```
183     self.tree_scrollbary = ttk.Scrollbar(self.tree_frame,orient =tk.
        VERTICAL)
184
185     self.tree_view =ttk.Treeview(self.tree_frame,xscrollcommand =
        self.tree_scrollbarx.set,yscrollcommand =self.tree_scrollbary.
        set)
186
187     self.tree_scrollbarx.pack(side= tk.BOTTOM,fill =tk.X)
188     self.tree_scrollbary.pack(side= tk.RIGHT,fill =tk.Y)
189     self.tree_scrollbarx.config(command =self.tree_view.xview)
190     self.tree_scrollbary.config(command =self.tree_view.yview)
191
192     #chart
193     self.canvas_chart = tk.LabelFrame(self.tabs["Iniciación"],text =
        "gráfica de Iniciación")
194     self.canvas_chart.place(relx =0.01,rely =0.27,relwidth=0.475,
        relheight=0.7)
195
196     ### Pestaña Datos
197
198     #Label frame de datos experimentales
199     self.dat_exp_lf = ttk.LabelFrame(self.tabs["Datos"],text = "
        Datos de tensiones y deformaciones")
200     self.dat_exp_lf.place(relx = 0.01,rely = 0.01,relwidth=0.98,
        relheight=0.12)
201
202     #combobox
203     self.combo_exp = ttk.Combobox(self.dat_exp_lf,width =50)
204     self.combo_exp.bind("<<ComboboxSelected>>",self.sel_exp)
205     self.combo_exp.grid(column = 0, row =0,padx = 5, pady = 5)
206
207     #Boton Cargar datos
208     self.cargar_dat_btn = ttk.Button(self.dat_exp_lf, text = "Cargar
        Datos",command= self.carga_datos)
209     self.cargar_dat_btn.grid(column = 2, row= 0, padx = 5, pady = 5)
210
211     # Label Frame Gráficas
212     self.graf_lf = ttk.Labelframe(self.tabs["Datos"],text = "Grá
        ficas")
213     self.graf_lf.place(relx = 0.01, rely =0.15,relheight=0.85,
        relwidth= 0.48)
214
215     self.graf_frame =tk.Frame(self.graf_lf)
216     self.graf_frame.place(x = 5,rely = 0.16, relheight=0.83,relwidth
        =0.98)
217
218     self.graf_opt_frame = tk.Frame(self.graf_lf,)
219     self.graf_opt_frame.place(x = 5, y = 5, relwidth =0.98,relheight
        =0.15)
220
```

```
221 self.combo_eje_x = ttk.Combobox(self.graf_opt_frame,width =40)
222 self.combo_eje_y = ttk.Combobox(self.graf_opt_frame,width =40)
223 self.combo_eje_x.grid(column =1, row=0, pady = 5, padx = 5)
224 self.combo_eje_y.grid(column =1, row=1, pady = 5, padx = 5)
225
226 self.label_eje_x = ttk.Label(self.graf_opt_frame ,text = "Eje X")
227
228 self.label_eje_y =ttk.Label(self.graf_opt_frame ,text = "Eje Y")
229 self.label_eje_x.grid(column =0, row =0, padx = 5)
230 self.label_eje_y.grid(column =0, row = 1, padx = 5, pady =5)
231
232 self.btn_graf =ttk. Button(self.graf_opt_frame,text = "Actualizar
    ",command =self.actualizar_grafica)
233 self.btn_graf.grid(column = 2, row = 0, rowspan= 2, padx = 5,
    pady = 5)
234
235 # Label Frame Treeview
236 self.dat_tree_lf = ttk.Labelframe(self.tabs["Datos"],text = "
    Datos")
237 self.dat_tree_lf.place(relx = 0.5, rely =0.15,relheight=0.85,
    relwidth= 0.48)
238
239 self.dat_scrollbarx = ttk.Scrollbar(self.dat_tree_lf,orient=tk.
    HORIZONTAL)
240 self.dat_scrollbary = ttk.Scrollbar(self.dat_tree_lf,orient=tk.
    VERTICAL)
241
242 self.dat_tv =ttk.Treeview(self.dat_tree_lf,xscrollcommand = self.
    dat_scrollbarx.set,yscrollcommand =self.dat_scrollbary.set)
243
244 self.dat_scrollbarx.config(command =self.dat_tv.xview)
245 self.dat_scrollbary.config(command =self.dat_tv.yview)
246 self.dat_scrollbarx.pack(side= tk.BOTTOM,fill =tk.X)
247 self.dat_scrollbary.pack(side= tk.RIGHT,fill =tk.Y)
248
249 ### Pestaña Cálculo
250 self.ejec_lf = ttk.Frame(self.tabs["Cálculo"],relief = tk.GROOVE)
251
252 self.ejec_lf.place(x = 10, y = 10,relheight = 0.15,relwidth
    =0.48)
253
254 ## ejecucion
255 self.combo_ejec = ttk.Combobox(self.ejec_lf,width = 50)
256 self.combo_ejec.grid(column = 0, row = 0,padx =25,pady =25,sticky
    =tk.W)
257
258 self.btn_ejec = ttk.Button(self.ejec_lf,text = "Ejecutar",
    command = self.ejecutar_calculo)
```

```
258     self.btn_ejec.grid(column = 1, row =0, padx = 5,pady =25,sticky
        =tk.S)
259
260     self.btn_ejec_todo =ttk.Button(self.ejec_lf,text = "Ejecutar
        todos",command = self.ejecutar_calculo_todo)
261     self.btn_ejec_todo.grid(column = 2, row =0, padx = 5,pady =25,
        sticky =tk.S)
262
263     ## Resultados
264     self.result_ini_lf = tk.LabelFrame(self.tabs["Cálculo"],text = "
        Resultados")
265     self.result_ini_lf.place(relx = 0.5,y =10,relheight = 0.15,
        relwidth =0.48)
266
267     self.lbl_lon_ini = ttk.Label(self.result_ini_lf, text = "
        Longitud de iniciación de la grieta: ",justify =tk.LEFT)
268     self.lbl_lon_ini.pack(padx = 5, pady =5,anchor = tk.W)
269
270     self.lbl_cicl = ttk.Label(self.result_ini_lf, text = "Número de
        ciclos hasta el fallo: ",justify =tk.LEFT)
271     self.lbl_cicl.pack(padx = 5, pady =5,anchor = tk.W)
272
273     self.lbl_ubi = ttk.Label(self.result_ini_lf, text = "Resultados
        guardados en: ",justify =tk.LEFT)
274     self.lbl_ubi.pack(padx = 5, pady =5,anchor = tk.W)
275
276     self.graf_ini_lf = tk.LabelFrame(self.tabs["Cálculo"],text = "Gr
        áfica de propagación de la grieta")
277     self.graf_ini_lf.place(x =10 ,rely =0.18,relheight = 0.8,
        relwidth =0.48)
278
279     self.graf_cicl_lf = tk.LabelFrame(self.tabs["Cálculo"],text = "Gr
        áfica de ciclos totales")
280     self.graf_cicl_lf.place(relx=0.5 ,rely =0.18,relheight = 0.8,
        relwidth =0.48)
281
282     ### Pestaña Gráficas
283     self.carga_graf_lf = ttk.Labelframe(self.tabs["Gráficas"],text =
        "Carga de datos")
284     self.carga_graf_lf.place(x = 10,y =10, relwidth =0.48,relheight
        =0.2)
285
286     self.reg_graf_lf = ttk.Labelframe(self.tabs["Gráficas"],text = "
        Gráfica de comparación")
287     self.reg_graf_lf.place(x = 10, rely =0.22,relwidth =0.48,
        relheight=0.76)
288
289     self.lon_vida_graf_lf =ttk.Labelframe(self.tabs["Gráficas"],text
        = "Vida estimada - Longitud inicial")
```

```
290 self.lon_vida_graf_lf.place(relx =0.49,y = 10,relwidth =0.48,
    relheight = 0.48)
291
292 self.per_vida_graf_lf = ttk.Labelframe(self.tabs["Gráficas"],
    text = "Vida estimada - Porcentaje de vida inicial")
293 self.per_vida_graf_lf.place(relx =0.49,rely =0.50,relwidth =0.48,
    relheight = 0.48)
294
295 ## Carga de datos
296 self.lbl_dat_exp = ttk.Label(self.carga_graf_lf,text = "
    Resultados experimentales: ",width =85)
297 self.lbl_dat_exp.grid(column =0, row=0, padx =5, pady =2,sticky
    =tk.W)
298
299 self.lbl_dat_est =ttk.Label(self.carga_graf_lf,text = "
    Resultados estimados: ",width =85)
300 self.lbl_dat_est.grid(column =0, row =1,padx =5, pady =2,sticky
    =tk.W)
301
302 self.btn_carga_exp =ttk.Button(self.carga_graf_lf,text ="Cargar
    resultados experimentales",width =30,command =self.
    cargar_graf_dat_exp)
303 self.btn_carga_exp.grid(column=1,row =0,padx =5, pady =2,sticky
    =tk.E)
304
305 self.btn_carga_est =ttk.Button(self.carga_graf_lf,text ="Cargar
    resultados estimados",width=30, command = self.
    cargar_graf_dat_est)
306 self.btn_carga_est.grid(column=1,row =1,padx =5, pady =2,sticky
    =tk.E)
307
308 self.btn_ejecuta_graficas= ttk.Button(self.carga_graf_lf,text ="
    Ejecutar gráficas",width=60,command = self.ejecutar_graficas)
309 self.btn_ejecuta_graficas.grid(column =0, row =2, padx =5,pady
    =5,columnspan =2,sticky=tk.W)
310
311 self.mostrar_info()
312
313 ### Funciones
314 def combosel(self,event):
315     """Selecciona un valor de la lista y completa los campos con los
        valores asignados.
        """
316
317     self.material = self.combo_mat.get()
318     cols = self.df_materiales.columns.values.tolist()[1:]
319
320     self.props_entries["a_0"].delete(0,tk.END)
321     self.props_entries["G"].delete(0,tk.END)
322
323     self.props_entries["a_0"].config(state=tk.DISABLED)
```

```

324     self.props_entries["G"].config(state=tk.DISABLED)
325
326     for prop in cols:
327         #Cambiamos lo que hubiera en las entradas por las propiedades del
           material
328         #seleccionado
329         self.props_entries[prop].delete(0,tk.END)
330         self.props_entries[prop].insert(0,self.df_materiales[self.
           df_materiales["Material"]==self.material][prop].values[0])
331
332     def borrar_campos(self):
333         """Elimina los valores de los campos.
334         """
335         for prop in self.props:
336             self.props_entries[prop].delete(0,tk.END)
337
338         self.props_entries["G"].config(state=tk.DISABLED)
339         self.props_entries["a_0"].config(state=tk.DISABLED)
340         self.dict_prop = {}
341         for prop in self.props:
342             self.resum_label[prop].config(text =prop+": ")
343
344     def guardar_campos(self,event):
345         """Guarda los valores en un diccionario que posteriormente se
           utiliza para la realización
346         de los cálculos.
347         """
348         for prop in self.props:
349             #Rellenamos el diccionario con los datos de las entradas
350             try:
351                 self.dict_prop[prop] = float(self.mat_values[prop].get())
352             except ValueError:
353                 #sino son validos no los guardamos y los borramos de las
           entradas
354                 self.props_entries[prop].delete( 0,tk.END)
355
356         #Cambia la configuración de G y a_0 a normal
357         self.props_entries["G"].config(state=tk.NORMAL)
358         self.props_entries["a_0"].config(state=tk.NORMAL)
359
360         #Calculamos los valores de G y a_0 y los insertamos en las
361         #entradas correspondientes.
362         self.dict_prop["G"]=self.dict_prop["E"]/(2.0*(1.0 + self.
           dict_prop["nu"]))
363         self.mat_values["G"].set(self.dict_prop["G"])
364         self.props_entries["G"].insert(0,self.mat_values["G"].get())
365
366         self.dict_prop["a_0"]=1/np.pi*(self.dict_prop["K_th"]/(self.
           dict_prop["sigma_fl"]))**2.0

```

```

367 self.mat_values["a_0"].set(self.dict_prop["a_0"])
368 self.props_entries["a_0"].insert(0,self.mat_values["a_0"].get())
369
370 if len(self.dict_prop)==len(self.props):
371     #Cambia las etiquetas del resumen de los datos si
372     # el diccionario está completo
373     for prop in self.props:
374         self.resum_label[prop].config(text = "{:}\t{:.3e}\t{:".format(prop,self.dict_prop[prop],self.dict_units[prop]
375                                     ))
376
377 def cargar_materiales(self):
378     """Carga los materiales guardados en el excel materiales
379     al inicio del programa
380
381     """
382     #Guardamos los materiales en el dataframe de materiales
383     self.df_materiales = pd.read_excel("materiales.xlsx",index_col=0)
384
385     #Añadimos a la lista de materiales del combobox
386     self.comb_val = list(self.df_materiales["Material"])
387
388 def guardar_material(self):
389     """Guarda las propiedades de un material y lo agrega
390     al combobox de material
391
392     """
393     #Obtenemos el material
394     self.material =self.combo_mat.get()
395
396     #Añadimos el material a la lista de materiales
397     self.comb_val.append(self.material)
398     self.combo_mat.config(values=self.comb_val)
399
400     #Obtenemos las columnas del dataframe de materiales
401     self.df_mat_cols = self.df_materiales.columns.values[1:]
402
403     #Añadimos un diccionario con los datos del material
404     self.datos_materiales ={"Material":self.material}
405
406     try:
407         for prop in self.df_mat_cols:
408             self.datos_materiales[prop] = float(self.props_entries[
409                 prop].get())
410
411         #Añadimos la fila al dataframe y lo exportamos al archivo
412         excel

```

```
411         self.df_materiales= self.df_materiales.append(self.
412             datos_materiales,ignore_index =True)
413         self.df_materiales.to_excel("materiales.xlsx")
414     except ValueError:
415         tk.messagebox.showerror("ERROR","Algún valor no es válido")
416         self.comb_val.pop()
417         self.combo_mat.config(values=self.comb_val)
418
419
420 def borrar_material(self):
421     """Borra un material específico del combobox de materiales
422
423     """
424     #Obtiene el nombre del material
425     self.material =self.combo_mat.get()
426
427     #Elimina del dataframe de materiales el material especificado
428     self.df_materiales = self.df_materiales.drop(self.df_materiales[
429         self.df_materiales["Material"]==self.material].index)
430     self.df_materiales.to_excel("materiales.xlsx")
431
432     #Lo eliminamos de la lista de materiales
433     self.comb_val.remove(self.material)
434     self.combo_mat.config(values=self.comb_val)
435
436     #Borramos todos los campos
437     self.borrar_campos()
438
439 def seleccionar_nueva_carpeta(self):
440     """Selecciona una carpeta nueva y crea las carpetas necerias
441     para guardar los archivos necesarios.
442
443     """
444     #Preguntamos al usuario la carpeta y se cambia a ella
445     self.ruta_principal = tk.filedialog.askdirectory(title = "Abrir
446         carpeta")
447     os.chdir(self.ruta_principal)
448
449     acs_list = ["eliptica","plana"]
450     par_list =["SWT","FS"]
451     opt_list = ["datos","grafs"]
452
453     ruta_curva_inic = os.path.join(self.ruta_principal,"curvas_inic")
454
455     #lista con las rutas de las carpetas
456     lista_path =[]
457     lista_path.append("resultados_generales")
```

```

457     for ac in acs_list:
458         lista_path.append("curvas_inic/{}".format(ac))
459         lista_path.append("grafs/{}".format(ac))
460
461     for opt in opt_list:
462         for par in par_list:
463             lista_path.append("resultados/{}/{}".format(opt,par))
464
465     for path in lista_path:
466         if not os.path.exists(path):
467             os.makedirs(path)
468     os.chdir(os.path.dirname(__file__))
469
470 def seleccionar_carpeta(self):
471     """Selecciona la carpeta principal de ejecución del programa
472     y se cambia a ella. Esta carpeta debe contener todas las
473     carpetas
474     necesarias para el cálculo.
475     """
476     #Preguntamos al usuario la carpeta
477     self.ruta_principal = tk.filedialog.askdirectory(title = "Abrir
478     carpeta")
479     # os.chdir(self.ruta_principal)
480
481 def mostrar_info(self):
482     """Muestra la información del programa en una alerta.
483     """
484     text = """Este programa ha sido desarrollado por David García
485     Serrano
486     para el Trabajo de Fin de Máster en Ingeniería Aeroná
487     utica. Año 2021.
488     Para dudas acerca del programa consultar el documento del
489     TFM.
490     Se trata de un programa en fase de desarrollo por lo que
491     pueden existir
492     errores de implementación."""
493     tk.messagebox.showinfo("Información", text)
494
495 def plot_iniciacion(self):
496     """Representa las curvas de iniciación.
497     Sólo las pinta en el caso de que el archivo de iniciación no
498     exista con anterioridad.
499     """
500     #Borramos el contenido que hubiera con anterioridad
501     if len(self.canvas_chart.winfo_children())>=1:
502         for widget in self.canvas_chart.winfo_children():
503             widget.destroy()
504
505     #Cargamos una figura

```

```

501     self.figure = plt.figure(figsize =(6,4),dpi=100)
502     self.figure.add_subplot(111)
503
504     #Representamos todas las curvas de iniciación
505     for i in range(self.n_a):
506         plt.plot(self.N_i[:,i],self.v_sigma)
507
508     plt.grid()
509     plt.title(f"Curvas de iniciación para el parámetro {self.par}")
510     plt.xscale("log")
511     plt.xlabel("Ciclos")
512     plt.ylabel("$\sigma$ (MPa)$")
513     self.chart = FigureCanvasTkAgg(self.figure,self.canvas_chart)
514     self.chart.draw()
515     self.toolbar = NavigationToolbar2Tk(self.chart,self.canvas_chart)
516
517     self.toolbar.update()
518     self.chart.get_tk_widget().pack(side = tk.TOP,padx =5,pady =5,
519         fill= tk.BOTH,expand = 1)
520
521     def ejecutar_curvas(self):
522         """Ejecuta las curvas de iniciación
523         """
524
525         #Obtenemos los datos del parámetro, paso de grieta y anchura.
526         self.par =self.var_param.get()
527         self.da =float(self.da_entry.get())
528         self.W= float(self.W_entry.get())
529         #Establecemos la ruta donde se encuentra el archivo de iniciación
530         self.ini_file =self.ruta_principal+"/curvas_inic/{}/MAT_{}.dat".
531             format(self.ac_param.get(),self.par)
532
533         #Comprobamos que no existe
534
535         if not os.path.isfile(self.ini_file):
536             if len(self.dict_prop)==len(self.props):
537                 #Ejecutamos las curvas y las representamos
538                 self.N_i,self.n_a,self.v_sigma =curvas_iniciacion(par =
539                     self.par, da=self.da,ac=self.ac_param.get(), W = self.
540                         W, MAT=self.dict_prop,main_path=self.ruta_principal)
541                 self.plot_iniciacion()
542                 self.cargar_csv()
543             else:
544                 tk.messagebox.showerror("ERROR","No se ha especificado el
545                     material. Por favor introduce las propiedades en la
546                     pestaña Material.")
547         else:

```

```

543     #Si existe no realiza el cálculo y carga automáticamente los
544     datos
545     #de iniciación
546     tk.messagebox.showwarning("Atención","Ya se ha realizado la
547     ejecución de las curvas de iniciación con estos pará
548     metros, No es necesario ejecutar la iniciación")
549     self.cargar_csv()
550
551 def cargar_csv(self):
552     """Carga los datos de iniciación
553
554     """
555     try:
556         self.df =pd.read_table(self.ini_file,sep="\s+")
557         if len(self.df.columns.values)>1:
558             self.tree_view.delete(*self.tree_view.get_children())
559
560             self.tree_view["column"] = list(self.df.columns.values)
561             self.tree_view["show"] = "headings"
562
563             for column in self.tree_view["column"] :
564                 self.tree_view.heading(str(column), text= str(column))
565
566             df_rows = self.df.to_numpy().tolist()
567
568             for row in df_rows:
569                 self.tree_view.insert("", "end", values = tuple(row))
570
571             self.tree_view.pack(fill =tk.BOTH, expand=1)
572     else:
573         tk.messagebox.showerror("ERROR","Archivo dañado, por
574         favor elimina el archivo y vuelve a ejecutar la
575         iniciación")
576 except ValueError:
577     tk.message.showerror("ERROR","Error al cargar el archivo")
578 except FileNotFoundError:
579     tk.message.showerror("ERROR","No se encuentra el archivo")
580
581 def carga_datos(self):
582     """Carga los datos de tensiones y deformaciones
583
584     """
585     #Preguntamos al usuario la ubicación de los datos
586     self.dir_exp= tk.filedialog.askdirectory(title= "Abrir carpeta",
587         initialdir="/")

```

```

587
588     try:
589         #Añadimos los datos al combobox
590         self.files_exp = os.listdir(path=self.dir_exp)
591         self.combo_exp.config(value= self.files_exp)
592         self.combo_exp.set(self.files_exp[0])
593
594
595     except FileNotFoundError:
596         tk.messagebox.showerror("ERROR","En esta ruta no se
           encuentran experimentos. Selecciona otra carpeta")
597 except IndexError:
598         tk.messagebox.showerror("ERROR","En esta ruta no se
           encuentran experimentos. Selecciona otra carpeta")
599 self.nombre_experimentos()
600
601 def sel_exp(self,event):
602     """Selecciona los datos de tensiones y deformaciones del
           combobox
603     """
604     #Obtenemos la ruta completa de los datos
605     self.file_path = os.path.join(self.dir_exp,self.combo_exp.get())
606
607     #Cargamos los datos en un data frame y nos deshacemos de la fila
           %X
608     self.df_datos = pd.read_table(self.file_path,sep="\s+")
609     self.df_datos.Y = -self.df_datos.Y*1e-3-0.1
610     self.df_datos = self.df_datos.drop(r"%X",axis=1)
611
612     #Borramos los datos que hubiera anteriormente en el treeview
613     self.dat_tv.delete(*self.dat_tv.get_children())
614
615     #Cargamos en los combobox las columnas del dataframe y
           establecemos
616     #Y e s_xx por defecto
617     self.combo_eje_x.config(value=list(self.df_datos.columns.values))
618
619     self.combo_eje_y.config(value=list(self.df_datos.columns.values))
620
621     self.combo_eje_x.set("Y")
622     self.combo_eje_y.set("s_xx")
623
624     self.actualizar_grafica()
625
626     #Rellenamos el dataframe con los datos de tensión y deformación
627     self.dat_tv["column"] = list(self.df_datos.columns.values)
628     self.dat_tv["show"] = "headings"
629
630     for column in self.dat_tv["column"] :
631         self.dat_tv.heading(column, text= column)

```

```

630
631     df_rows = self.df_datos.to_numpy().tolist()
632
633     for row in df_rows:
634         self.dat_tv.insert("", "end", values = tuple(row))
635
636
637     self.dat_tv.pack(fill =tk.BOTH, expand=1, padx = 5, pady = 5)
638
639
640 def actualizar_grafica(self):
641     """Genera una gráfica con los ejes especificados
642
643     """
644     #Borramos el contenido que hubiera anteriormente
645     if len(self.graf_lf.wininfo_children())>=1:
646         for widget in self.graf_frame.wininfo_children():
647             widget.destroy()
648
649     #creamos la figura
650     self.dat_figure = plt.figure(figsize=(6,4), dpi = 100)
651     self.dat_figure.add_subplot(111)
652     plt.plot(self.df_datos[self.combo_eje_x.get()], self.df_datos[
653         self.combo_eje_y.get()])
654     plt.grid()
655     plt.title(f"Gráfica de {self.combo_eje_y.get()} con respecto {
656         self.combo_eje_x.get()}")
657     plt.xlabel(f"{self.combo_eje_x.get()}")
658     plt.ylabel(f"{self.combo_eje_y.get()}")
659     self.dat_chart= FigureCanvasTkAgg(self.dat_figure, self.
660         graf_frame)
661     self.dat_chart.draw()
662     self.toolbar_dat = NavigationToolbar2Tk(self.dat_chart, self.
663         graf_frame)
664     self.toolbar_dat.update()
665     self.dat_chart.get_tk_widget().pack(fill = tk.BOTH, expand=1)
666
667 def abrir_resultados_iniciacion(self):
668     """Abre directamente un archivo de iniciación ya existente sin
669     tener que volver a ejecutar la iniciación
670
671     """
672
673     #Borramos el contenido que hubiera en el Treeview
674     self.tree_view.delete(*self.tree_view.get_children())
675
676     try:
677         #Preguntamos al usuario el nombre del archivo y lo
678         almacenamos
679         #en el dataframe

```

```

675         self.ini_file =tk.filedialog.askopenfilename(initialdir="
           curvas_inic/",title="Abrir archivo de iniciación",
           filetype=((("archivo DAT","*.dat"),("archivo csv","*.csv")
           ,("Todos los archivos","*.*")))
676         self.df =pd.read_table(self.ini_file,sep="\s+")
677
678         #Mostramos los posibles errores al cargar
679         except ValueError:
680             tk.messagebox.showerror("ERROR","El archivo no es válido")
681         except FileNotFoundError:
682             tk.messagebox.showerror("ERROR","No se encuentra el archivo")
683
684         self.tree_view["column"] = list(self.df.columns.values)
685         self.tree_view["show"] = "headings"
686
687         for column in self.tree_view["column"] :
688             self.tree_view.heading(str(column), text= str(column))
689         df_rows = self.df.to_numpy().tolist()
690
691         for row in df_rows:
692             self.tree_view.insert("", "end", values = tuple(row))
693
694         self.tree_view.pack(fill =tk.BOTH, expand=1)
695
696     def nombre_experimentos(self):
697         """
698         Obtiene los nombres de los experimentos a partir del nombre de
           los archivos de experimentos
699         y rellena el combobox de cálculo.
700         """
701         pattern = r"\d+_\d+_\d+"
702         self.lista_exp =[]
703         for f in self.files_exp:
704
705             self.lista_exp.append(re.search(pattern,f).group())
706
707         self.lista_exp =list(dict.fromkeys(self.lista_exp))
708         self.combo_ejec.config(value =self.lista_exp)
709         self.combo_ejec.set(self.lista_exp[0])
710
711
712     def ejecutar_calculo(self):
713         """Ejecuta el cálculo de los resultados para unos determinados
           datos de tensiones y deformaciones.
714
715         """
716         #Borramos el contenido que hubiera con anterioridad
717         if len(self.graf_ini_lf.wininfo_children())>=1:
718             for widget in self.graf_ini_lf.wininfo_children():
719                 widget.destroy()
720

```

```

721     if len(self.graf_cicl_lf.winfo_children())>=1:
722         for widget in self.graf_cicl_lf.winfo_children():
723             widget.destroy()
724
725         #Reiniciamos las etiquetas de la información del resultado
726         self.lbl_lon_ini.config(text ="Longitud de iniciación de la
           grieta: ")
727         self.lbl_cicl.config(text ="Número de ciclos hasta el fallo: ")
728         self.lbl_ubi.config(text ="Resultados guardados en: ")
729
730         #Obtenemos los datos del parámetro y anchura
731         self.par =self.var_param.get()
732         self.W = float(self.W_entry.get())
733
734         #Filtramos por los patrones para obtener el archivo
           correspondiente
735         pat_max =r'TENSOR_TRAC\S+_{}'.format(self.combo_ejec.get())
736         pat_min =r'TENSOR_COM\S+_{}'.format(self.combo_ejec.get())
737
738         exp_max= list(filter(lambda i: re.match(pat_max,i),self.
           files_exp))[0][:-4]
739         exp_min = list(filter(lambda i: re.match(pat_min,i),self.
           files_exp))[0][:-4]
740
741     try:
742
743         #Ejecutamos la función principal
744         a_inic,v_ai_mm, N_t_min,N_t,N_p, N_i, N_a = principal(self.
           par,self.W,self.dict_prop,self.ac_param.get(),exp_max,
           exp_min,self.dir_exp,ruta_curvas=self.ini_file,main_path=
           self.ruta_principal)
745
746         #Obtenemos la figuras y la incrustamos en el espacio
           reservado
747         #para ella.
748         self.a_N_fig = pintar_grafica_a_N(N_a,v_ai_mm,self.par,self.
           combo_ejec.get())
749         self.a_N_chart= FigureCanvasTkAgg(self.a_N_fig,self.
           graf_ini_lf)
750         self.a_N_chart.draw()
751         self.a_N_TB = NavigationToolbar2Tk(self.a_N_chart,self.
           graf_ini_lf)
752         self.a_N_TB.update()
753         self.a_N_chart.get_tk_widget().pack(fill = tk.BOTH,expand=1,
           padx =5, pady = 5)
754
755         self.cicl_fig = pintar_grafica_iniciacion(a_inic,v_ai_mm,
           N_t_min,N_t,N_p, N_i,self.par, self.combo_ejec.get(),
           main_path=self.ruta_principal)

```

```

756     self.cicl_chart= FigureCanvasTkAgg(self.cicl_fig,self.
        graf_cicl_lf)
757     self.cicl_chart.draw()
758     self.cicl_TB = NavigationToolbar2Tk(self.cicl_chart,self.
        graf_cicl_lf)
759     self.cicl_TB.update()
760     self.cicl_chart.get_tk_widget().pack(fill = tk.BOTH,expand=1,
        padx =5, pady = 5)
761
762     #actualizamos la información de las etiquetas
763     self.lbl_lon_ini.config(text = self.lbl_lon_ini["text"] +
        {:.3f} mm".format(a_inic))
764     self.lbl_cicl.config(text = self.lbl_cicl["text"]+" {:.0f}".
        format(N_t_min))
765     self.lbl_ubi.config(text = self.lbl_ubi["text"]+"resultados/
        datos/{}/{}.dat".format(self.par,self.combo_ejec.get()))
766
767     #Mostramos información sobre donde está guardado el resultado
768     tk.messagebox.showinfo("Atención","El resultado del cálculo
        ha sido añadido al final del archivo /
        resultados_generales/resultados.xlsx")
769
770     except KeyError:
771         #Mostramos error cuando existe un error en la carga
772         tk.messagebox.showerror("ERROR","No se ha especificado el
        material. Por favor introduce las propiedades en la pesta
        ña Material.")
773
774     except FileNotFoundError:
775         tk.messagebox.showerror("ERROR","No se han encontrado los
        datos. Por favor selecciona un experimento de los que se
        encuentran en la lista.")
776
777     except OSError:
778         tk.messagebox.showerror("ERROR","Comprueba que existe el
        archivo de iniciación o genera uno")
779
780     except:
781         tk.messagebox.showerror("ERROR","No se han cargado los datos"
        )
782
783     def ejecutar_calculo_todo(self):
784         """Ejecuta todos los datos cargados en el combobox de una vez
        para
785         obtener las gráficas y los resultados de la vida a fatiga
786
787         """
788         resp= tk.messagebox.askyesno("ATENCIÓN","¿Estás seguro de que
        quieres calcular todos los elementos de la lista?. Esto podrá
        a llevar horas.")

```

```

789
790     if resp:
791         #Borramos el contenido que hubiera anteriormente en los frames
792         if len(self.graf_ini_lf.winfo_children())>=1:
793             for widget in self.graf_ini_lf.winfo_children():
794                 widget.destroy()
795         #Reiniciamos las etiquetas de las pestañas
796         self.lbl_lon_ini.config(text ="Longitud de iniciación de la
           grieta: ")
797         self.lbl_cicl.config(text ="Número de ciclos hasta el fallo:
           ")
798         self.lbl_ubi.config(text ="Resultados guardados en: ")
799         #Obtenemos los datos del parámetro y anchura.
800         self.par =self.var_param.get()
801         self.W = float(self.W_entry.get())
802
803         #Creamos una figura
804         self.a_N_fig =plt.figure()
805         try:
806             for exp in self.lista_exp:
807
808                 #Obtenemos los experimentos que empiecen por estos
                     patronees
809                 pat_max =r'TENSOR_TRAC\S+_{}'.format(exp)
810                 pat_min =r'TENSOR_COM\S+_{}'.format(exp)
811
812                 exp_max=  list(filter(lambda i: re.match(pat_max,i),
                     self.files_exp))[0][:-4]
813                 exp_min = list(filter(lambda i: re.match(pat_min,i),
                     self.files_exp))[0][:-4]
814
815                 #ejecutamos la función principal para obtener los
                     resultados
816                 a_inic,v_ai_mm, N_t_min,N_t,N_p, N_i, N_a = principal(
                     self.par,self.W,self.dict_prop,self.ac_param.get(),
                     exp_max,exp_min,self.dir_exp,ruta_curvas = self.
                     ini_file,main_path=self.ruta_principal)
817
818                 pintar_grafica_a_N_todas(N_a,v_ai_mm)
819
820                 #Cargamos los datos en un chart y ponemos la barra de
                     navegación
821                 #para interactuar con la gráfica
822                 self.a_N_chart= FigureCanvasTkAgg(self.a_N_fig,self.
                     graf_ini_lf)
823                 self.a_N_chart.draw()
824                 self.a_N_TB = NavigationToolbar2Tk(self.a_N_chart,self.
                     .graf_ini_lf)
825                 self.a_N_TB.update()

```

```

826         self.a_N_chart.get_tk_widget().pack(fill = tk.BOTH,
827             expand=1,padx =5, pady = 5)
828         self.graf_ini_lf.update()
829
830         if exp != self.lista_exp[-1]:
831             for widget in self.graf_ini_lf.winfo_children():
832                 widget.destroy()
833
834         except:
835             tk.messagebox.showerror("ERROR","No hay elementos válidos
836                 en la lista")
837
838 def cargar_graf_dat_exp(self):
839     """Carga los datos de tensiones y deformaciones
840     """
841
842     self.lbl_dat_exp.config(text ="Resultados experimentales: ")
843     self.ubi_dat_exp = tk.filedialog.askopenfilename(title ="Abrir
844         resultados experimentales",initialdir="/",filetypes=(("
845             Archivos excel","*.xlsx"),("Todos los archivos","*.*")))
846     self.lbl_dat_exp.config(text =self.lbl_dat_exp["text"]+"/..." +
847         self.ubi_dat_exp[-60:])
848
849 def cargar_graf_dat_est(self):
850     """Carga los datos estimados
851     """
852     self.lbl_dat_est.config(text ="Resultados estimados: ")
853
854     self.ubi_dat_est = tk.filedialog.askopenfilename(title ="Abrir
855         resultados estimados",initialdir="/",filetypes=(("Archivos
856             dat","*.dat"),("Archivos excel","*.xlsx"),("Todos los
857             archivos","*.*")))
858     self.lbl_dat_est.config(text =self.lbl_dat_est["text"]+"/..." +
859         self.ubi_dat_est[-60:])
860
861 def ejecutar_graficas(self):
862     """Imprime los resultados en las graficas en la pestaña Gráfica
863     """
864
865     #Borramos lo que haya dentro del widjet para no sobreponer el
866     #siguiente cálculo
867     if len(self.reg_graf_lf.winfo_children())>=1:
868         for widget in self.reg_graf_lf.winfo_children():
869             widget.destroy()
870     if len(self.lon_vida_graf_lf.winfo_children())>=1:
871         for widget in self.lon_vida_graf_lf.winfo_children():
872             widget.destroy()

```

```

867     if len(self.per_vida_graf_lf.winfo_children())>=1:
868         for widget in self.per_vida_graf_lf.winfo_children():
869             widget.destroy()
870     try:
871         # Gráfica de regresión
872         self.par = self.var_param.get()
873         self.fig_reg = plt.figure(figsize =(5,5))
874         regresion(self.par,self.ubi_dat_est,self.ubi_dat_exp)
875         self.reg_chart= FigureCanvasTkAgg(self.fig_reg,self.
            reg_graf_lf)
876         self.reg_chart.draw()
877         self.reg_TB = NavigationToolbar2Tk(self.reg_chart,self.
            reg_graf_lf)
878         self.reg_TB.update()
879         self.reg_chart.get_tk_widget().pack(fill = tk.BOTH,expand=1,
            padx =5, pady = 5)
880
881         #Gráfica de longitud - número de ciclos
882         self.fig_lon_vida = grafica_lon_vida(self.par,self.
            ubi_dat_est)
883         self.lon_vida_chart = FigureCanvasTkAgg(self.fig_lon_vida,
            self.lon_vida_graf_lf)
884         self.lon_vida_chart.draw()
885         self.lon_vida_TB = NavigationToolbar2Tk(self.lon_vida_chart,
            self.lon_vida_graf_lf)
886         self.lon_vida_TB.update()
887         self.lon_vida_chart.get_tk_widget().pack(fill = tk.BOTH,
            expand=1,padx =5, pady = 5)
888
889         #Gráfica de porcentaje de iniciación- número de ciclos
890         self.fig_per_vida = grafica_per_vida(self.par,self.
            ubi_dat_est)
891         self.per_vida_chart = FigureCanvasTkAgg(self.fig_per_vida,
            self.per_vida_graf_lf)
892         self.per_vida_chart.draw()
893         self.per_vida_TB = NavigationToolbar2Tk(self.per_vida_chart,
            self.per_vida_graf_lf)
894         self.per_vida_TB.update()
895         self.per_vida_chart.get_tk_widget().pack(fill = tk.BOTH,
            expand=1,padx =5, pady = 5)
896
897     except:
898         tk.messagebox.showerror("ERROR", "Asegúrese de que se han
            cargado correctamente los archivos o que el número
            elementos es igual en ambos archivos")
899
900     def abrir_nuevo(self):
901         """Reinicia el programa
902         """
903         os.chdir(os.path.dirname(__file__))

```

```
904     self.destroy()
905     self.__init__()
906
907
908     def preguntar_salir(self):
909         """Pregunta al usuario si quiere salir del programa.
910         """
911         resp = tk.messagebox.askokcancel("Atención", "¿Estás seguro de
          querer salir?")
912         if resp:
913             self.destroy()
914             os.chdir(os.path.dirname(__file__))
915
916 if __name__ == "__main__":
917     app = programa()
918     app.mainloop()
```

A.2 Código de implementación de la fase de iniciación

Código A.2 Código de implementación la fase de iniciación.

```

1  # -*- coding: utf-8 -*-
2  """
3  Created on:19/02/2021
4
5  @author: David García y Alejandro Quirós
6  """
7
8  import os
9  import matplotlib.pyplot as plt
10 from scipy.optimize import fsolve
11 from propagacion import fase_propagacion
12 import numpy as np
13 import time
14
15
16 def ciclos_totales(param, crit, MAT):
17     """Devuelve los ciclos totales en función del criterio usado,
18     utilizando
19     un fsolve().
20
21     INPUTS: param = Fatemi-Socie o Smith-Watson-Topper en un punto
22            crit  = parámetro a utilizar
23            MAT   = índice asignado al material
24
25     OUTPUT: N_t = ciclos totales"""
26
27     #Constantes del material necesarias
28     sigma_y = MAT["sigma_y"]
29     sigma_f = MAT["sigma_f"]
30     k       = sigma_y/sigma_f
31     E       = MAT["E"]
32     nu      = MAT["nu"]
33     b       = MAT["b"]
34
35     def fsolve_FS(x):
36         """Funcion que utiliza el fsolve para calcular los ciclos de
37         vida
38         cuando se utiliza el Fatemi-Socie."""
39         expr = param - ((1+nu)*sigma_f/E*(2.0*x)**b + k/2.0*(1.0
40             + nu)*sigma_f**2.0/(E*sigma_y)*(2.0*x)**(2.0*b))
41
42     def fsolve_SWT(x):

```

```

43     """Funcion que utiliza el fsolve para calcular los ciclos de
44         vida
45         cuando se utiliza el Smith-Watson-Topper."""
46     expr = param - (sigma_f**2.0/E*(2*x)**(2.0*b))
47     return expr
48
49     if crit == 'FS':
50         N_t = fsolve(func=fsolve_FS, x0=10, xtol=1e-10)[0]
51
52     elif crit == 'SWT':
53         N_t = fsolve(func=fsolve_SWT, x0=100, xtol=1e-10)[0]
54
55     return N_t
56
57     #####
58
59 def fase_iniciacion(param, sigma, crit, a_i,ac, da, W, MAT):
60     """Devuelve los ciclos de la fase de iniciación de una grieta,
61         conocida
62         la tensión media desde la superficie hasta la punta de la misma.
63
64     INPUTS: param = Fatemi-Socie o Smith-Watson-Topper en un punto
65             sigma = tensión  $\sigma$  en ese punto
66             crit = parámetro a utilizar
67             a_i = (m) tamaño de la grieta de iniciación
68             ac = plana o elíptica (0 o 0.5)
69             da = paso para realizar los cálculos
70             W = (m) anchura del espécimen
71             MAT = índice asignado del material
72
73     OUTPUT: N_i = ciclos de la fase de iniciacion"""
74
75     #Calcula los ciclos totales hasta el fallo
76     N_t = ciclos_totales(param, crit, MAT)
77
78     #ind_a se utiliza para la propia fase de propagación por lo
79     #que en la fase de iniciación no es una variable relevante y puede
80     tomar
81     #cualquier valor
82     ind_a = 0
83
84     #Cálculos los ciclos que necesita la grieta para propagarse
85     N_p = fase_propagacion(sigma, ind_a, a_i,ac, da, W, MAT)
86
87     #Calculamos los ciclos de iniciación
88     N_i = N_t - N_p
89
90     #Si el numero es negativo devuelve 0
91     if N_i < 0:

```

```

90     N_i = 0.0
91
92     #Para ciclos muy altos solo se tiene en cuenta la iniciación para
93     evitar
94     #errores que se producen en la integración de la propagación
95     if N_t > 1.5e7:
96         N_i = N_t
97
98     return N_i
99
100 #####
101 def curvas_iniciacion(par, da,ac, W, MAT,main_path=""):
102     """Escribe un archivo de texto con las curvas de
103     iniciación para distintas longitudes de grieta para un material.
104
105     INPUT: par = parámetro para el modelo de iniciación
106           ac =plana o elíptica (0 o 0.5)
107           da = paso para realizar los cálculos
108           W = (m) anchura del espécimen
109           MAT = índice asignado al material
110
111     OUTPUTS: MATX_par.dat = archivo con las curvas de iniciación
112            figura.png = imagen con las curvas de iniciación"""
113
114     print((' \nCurvas de iniciación del material '
115           +'utilizando el parámetro { }\n').format(par))
116
117     #Abrimos el archivo donde se van a escribir los datos,
118     #escribimos la cabecera del mismo y creamos los vectores con las
119     tensiones
120     #y los tamaños de grieta para crear las curvas de iniciación
121
122     ruta = main_path + '/curvas_inic/{}/'.format(ac)
123     ruta_fig = main_path + '/grafs/{}/'.format(ac)
124
125     archivo = open('{}/MAT_{}.dat'.format(ruta, par), 'w')
126
127     archivo.write('{:.3e} '.format(0.0000))
128
129     v_sigma = [] #Vector de tensiones
130     v_param = [] #Vector de Fatemi-Socie o Smith-Watson-Topper
131     n_sigma = 45 #Discretizaciones de la curva de iniciación
132
133     sigma_max = 500.0  #(MPa) tension maxima
134     sigma_min = 50.0  #(MPa) tension minima
135
136     delta_sigma = 10.0  #Paso de tensiones
137

```

```

138     #Cargamos propiedades del material
139     sigma_y = MAT["sigma_y"]
140     sigma_f = MAT["sigma_f"]
141     k       = sigma_y/sigma_f
142     E       = MAT["E"]
143     G       = MAT["G"]
144
145     #Generamos el vector de Fatemi-Socie o Smith-Watson-Topper
146
147     v_sigma = np.arange(sigma_min,sigma_max,delta_sigma)
148     n_sigma = len(v_sigma)
149     v_def   = v_sigma/E
150     v_gamma = v_sigma/2/G
151     v_param = v_gamma*(1.0+k*v_sigma/2.0/sigma_y) if par == 'FS' else
        v_sigma*v_def
152
153     n_a = 100          #Número de curvas de iniciacion por material
154     a_min = 5e-5      #Tamaño más pequeño grieta
155     ex = 1.2         #Variable para controlar como crece la diferencia
156                   #entre longitudes de grieta
157
158     v_a = [a_min*(i+1.0)**ex for i in range(n_a)] #Vector de tamaños de
        grietas
159     for a in v_a:
160         archivo.write('{:.3e} '.format(a))
161
162     N_i = np.zeros((n_sigma,n_a)) #inicializamos la matriz de ciclos de
        iniciación
163
164     t1 = time.time()
165     for i in range(len(v_param)):
166         archivo.write('\n{:.3e} '.format(v_param[i]))
167         for j,a in enumerate(v_a):
168             N_i[i,j] = fase_iniciacion(v_param[i], v_sigma[i], par, a,ac,
                da, W, MAT)
169             archivo.write('{:.3e} '.format(N_i[i,j]))
170             #Pintamos en la consola el porcentaje realizado
171             print('\r{:.2%} completado'.format((i+1.0)/len(v_param)), end = '
                ')
172
173     #Cerramos el archivo
174
175     archivo.close()
176     t2= time.time()
177     print("\nSe han requerido {:.2f}s".format(t2-t1))
178
179     #Pintamos las curvas de iniciación
180
181     plt.figure()
182     for i in range(n_a):

```

```
183     plt.plot(N_i[:,i],v_sigma)
184     plt.grid()
185     plt.title(f"Curvas de iniciación para el parámetro {par}")
186     plt.xscale("log")
187     plt.xlabel("Ciclos")
188     plt.ylabel("$\sigma$ (MPa)$")
189
190     # #Guardamos la figura y la cerramos
191     plt.savefig(ruta_fig+f'curvas_inic_{par}.png')
192
193     return N_i,n_a,v_sigma
194
195 def plot_N_i(par,N_i,v_sigma,n_a):
196     plt.figure()
197     for i in range(n_a):
198         plt.plot(N_i[:,i],v_sigma)
199     plt.grid()
200     plt.title(f"Curvas de iniciación para el parámetro {par}")
201     plt.xscale("log")
202     plt.xlabel("Ciclos")
203     plt.ylabel("$\sigma$ (MPa)$")
204     plt.show()
```

A.3 Código de implementación de la fase de propagación

Código A.3 Código de implementación de fase de propagación.

```

1  # -*- coding: utf-8 -*-
2  """
3  Created on:19/02/2021
4
5  @author: David García y Alejandro Quirós
6  """
7
8  import numpy as np
9  from scipy.integrate import quad
10
11  MAT = {"C"      :8.83e-11,
12         "n"      : 3.322,
13         "f"      : 2.5,
14         "l_0"    : 25e-6,
15         "sigma_fl" : 169.0,
16         "K_th"   : 2.2,
17         "K_IC"   : 29.0,
18         "sigma_y" : 503.0,
19         "sigma_f" : 1610.0,
20         "E"      : 71000.0,
21         "nu"     : 0.33,
22         "b"      : -.1553}
23  MAT["G"] = MAT["E"]/(2.0*(1.0 + MAT["nu"]))
24  MAT["a_0"] = 1/np.pi*(MAT["K_th"]/(MAT["sigma_fl"]))**2.0
25
26  #####
27
28  def K_I(sigma, a, ds, W):
29      """Devuelve el factor de intensidad de tensiones para un tamaño de
30          grieta
31          determinado utilizando una función de peso propuesta por Bueckner.
32
33          INPUTS: sigma = (MPa) tensión perpendicular al plano de la grieta
34                  (float) --> fase de iniciación
35                  (list) --> fase de propagación
36                  a     = (m) longitud de la grieta
37                  ds    = (m) paso de longitudes de grieta
38                  W     = (m) espesor del espécimen
39
40          OUTPUT: K_I = (MPa m0.5) factor de intensidad de tensiones"""
41
42      #Funciones de peso
43      m1 = 0.6147 + 17.1844*(a/W)**2.0 + 8.7822*(a/W)**6.0
44      m2 = 0.2502 + 3.2889*(a/W)**2.0 + 70.0444*(a/W)**6.0

```

```

45 def integr_KI(s, sx):
46     """Realiza el cálculo de la integral del FIT"""
47
48     res = sx/s**0.5*(1.0 + m1*s/a + m2*(s/a)**2.0)
49
50     return res
51
52     #Si sigma es de tipo float, el cálculo es para la fase de iniciación
53     if type(sigma) is not list:
54
55         integral = 0.0
56         s         = ds/2.0
57         N         = int(round(a/ds, 8))
58
59         for i in range(N - 1):
60             integral += integr_KI(s, sigma)*ds
61             s         += ds
62
63         K_I        = (2.0/np.pi)**0.5*integral
64
65     #Si sigma es de tipo list, el cálculo es para la fase de propagación
66     else:
67         integral = 0.0
68         s         = ds/2.0
69
70         for i in sigma[:-1]:
71             j = sigma[sigma.index(i)+1]
72             integral += integr_KI(s, (i+j)/2.0)*ds
73             s         += ds
74
75         K_I = (2.0/np.pi)**0.5*integral
76
77     return K_I
78
79     #####
80
81 def Phi(ac = 0.5):
82     """Devuelve el factor Phi calculado por Irwin para el caso de una
83     grieta
84     elíptica.
85     INPUT: ac = a/c | relación entre los semiejes
86
87     OUTPUT: Phi = factor de la grieta elíptica"""
88
89     #Calculo del factor para grietas elíptica
90     int_phi = lambda phi: np.sqrt(1.0 - (1.0 - (ac)**2.0)*(np.sin(phi))
91     **2.0)
92     phi = quad(int_phi,0,np.pi/2)[0]
93     return phi

```

```

93
94
95
96 #####
97
98 def fase_propagacion(sigma, ind_a, a_i, ac, da, W, MAT):
99     """Devuelve los ciclos de propagacion de la grieta.
100
101     INPUTS: sigma = (MPa) tensión máxima perpendicular al plano de la
102             grieta
103             (float) --> fase de iniciación
104             (list) --> fase de propagación
105     ind_a = índice asociado a la longitud de grieta
106     a_i = (m) longitud inicial de la grieta
107     ac = plana o elíptica (0 o 0.5)
108     da = (m) paso de longitudes de grietas
109     W = (m) anchura del espécimen
110     MAT = índice asignado al material
111
112     OUTPUT: N_p = ciclos de la fase de propagacion"""
113
114     #Obtenemos las constantes del material
115     # mat_props = constantes_material(MAT)
116
117     C = MAT["C"]
118     n = MAT["n"]
119     f = MAT["f"]
120     l_0 = MAT["l_0"]
121     K_th = MAT["K_th"]
122     a_0 = MAT["a_0"]
123     K_IC = MAT["K_IC"]
124
125     def integr_prop(x, s, ac):
126         """Realiza el cálculo de la integral de los ciclos de propagació
127             n"""
128         phi = Phi(ac)
129         ki = K_I(s, x, da, W)/phi
130
131         if ki < K_th*(x**f/(x**f + a_0**f - l_0**f))**(0.5*f):
132             res = 1e20
133         else:
134             res = 1.0/(C*(ki**n
135                 - (K_th*(x**f/(x**f + a_0**f - l_0**f))**(0.5*f)
136                 )**n))
137
138     return ki, res
139
140     #Si sigma es de tipo float, el cálculo es para la fase de iniciación
141     # ac = 0.5

```

```

140
141     if ac == "plana":
142         ac = 0.0
143     elif ac == "eliptica":
144         ac = 0.5
145
146     N_p = 0.0
147     a = a_i
148     ki = 0.0
149     if type(sigma) is not list:
150         while ki < K_IC:
151             N_p += integr_prop(a, sigma, ac)[1]*da
152             ki = integr_prop(a, sigma, ac)[0]
153             a += da
154
155     #Si sigma es de tipo list, el cálculo es para la fase de propagación.
156
157     #Se empieza la integral en la longitud de iniciación requerida y se
158     va
159     #aumentando la longitud, utilizando la variable i, de forma que en
160     cada
161     #vuelta del bucle aumenta en 1 el tamaño del vector de tensiones y
162     la
163     #longitud de grieta consecuentemente con el paso.
164     else:
165         i = 0
166         while ki < K_IC:
167             #Invertimos los vectores de tensiones, ya que para el calculo
168             de
169             #K_IC la integral se inicia al fondo de la grieta acabando en
170             #la superficie. Seleccionamos del vector completo de
171             tensiones, las
172             #componentes del mismo que van desde la superficie hasta el
173             tamaño
174             #de grieta asociado al indice ind_a
175             sxx_max = np.flipud(sigma[:ind_a + 1 + i]).tolist()
176             N_p += integr_prop(a, sxx_max, ac)[1]*da
177             ki = integr_prop(a, sxx_max, ac)[0]
178             a += da
179             i += 1
180
181     return N_p

```

A.4 Código de implementación del cálculo de vida

Código A.4 Código de implementación del cálculo de vida.

```

1  # -*- coding: utf-8 -*-
2  """
3  Created on:19/02/2021
4
5  @author: David García y Alejandro Quirós
6  """
7
8  import os
9  import numpy as np
10 import matplotlib.pyplot as plt
11 from scipy.optimize import minimize
12 from scipy.interpolate import interp2d, interp1d
13 from propagacion import fase_propagacion
14 import pandas as pd
15 from time import time
16 import re
17
18 def lectura_datos(ruta, exp_max, exp_min):
19
20     """Carga los datos experimentales.
21
22     INPUT: ruta      = ruta para cargar los datos experimentales
23            exp_max  = nombre del archivo con la tensiones y defs maximas
24            exp_min  = nombre del archivo con la tensiones y defs minimas
25
26     OUTPUTS: x      = (m) vector de distancias a la superficie de la
27                  grieta
28                sxx_max = (MPa) vector de tensiones máximas en la direccion
29                  x
30                s_max  = (MPa) vector de tensiones máximas
31                e_max  = vector de deformaciones máximas
32                e_min  = vector de deformaciones mínimas"""
33
34     cols = ["X", "Y", "s_xx", "s_yy", "s_zz", "s_xy", "s_xz", "s_yz", "
35            e_xx", "e_yy", "e_zz", "e_xy", "e_xz", "e_yz"]
36
37     #Cargamos los datos de distancias. Cambiamos el vector para
38     #que sea positivo y empiece en 0
39     datos_max = pd.read_csv(f"{ruta}/{exp_max}.dat", skiprows=1, sep=' ',
40                            names=cols) #todos los datos para las tracciones
41     datos_min = pd.read_csv(f"{ruta}/{exp_min}.dat", skiprows=1, sep=' ',
42                             names=cols) #todos los datos para las compresiones
43
44     x = datos_max.Y.to_numpy()*(-1e-3)-0.1

```

```

41 #Cargamos el resto de datos
42 sxx_max = datos_max.s_xx.to_numpy().tolist()
43
44 s_max = datos_max[["s_xx", "s_yy", "s_zz", "s_xy", "s_xz", "s_yz"]].
    to_numpy()
45
46 e_max = datos_max[["e_xx", "e_yy", "e_zz", "e_xy", "e_xz", "e_yz"]].
    to_numpy()
47
48 e_min = datos_min[["e_xx", "e_yy", "e_zz", "e_xy", "e_xz", "e_yz"]].
    to_numpy()
49 return x, sxx_max, s_max, e_max, e_min
50
51 #
    #####
52 #
    #####
53
54 def indice_a(a, x):
55     """Devuelve el índice asociado a una longitud de grieta.
56
57     INPUT: a      = longitud de grieta de iniciación
58           x      = vector de distancias a la superficie
59
60     OUTPUTS: ind_a = índice asociado a la longitud de grieta de iniciaci
61             ón"""
62     a = round(a,8)
63     #Calculamos el índice para el cual tenemos esa longitud de grieta
64     for i,x0 in enumerate(x):
65         if round(x0,8) >= a:
66             ind_a = i
67             break
68     return ind_a
69
70 #
    #####
71 #
    #####
72 def rotar_matriz(alfa,matriz):
73     """Devuelve una matriz rotada según los ángulos almacenados en
74         alfa.
75
76     -alfa: array de 3 componentes con los ángulos
77     -matriz: matriz de 3x3"""
78     matriz = np.array(matriz)

```

```

78     R_x = np.array([[1.0,      0.0,      0.0],
79                   [0.0, np.cos(alfa[0]), -np.sin(alfa[0])],
80                   [0.0, np.sin(alfa[0]), np.cos(alfa[0])]])
81
82     R_y = np.array([[np.cos(alfa[1]), 0.0, -np.sin(alfa[1])],
83                   [0.0,      1.0,      0.0],
84                   [np.sin(alfa[1]), 0.0, np.cos(alfa[1])]])
85
86     R_z = np.array([[np.cos(alfa[2]), -np.sin(alfa[2]), 0.0],
87                   [np.sin(alfa[2]), np.cos(alfa[2]), 0.0],
88                   [0.0,      0.0,      1.0]])
89     R = R_x @ R_y @ R_z
90
91     return (R.T @ matriz @ R)
92
93 def hacer_matriz(vector,i=0):
94     """Devuelve una matriz a partir del vector de tensiones o
95     deformaciones.
96
97     INPUT:
98     - vector: array de seis componentes
99     - i: fila del vector
100
101     OUTPUT:
102     - m: matriz de componentes del vector
103     """
104     vector = np.array(vector)
105     m = np.array([[vector[i,0], vector[i,3], vector[i,4]],
106                 [vector[i,3], vector[i,1], vector[i,5]],
107                 [vector[i,4], vector[i,5], vector[i,2]]])
108
109
110 def parametro(par, MAT, x, s_max, e_max, e_min):
111     """Calcula el vector para el modelo de iniciación asociado
112     a un experimento.
113
114     INPUT: par = parámetro para el modelo de iniciación
115           MAT = índice asignado al material
116           x = (m) vector de distancias a la superficie de la
117             grieta
118           s_max = (MPa) vector de tensiones máximas
119           e_max = vector de deformaciones máximas
120           e_min = vector de deformaciones mínimas
121
122     OUTPUTS: FS/SWT = vector con los Fatemi-Socie o Smith-Watson-Topper
123             en cada
124             punto"""
125
126 def func_FS(alfa, j):

```

```

125     """Devuelve delta_gamma_max/2 en un punto concreto. Se utiliza
126     en el
127     calculo del Fatemi-Socie."""
128     E_xyz_max = hacer_matriz(e_max,j)
129     E_xyz_min = hacer_matriz(e_min,j)
130     E_max = rotar_matriz(alfa,E_xyz_max)
131     E_min = rotar_matriz(alfa,E_xyz_min)
132
133     #El signo negativo se debe a que la función minimiza en vez de
134     #maximizar.
135     return -(E_max[0,1] - E_min[0,1])
136
137
138 def func_SWT(alfa, j):
139     """Devuelve el Smith-Watson-Topper asociado a un punto."""
140     E_xyz_max = hacer_matriz(e_max,j)
141     E_xyz_min = hacer_matriz(e_min,j)
142     E_max = rotar_matriz(alfa,E_xyz_max)
143     E_min = rotar_matriz(alfa,E_xyz_min)
144     S_xyz_max = hacer_matriz(s_max,j)
145     S_max = rotar_matriz(alfa,S_xyz_max)
146
147     #El signo negativo se debe a que la función minimiza en vez de
148     #maximizar.
149     return -(S_max[0,0]*(E_max[0,0]-E_min[0,0])/2.0)
150
151     #Inicializamos variables
152     alfa0 = [0.0, 0.0, 0.0] #Ángulo para primera iteración de la función
153     de
154                                     #minimización
155     #Límites para el ángulo
156     bnds = ((-np.pi, np.pi), (-np.pi, np.pi), (-np.pi, np.pi))
157
158     sigma_y = MAT["sigma_y"]
159     sigma_f = MAT["sigma_f"]
160     k        = sigma_y/sigma_f
161
162     alfa      = np.zeros((len(x),3))
163     delta_gamma_max = np.zeros_like(x)
164     s_norm     = np.zeros_like(x)
165     FS         = np.zeros_like(x)
166     SWT        = np.zeros_like(x)
167
168     #Calculamos en cada punto el Fatemi-Socie o el Smith-Watson-Topper
169     asociado
170     if par == 'FS':
171         for j in range(len(x)):
172             fs = minimize(func_FS, alfa0, bounds = bnds, args=(j),
173                           options={'disp': False})

```

```

172         delta_gamma_max[j]=-fs.fun*2.0
173         S_xyz_max = hacer_matriz(s_max,j)
174         S_max = rotar_matriz(alfa[j,:],S_xyz_max)
175         s_norm[j]=S_max[2,2]
176         FS[j]= delta_gamma_max[j]/2.0*(1.0 + k*s_norm[j]/sigma_y)
177     return FS
178
179     elif par == 'SWT':
180         for j in range(len(x)):
181             swt = minimize(func_SWT, alfa0, bounds = bnds, args=(j),
182                           options={'disp': False})
183             alfa[j,:]=swt.x
184             SWT[j]=-swt.fun
185         return SWT
186
187     #
188     #####
189
190     #
191     #####
192
193     def principal(par, W, MAT,ac,exp_max, exp_min,ruta_exp,ruta_curvas=None,
194                 main_path=""):
195         """Estima la vida a fatiga.
196
197         INPUTS: par      = parámetro para el modelo de iniciación
198                W        = (m) anchura del espécimen
199                MAT      = índice asignado al material
200                ac       = propagación plana o elíptica
201                exp_max  = nombre del archivo con la tensiones y defs máximas
202                exp_min  = nombre del archivo con la tensiones y defs mínimas
203                ruta_curvas = ubicación de las curvas de iniciación
204
205         OUTPUTS: resultados.dat = actualiza el archivo de resultados con la
206                longitud de iniciacion y los ciclos de iniciacion,
207                propagacion y
208                total para que se produzca el fallo
209                a_inic    = longitud de grieta de iniciación
210                v_ai_mm   = vector de longitudes de grietas en mm
211                N_t_min   = Ciclos de iniciación
212                N_t       = Vector de ciclos totales
213                N_p       = Vector de ciclos de propagación
214                N_i       = Vector de ciclos de iniciación
215                N_a       = Vector de ciclos de propagación a partir de
216                la iniciación
217                exp_id.dat = archivo con los datos de las curvas de vida
218                """

```

```

214 print('Datos Experimentales:\n {}.dat\n  {}.dat\n'.format(exp_max,
215                                     exp_min))
216 #exp_id obtiene a partir del nombre del archivo con los datos un
217 #identificador del experimento. Dependiendo del nombre del archivo
    debe
218 #modificarse.
219 pattern =r"\d+\_d+\_d+"
220 exp_id    = re.search(pattern,exp_max).group()
221
222 #Obtenemos las rutas a las carpetas necesarias para los calculos
223 # cwd          = os.getcwd()
224 # ruta_exp     = cwd + '/datos_experimentales'
225 ruta_datos = main_path+ '/resultados/datos/{}'.format(par)
226 if ruta_curvas is None:
227     ruta_curvas = main_path + '/curvas_inic/{}'.format(ac)
228     data_interp = np.loadtxt("{}MAT_{}.dat".format(ruta_curvas, par)
    )
229 else:
230     data_interp = np.loadtxt(ruta_curvas)
231
232
233 #Cargamos los datos de las curvas de iniciación del material
234
235
236 #Separamos las curvas en las variables necesarias
237 x_interp = data_interp[0,1:] #Eje x de la matriz de interpolación
238 y_interp = data_interp[1:,0] #Eje y de la matriz de interpolación
239 m_N_i    = data_interp[1:,1:] #Matriz con los ciclos de
    iniciación
240
241
242
243 #Creamos la función de interpolación
244 function_interp = interp2d(x_interp, y_interp, m_N_i, kind='quintic',
    bounds_error=False)
245
246
247 #Cargamos los datos experimentales y generamos el vector de FS o SWT
248 x, sxx_max, s_max, e_max, e_min = lectura_datos(ruta_exp, exp_max,
249                                     exp_min)
250 param = parametro(par, MAT, x, s_max, e_max, e_min)
251
252 a_i_min = round(x[1], 8) #Tamaño mínimo de longitud de grieta de
253 #iniciacion. Redondeamos para evitar errores
254 #numericos.
255 a_i_max = round(x[-1], 8) #Tamaño máximo de longitud de grieta de
    iniciacion
256 da      = a_i_min #Paso entre longitudes de grietas
257

```

```

258     #Creamos el vector de longitudes de grieta de iniciacion
259
260     v_ai = np.arange(a_i_min,a_i_max, da)#Vector de longitudes de grieta
        en m
261     v_ai_mm = v_ai*1e3           #Vector de longitudes de grieta en mm
262
263     #Calculamos los ciclos de iniciación, de propagación y totales para
        cada
264     #longitud de grieta de iniciacion
265     #Inicializamos los ciclos
266     N_i= np.zeros_like(v_ai)
267     N_p= np.zeros_like(v_ai)
268     N_t= np.zeros_like(v_ai)
269
270     for i,a in enumerate(v_ai):
271         ind_a    = indice_a(a, x) #Índice asociado a esa longitud de
            grieta
272         param_med = np.mean(param[:ind_a + 1]) #Valor medio del
            parametro para la interpolacion
273
274         #Realizamos la interpolacion para calcular los ciclos de
            iniciación
275         N_i[i] = function_interp(a, param_med)[0]
276
277         #La interpolación puede dar valores menores que 0 para ciclos
            muy bajos
278         if N_i[i] < 0:
279             N_i[i] = 0
280
281         #Calculamos los ciclos de propagación
282         N_p[i] = fase_propagacion(sxx_max, ind_a, a,ac, da, W, MAT)
283
284         #Ciclos totales
285         N_t[i] = N_i[i]+N_p[i]
286
287
288     #Calculamos el numero de ciclos hasta el fallo y la longitud de
        iniciación
289     #de la grieta, que se producen en el mínimo de la curva de ciclos
        totales
290     N_t_min = np.min(N_t)
291     i_N_t_min = np.argmin(N_t)
292     N_i_min = N_i[i_N_t_min]
293     N_p_min = N_p[i_N_t_min]
294     a_inic = v_ai_mm[i_N_t_min]
295
296
297     #Pintamos la figura con la evolución de la longitud de grieta y
        guardamos
298     #en un archivo los datos

```

```

299     ciclos = open(ruta_datos + '/{}.dat'.format(exp_id), 'w')
300     ciclos.write('{:<5}\t{:<12}\t{:<12}\t{:<12}\t{:<12}'.format('a_i', '
        N_t',
301                                     'N_i', 'N_p',
302                                     'N_a'))
303
304     N_a = []           #Vector de ciclos con la evolución de la grieta
305
306     for i,ai in enumerate(v_ai):
307         #Hasta la longitud de iniciación crece como los ciclos de
308         iniciación
309         if ai <= a_inic*1e-3:
310             n_a = N_i[i]
311             N_a.append(n_a)
312         #A partir de la longitud de iniciación crece de acuerdo con los
313         ciclos
314         #de propagación
315         else:
316             n_a = N_a[-1] + N_p[i-1] - N_p[i]
317             N_a.append(n_a)
318         n_i = N_i[i]
319         n_p = N_p[i]
320
321         ciclos.write('\n{:.3f}\t{:.6e}\t{:.6e}\t{:.6e}\t{:.6e}'.format(
322             ai*1e3,
323             n_i+n_p, n_i, n_p, n_a))
324     ciclos.close()
325
326     cols = ['exp_id', 'param', 'N_t_min', 'N_i_min', 'N_p_min', 'N_i_perc
327             ', 'N_p_perc', 'a_inic(mm)']
328     values = [exp_id, par, N_t_min, N_i_min, N_p_min, str(float(N_i_min)/
329             N_t_min*100)+"%", str(float(N_p_min)/N_t_min*100)+"%", a_inic]
330
331     result_dict = dict(zip(cols, values))
332     if os.path.isfile(main_path+"/resultados_generales/resultados.xlsx"):
333
334         df = pd.read_excel(main_path+"/resultados_generales/resultados.
335             xlsx")
336         if len(df[df["exp_id"] ==exp_id][df["param"]==par])>0:
337             df = df.drop(df[df["exp_id"] ==exp_id][df["param"]==par].
338                 index[0])
339
340         df =df.append(result_dict, ignore_index=True)
341
342     else:
343         df= pd.DataFrame([result_dict])
344
345     df.to_excel(main_path+"/resultados_generales/resultados.xlsx", index=
346         False)
347
348

```

```

339
340
341     print('Longitud de iniciación de la grieta: {} mm'.format(a_inic))
342     print('Numero de ciclos hasta el fallo: {} \n'.format(N_t_min))
343
344     return a_inic,v_ai_mm, N_t_min,N_t,N_p, N_i, N_a
345
346 def pintar_grafica_a_N(N_a, v_ai_mm,par,exp_id):
347     fig = plt.figure('Longitud de grieta_{}_{}'.format(par,exp_id))
348     plt.xscale('log')
349     plt.xlabel('Ciclos')
350     plt.ylabel('Longitud de grieta (mm)')
351     plt.xlim([5e2,1e6])
352     plt.grid()
353     plt.plot(N_a, v_ai_mm, 'k')
354     return fig
355
356 def pintar_grafica_a_N_todas(N_a, v_ai_mm):
357     # fig = plt.figure('Longitud de grieta')
358     plt.xscale('log')
359     plt.xlabel('Ciclos')
360     plt.ylabel('Longitud de grieta (mm)')
361     plt.xlim([5e2,1e6])
362     plt.grid()
363     plt.plot(N_a, v_ai_mm, "k")
364
365
366
367 def pintar_grafica_iniciacion(a_inic,v_ai_mm, N_t_min,N_t,N_p, N_i,par,
    exp_id,main_path="" ):
368
369     fig = plt.figure(f"{exp_id}_{par}")
370     plt.title("Punto de Iniciación")
371     plt.xlabel('Longitud de iniciacion (mm)')
372     plt.ylabel('Ciclos')
373     plt.yscale("log")
374     plt.grid()
375     plt.plot(v_ai_mm, N_i, 'b')
376     plt.plot(v_ai_mm, N_p, 'k')
377     plt.plot(v_ai_mm, N_t, 'r')
378     plt.plot(a_inic, N_t_min, 'g^')
379     plt.ylim([1e3,1e8])
380     plt.legend(["Iniciación","Propagación" , "Total","Punto de iniciación"])
381     plt.annotate(text="a_inic: {:.3f} mm\nN_inic: {:.0f}".format(a_inic,
        np.floor(N_t_min)),
382                 xy =(a_inic,N_t_min),
383                 xytext =(1,1e7),
384                 arrowprops=dict(facecolor ="blue",width=0.1,headwidth
                    =0.2))

```

```
385 plt.savefig(main_path+"/resultados/grafs/{}/{}.png".format(par,  
    exp_id))  
386 return fig
```

A.5 Código de implementación de la estadística

Código A.5 Código de implementación de la estadística.

```

1  # -*- coding: utf-8 -*-
2  """
3  Created on :19/02/2021
4
5  @author: David García Serrano
6  """
7
8  import numpy as np
9  import pandas as pd
10 import matplotlib.pyplot as plt
11 from sklearn.linear_model import LinearRegression
12
13 def regresion(par,vida_estimada, vida_experimental):
14     """Cálculo de la recta de regresion entre la vida estimada y la vida
15         experimental
16     INPUTS:
17         par: parámetro de los cálculos (SWT o FS)
18
19         vida_estimada: ubicación del archivo.dat con los resultados de
20             todos los experimentos
21
22         vida_experimental: ubicación del archivo.xlsx con los datos de
23             todos los experimentos de
24
25     OUTPUTS:
26         figura: Gráfica con la representación de los puntos, la recta de
27             regresión y los
28             datos de los coeficientes.
29
30     """
31     data_exp = pd.read_excel(vida_experimental,index_col=0) #datos de
32         vida experimental
33
34     #podemos cargar los datos en formato .dat o .xlsx
35     try:
36         data_est =pd.read_table(vida_estimada,sep=r"\s+",skiprows =1,
37             names =["exp_id", "param","N_t_min","N_i_min", "N_p_min","
38                 N_i_perc","N_p_perc","a_inic" ])
39
40     except:
41         data_est = pd.read_excel(vida_experimental)
42
43     data_est =data_est[data_est.param==par] #Filtramos solo para ese par
44         ámetro

```

```

38 dict_est = {} #Diccionario con las datos estimados
39
40
41 for j,exp in enumerate(data_est.exp_id): #Rellenamos los
    diccionarios con el valor N_t_min
42     dict_est[exp]=data_est.iloc[j].N_t_min
43
44     exps = data_exp.columns.values[1:] #vector de columnas de data_exp
45
46     #Cargamos el Dataframe con todos los datos.
47     Df_est_exp = pd.DataFrame()
48     Df_est_exp["exp_id"]=exps
49     Df_est_exp["vida_estimada"]=[dict_est[i] for i in exps]
50     Df_est_exp["vida_experimental1"]=[data_exp[i].values[0] for i in
    exps]
51     Df_est_exp["vida_experimental2"]=[data_exp[i].values[1] for i in
    exps]
52     Df_est_exp["vida_est_log"] =np.log10(Df_est_exp.vida_estimada)
53     Df_est_exp["vida_exp_log1"] =np.log10(Df_est_exp.vida_experimental1)
54     Df_est_exp["vida_exp_log2"] =np.log10(Df_est_exp.vida_experimental2)
55
56
57
58     #Hacemos la regresion con los logaritmos
59     x =np.concatenate((Df_est_exp.vida_est_log.values,Df_est_exp.
    vida_est_log.values))
60     y =np.concatenate((Df_est_exp.vida_exp_log1.values,Df_est_exp.
    vida_exp_log2.values))
61
62     #Modelo de regresión lineal
63     Lm= LinearRegression(fit_intercept=True)
64     try:
65         Lm.fit(x.reshape(-1,1),y.reshape(-1,1))
66     except:
67         Lm.fit(x.reshape(-1,1),y.reshape(-1,1))
68
69     a= Lm.coef_[0] #Pendiente de la recta de regresión
70     b = Lm.intercept_ #Residual de la recta de regresión
71     r =Lm.score(x.reshape(-1,1),y.reshape(-1,1)) # Coeficiente de
    correlación
72     xs = np.array([0.0,10.0])
73     ys = a*xs+b #Recta de regresión
74
75     #Deshacemos logaritmos
76     xs = 10**xs
77     ys =10**ys
78
79     x = 10**x
80     y =10**y
81

```

```

82     # plt.figure(figsize=(5,5))
83     plt.plot(x,y,"ob")
84     plt.xscale("log")
85     plt.yscale("log")
86     plt.xlim([np.min(x)*0.5,np.max(x)*2])
87     plt.ylim([np.min(x)*0.5,np.max(x)*2])
88     plt.xlabel('Vida estimada')
89     plt.ylabel('Vida experimental')
90     plt.plot([1e1,1e10],[1e1,1e10],'--r',label="Recta de equivalencia")
91         #recta
92     plt.plot(xs,ys,"--g",label="Recta de regresión")
93     plt.plot([1e1,1e10],[0.5e1,0.5e10], "--y")
94     plt.plot([1e1,1e10],[2e1,2e10], "--y")
95     plt.legend()
96     plt.grid()
97 def grafica_lon_vida(par,vida_estimada):
98     """Función que representa la vida estimada en una gráfica la
99     longitud de iniciación
100     con respecto a los ciclos
101     INPUTS:
102     -par: criterio FS o SWT
103     -vida estimada: datos con los resultados de cálculos de vida a
104     fatiga
105     OUTPUTS:
106     -fig: Figura
107     """
108     #Carga de datos
109     try:
110
111         data_est =pd.read_table(vida_estimada,sep=r"\s+",skiprows =1,
112             names=["exp_id", "param","N_t_min","N_i_min", "N_p_min","
113             N_i_perc","N_p_perc","a_inic" ])
114     except:
115         data_est = pd.read_excel(vida_estimada)
116
117     data_est = data_est[data_est.param == par]
118
119     x = data_est.N_i_min.values
120     y = data_est.a_inic.values
121
122     fig = plt.figure(figsize=(5,3))
123
124     plt.plot(x,y,'ob')
125     plt.xscale('log')
126     plt.ylim([0,1])
127     plt.xlim([1e2,1e5])
128     plt.xlabel('Vida estimada')

```

```

127 plt.ylabel('a_inic(mm)')
128 plt.grid(which = 'major', color = 'k', linestyle='-', linewidth=0.4)
129 plt.grid(which = 'minor', color = 'gray', linestyle=':', linewidth
    =0.2)
130
131 return fig
132
133
134 def grafica_per_vida(par, vida_estimada):
135     """Función que representa la vida estimada en una gráfica el
136     porcentaje
137     de vida que se lleva la iniciación.
138     INPUTS:
139     -par: criterio FS o SWT
140     -vida estimada: datos con los resultados de cálculos de vida a
141     fatiga
142
143     OUTPUTS:
144     -fig: Figura
145
146     """
147     try:
148         data_est =pd.read_table(vida_estimada,sep=r"\s+",skiprows =1,
149             names=["exp_id", "param","N_t_min","N_i_min", "N_p_min", "
150                 N_i_perc","N_p_perc","a_inic" ])
151     except:
152         data_est = pd.read_excel(vida_estimada)
153     data_est = data_est[data_est.param == par]
154
155     x = data_est.N_i_min.values
156     y = data_est["N_i_perc"].values
157     y =np.array([float(i[:-1]) for i in y])
158
159     fig = plt.figure(figsize=(5,3))
160
161     plt.plot(x,y,'ob')
162     plt.xscale('log')
163     plt.ylim([0,100])
164     plt.xlim([1e2,1e5])
165     plt.xlabel('Vida estimada')
166     plt.ylabel('Porcentaje de iniciación %')
167     plt.grid(which = 'major', color = 'k', linestyle='-', linewidth=0.4)
168     plt.grid(which = 'minor', color = 'gray', linestyle=':', linewidth
169         =0.2)
170
171     return fig

```


Apéndice B

Manual de instalación del programa

En este anexo se describen los pasos para poder instalar el programa. En primer lugar es necesario comentar que este software sólo se ha desarrollado en un sistema operativo Microsoft Windows®, por lo que puede que en otros sistemas operativos no funcione o lo haga de forma defectuosa. A continuación se describen los pasos a seguir para instalar correctamente el software de predicción de fatiga multiaxial.

1. Descomprimir el archivo *.rar* donde se encuentran los archivos de ejecución del programa en una carpeta específica.
2. Comprobar que Python 3.7 ó 3.8 está instalado en el ordenador. Si no lo está, es necesario dirigirse a la página www.python.org y descargar e instalar cualquiera de estas versiones
3. Tener instalados los módulos necesarios. Al instalar Python, normalmente se instalan los módulos **Numpy**, **Matplotlib**, **re** y **os**. Por otra parte, los módulos que no se encuentran instalados por defecto son **Sklearn**, **Scipy**, **Pandas** y **Openpyxl**
4. En caso de que no estén instalados, es necesario instalar aquellos que falten. Para ello hay que dirigirse a la ventana de comandos de Windows (CMD). A continuación se describe el proceso para instalar cada módulo.
 - a) Para instalar **Numpy**. Escribir en el CMD: `pip install numpy`
 - b) Para instalar **Matplotlib**. Escribir en el CMD: `pip install matplotlib`
 - c) Para instalar **re**. Escribir en el CMD: `pip install re`
 - d) Para instalar **os**. Escribir en el CMD: `pip install os`
 - e) Para instalar **Sklearn**. Escribir en el CMD: `pip install sklearn`
 - f) Para instalar **Scipy**. Escribir en el CMD: `pip install scipy`
 - g) Para instalar **Pandas**. Escribir en el CMD: `pip install pandas`
 - h) Para instalar **Openpyxl**. Escribir en el CMD: `pip install openpyxl`

Una vez instalado todos los módulos necesarios se podrá ejecutar el programa. El script principal se denomina *GUI_principal.py* y haciendo doble click sobre este archivo automáticamente se abrirá.

Por favor, no elimine ningún archivo ni carpeta dentro de la carpeta donde descomprimió el archivo *.rar* o de lo contrario el programa no funcionará.

Bibliografía

- [1] *Numpy*, <https://numpy.org/>, 2021.
- [2] *Pandas*, <https://pandas.pydata.org/>, 2021.
- [3] *Regular expressions*, <https://docs.python.org/3/library/re.html>, 2021.
- [4] *Scikit-learn*, <https://scikit-learn.org/stable/index.html>, 2021.
- [5] *Scipy*, <https://www.scipy.org/>, 2021.
- [6] *Visualization with python*, <https://matplotlib.org/stable/index.html>, 2021.
- [7] Ali Fatemi and Darrell F. Socie, *A critical plane approach to multiaxial fatigue damage including out-of-phase loading*, *Fatigue Fracture of Engineering Materials and Structures* **11** (1988), no. 3, 149–165.
- [8] L. Grueter, W. Huget, and H. Kylla, *Weight functions and stress intensity magnification factors for elliptical and semi-elliptical cracks under variable normal stress - part i*, *Materialwissenschaft und Werkstofftechnik* **15** (1984), no. 1, 10–17.
- [9] G. R. Irwin, *Crack-extension force for a part-through crack in a plate*, *Journal of Applied Mechanics* **29** (1962).
- [10] Burkhard Meier, *Python gui programming cookbook: Develop functional and responsive user interfaces with tkinter and pyqt5*, 3 ed., Packt Publishing, 2019.
- [11] C Navarro, S Munoz, and J Dominguez, *On the use of multiaxial fatigue criteria for fretting fatigue life assessment*, *International Journal of Fatigue* **30** (2008), no. 1, 32–44.
- [12] C Navarro Pintado, *Iniciación y crecimiento de grietas en fatiga por fretting*, Ph.D. thesis, PhD thesis, Universidad de Sevilla, 2005.
- [13] Python, *Welcome to python.org*, <https://www.python.org/>, 2021.
- [14] Alejandro Quirós Rodríguez, *Implementación de un modelo de predicción de vida a fatiga en código libre*, Universidad de Sevilla (2019).
- [15] Kaveh Samadian and Wim De Waele, *Fatigue crack growth model incorporating surface waviness for wire+ arc additively manufactured components*, *Procedia Structural Integrity* **28** (2020), 1846–1855.
- [16] G. C. Sih, *Methods of analysis and solutions of crack problems*, Noordhoff International, 1973.

- [17] K. N. Smith, *A stress-strain function for the fatigue of metals*, *Journal of materials* **5** (1970), 767–778.